Ein und Ausgabe: Farbmetrisches Drucker-Reflektiv-System FRS09_92, L*=09_92 für relativen CIELAB-Buntton $h^* = lab^*h^* = h_{lab}/360 = 0.451$ $u^*_\epsilon = g00b$

Daten für jede Farbe:
*lab*ich** und *lab*icu**
Buntontexte:
$u^*_\epsilon = g00b$ $u^*_d = f23c$
Kontrastreduzierungsfaktor:
$c_R = 1.0$
Dreiecks-Helligkeit t^*

Daten für Maximalfarbe (Ma):
$LAB^*LAB^*_{Ma}$: 48 −49 16
$LAB^*LCH^*_{Ma}$: 48 52 162
$lab^*rgb^*_{Ma}$: 0.0 1.0 0.0
$lab^*olv^*_{Ma}$: 0.0 1.0 0.23
Dreiecks-Helligkeit t^*

%Umfang $u^*_{\epsilon\,Ma} = 109$
%Regularität $g^*_{H,rel} = 31$
$g^*_{C,rel} = 40$

FRS09_92a; adaptierte CIELAB-Daten

	L^*_{ch}	L^*_{cu}	a^*_{cu}	b^*_{cu}	$C^*_{ab,u}$	$h^*_{ab,u}$	$u^*_{d,u}$
O_{Ma}	35.06	60.0	44.0	74.4	36		
Y_{Ma}	83.77	−5.17	109.32	109.44	93		
L_{Ma}	44.13	−62.67	48.24	79.09	142		
C_{Ma}	52.66	−29.14	−31.99	43.27	228		
V_{Ma}	14.15	50.3	−59.04	77.57	310		
M_{Ma}	37.37	78.64	−33.5	85.48	337		
N_{Ma}	8.58	0.0	0.0	0.0	0		
W_{Ma}	92.02	0.0	0.0	0.0	0		
R_{Ma}	39.92	58.74	27.99	65.07	25		
I_{Ma}	81.26	−2.89	71.56	71.62	92		
G_{Ma}	52.23	−42.42	13.6	44.55	162		
B_{Ma}	30.57	1.41	−46.47	46.49	272		

	L^*_{ch}	L^*_{cu}	a^*_{cu}	b^*_{cu}	$C^*_{ab,u}$	$h^*_{ab,u}$	$u^*_{d,u}$
r00	35.47	63.32	30.17	70.15	25		m81c
r25j	39.12	54.56	49.45	73.64	42		o10y
r50j	50.64	39.15	64.89	75.79	59		o40y
r75j	64.01	21.26	82.83	85.52	76		o60y
y00g	83.18	−4.38	108.53	108.62	92		o98y
y25g	66.73	−29.89	83.06	88.28	110		y34f
y50g	54.03	−48.31	63.49	79.78	127		y69f
y75g	44.73	−60.33	42.64	73.88	145		l03c
g00b	47.59	−49.08	15.74	51.54	162		l23c
g25b	49.97	−39.7	−6.72	40.27	190		l55c
g50b	51.85	−32.33	−24.35	40.48	217		l87c
g75b	46.92	−17.29	−36.02	39.96	244		c20v
b00r	37.91	1.28	−42.35	42.37	272		c53v
b25r	23.81	30.38	−52.26	60.45	300		c87v
b50r	29.52	69.06	−42.14	80.9	329		v68m
b75r	36.48	71.47	−3.69	71.57	357		m34o

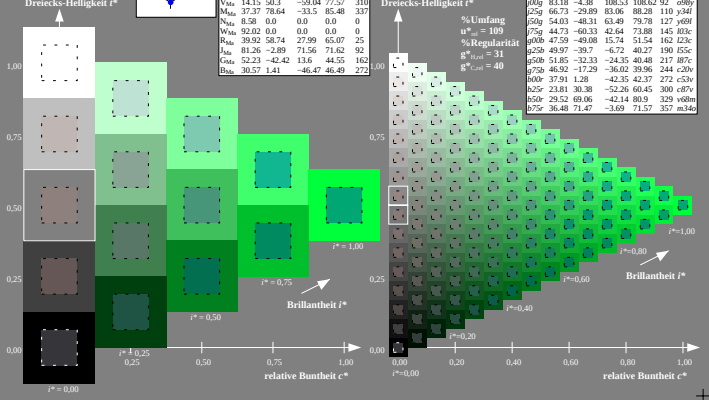

Ein und Ausgabe: Farbmetrisches Drucker-Reflektiv-System FRS09_92, L*=09_92 für relativen CIELAB-Buntton $h^* = lab^*h^* = h_{lab}/360 = 0.527$ $u^*_\epsilon = g25b$

Daten für jede Farbe:
*lab*ich** und *lab*icu**
Buntontexte:
$u^*_\epsilon = g25b$ $u^*_d = f55c$
Kontrastreduzierungsfaktor:
$c_R = 1.0$
Dreiecks-Helligkeit t^*

Daten für Maximalfarbe (Ma):
$LAB^*LAB^*_{Ma}$: 50 −40 −7
$LAB^*LCH^*_{Ma}$: 50 40 189
$lab^*rgb^*_{Ma}$: 0.0 1.0 0.5
$lab^*olv^*_{Ma}$: 0.0 1.0 0.55
Dreiecks-Helligkeit t^*

%Umfang $u^*_{\epsilon\,Ma} = 109$
%Regularität $g^*_{H,rel} = 31$
$g^*_{C,rel} = 40$

FRS09_92a; adaptierte CIELAB-Daten

	L^*_{ch}	L^*_{cu}	a^*_{cu}	b^*_{cu}	$C^*_{ab,u}$	$h^*_{ab,u}$	$u^*_{d,u}$
O_{Ma}	35.06	60.0	44.0	74.4	36		
Y_{Ma}	83.77	−5.17	109.32	109.44	93		
L_{Ma}	44.13	−62.67	48.24	79.09	142		
C_{Ma}	52.66	−29.14	−31.99	43.27	228		
V_{Ma}	14.15	50.3	−59.04	77.57	310		
M_{Ma}	37.37	78.64	−33.5	85.48	337		
N_{Ma}	8.58	0.0	0.0	0.0	0		
W_{Ma}	92.02	0.0	0.0	0.0	0		
R_{Ma}	39.92	58.74	27.99	65.07	25		
I_{Ma}	81.26	−2.89	71.56	71.62	92		
G_{Ma}	52.23	−42.42	13.6	44.55	162		
B_{Ma}	30.57	1.41	−46.47	46.49	272		

	L^*_{ch}	L^*_{cu}	a^*_{cu}	b^*_{cu}	$C^*_{ab,u}$	$h^*_{ab,u}$	$u^*_{d,u}$
r00	35.47	63.32	30.17	70.15	25		m81c
r25j	39.12	54.56	49.45	73.64	42		o10y
r50j	50.64	39.15	64.89	75.79	59		o40y
r75j	64.01	21.26	82.83	85.52	76		o60y
y00g	83.18	−4.38	108.53	108.62	92		o98y
y25g	66.73	−29.89	83.06	88.28	110		y34f
y50g	54.03	−48.31	63.49	79.78	127		y69f
y75g	44.73	−60.33	42.64	73.88	145		l03c
g00b	47.59	−49.08	15.74	51.54	162		l23c
g25b	49.97	−39.7	−6.72	40.27	190		l55c
g50b	51.85	−32.33	−24.35	40.48	217		l87c
g75b	46.92	−17.29	−36.02	39.96	244		c20v
b00r	37.91	1.28	−42.35	42.37	272		c53v
b25r	23.81	30.38	−52.26	60.45	300		c87v
b50r	29.52	69.06	−42.14	80.9	329		v68m
b75r	36.48	71.47	−3.69	71.57	357		m34o

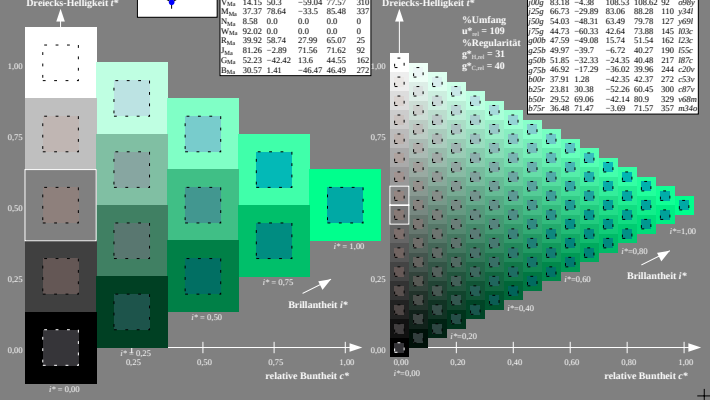

Ein und Ausgabe: Farbmetrisches Drucker-Reflektiv-System FRS09_92, L*=09_92 für relativen CIELAB-Buntton $h^* = lab^*h^* = h_{lab}/360 = 0.603$ $u^*_\epsilon = g50b$

Daten für jede Farbe:
*lab*ich** und *lab*icu**
Buntontexte:
$u^*_\epsilon = g50b$ $u^*_d = l87c$
Kontrastreduzierungsfaktor:
$c_R = 1.0$
Dreiecks-Helligkeit t^*

Daten für Maximalfarbe (Ma):
$LAB^*LAB^*_{Ma}$: 52 −32 −24
$LAB^*LCH^*_{Ma}$: 52 40 216
$lab^*rgb^*_{Ma}$: 0.0 1.0 1.0
$lab^*olv^*_{Ma}$: 0.0 1.0 0.87
Dreiecks-Helligkeit t^*

%Umfang $u^*_{\epsilon\,Ma} = 109$
%Regularität $g^*_{H,rel} = 31$
$g^*_{C,rel} = 40$

FRS09_92a; adaptierte CIELAB-Daten

	L^*_{ch}	L^*_{cu}	a^*_{cu}	b^*_{cu}	$C^*_{ab,u}$	$h^*_{ab,u}$	$u^*_{d,u}$
O_{Ma}	35.06	60.0	44.0	74.4	36		
Y_{Ma}	83.77	−5.17	109.32	109.44	93		
L_{Ma}	44.13	−62.67	48.24	79.09	142		
C_{Ma}	52.66	−29.14	−31.99	43.27	228		
V_{Ma}	14.15	50.3	−59.04	77.57	310		
M_{Ma}	37.37	78.64	−33.5	85.48	337		
N_{Ma}	8.58	0.0	0.0	0.0	0		
W_{Ma}	92.02	0.0	0.0	0.0	0		
R_{Ma}	39.92	58.74	27.99	65.07	25		
I_{Ma}	81.26	−2.89	71.56	71.62	92		
G_{Ma}	52.23	−42.42	13.6	44.55	162		
B_{Ma}	30.57	1.41	−46.47	46.49	272		

	L^*_{ch}	L^*_{cu}	a^*_{cu}	b^*_{cu}	$C^*_{ab,u}$	$h^*_{ab,u}$	$u^*_{d,u}$
r00	35.47	63.32	30.17	70.15	25		m81c
r25j	39.12	54.56	49.45	73.64	42		o10y
r50j	50.64	39.15	64.89	75.79	59		o40y
r75j	64.01	21.26	82.83	85.52	76		o60y
y00g	83.18	−4.38	108.53	108.62	92		o98y
y25g	66.73	−29.89	83.06	88.28	110		y34f
y50g	54.03	−48.31	63.49	79.78	127		y69f
y75g	44.73	−60.33	42.64	73.88	145		l03c
g00b	47.59	−49.08	15.74	51.54	162		l23c
g25b	49.97	−39.7	−6.72	40.27	190		l55c
g50b	51.85	−32.33	−24.35	40.48	217		l87c
g75b	46.92	−17.29	−36.02	39.96	244		c20v
b00r	37.91	1.28	−42.35	42.37	272		c53v
b25r	23.81	30.38	−52.26	60.45	300		c87v
b50r	29.52	69.06	−42.14	80.9	329		v68m
b75r	36.48	71.47	−3.69	71.57	357		m34o

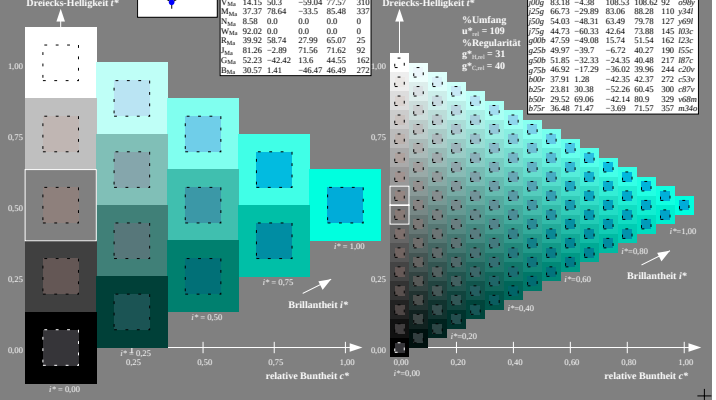

Ein und Ausgabe: Farbmetrisches Drucker-Reflektiv-System FRS09_92, L*=09_92 für relativen CIELAB-Buntton $h^* = lab^*h^* = h_{lab}/360 = 0.679$ $u^*_\epsilon = g75b$

Daten für jede Farbe:
*lab*ich** und *lab*icu**
Buntontexte:
$u^*_\epsilon = g75b$ $u^*_d = c20v$
Kontrastreduzierungsfaktor:
$c_R = 1.0$
Dreiecks-Helligkeit t^*

Daten für Maximalfarbe (Ma):
$LAB^*LAB^*_{Ma}$: 47 −17 −36
$LAB^*LCH^*_{Ma}$: 47 40 244
$lab^*rgb^*_{Ma}$: 0.0 0.5 1.0
$lab^*olv^*_{Ma}$: 0.0 0.8 1.0
Dreiecks-Helligkeit t^*

%Umfang $u^*_{\epsilon\,Ma} = 109$
%Regularität $g^*_{H,rel} = 31$
$g^*_{C,rel} = 40$

FRS09_92a; adaptierte CIELAB-Daten

	L^*_{ch}	L^*_{cu}	a^*_{cu}	b^*_{cu}	$C^*_{ab,u}$	$h^*_{ab,u}$	$u^*_{d,u}$
O_{Ma}	35.06	60.0	44.0	74.4	36		
Y_{Ma}	83.77	−5.17	109.32	109.44	93		
L_{Ma}	44.13	−62.67	48.24	79.09	142		
C_{Ma}	52.66	−29.14	−31.99	43.27	228		
V_{Ma}	14.15	50.3	−59.04	77.57	310		
M_{Ma}	37.37	78.64	−33.5	85.48	337		
N_{Ma}	8.58	0.0	0.0	0.0	0		
W_{Ma}	92.02	0.0	0.0	0.0	0		
R_{Ma}	39.92	58.74	27.99	65.07	25		
I_{Ma}	81.26	−2.89	71.56	71.62	92		
G_{Ma}	52.23	−42.42	13.6	44.55	162		
B_{Ma}	30.57	1.41	−46.47	46.49	272		

	L^*_{ch}	L^*_{cu}	a^*_{cu}	b^*_{cu}	$C^*_{ab,u}$	$h^*_{ab,u}$	$u^*_{d,u}$
r00	35.47	63.32	30.17	70.15	25		m81c
r25j	39.12	54.56	49.45	73.64	42		o10y
r50j	50.64	39.15	64.89	75.79	59		o40y
r75j	64.01	21.26	82.83	85.52	76		o60y
y00g	83.18	−4.38	108.53	108.62	92		o98y
y25g	66.73	−29.89	83.06	88.28	110		y34f
y50g	54.03	−48.31	63.49	79.78	127		y69f
y75g	44.73	−60.33	42.64	73.88	145		l03c
g00b	47.59	−49.08	15.74	51.54	162		l23c
g25b	49.97	−39.7	−6.72	40.27	190		l55c
g50b	51.85	−32.33	−24.35	40.48	217		l87c
g75b	46.92	−17.29	−36.02	39.96	244		c20v
b00r	37.91	1.28	−42.35	42.37	272		c53v
b25r	23.81	30.38	−52.26	60.45	300		c87v
b50r	29.52	69.06	−42.14	80.9	329		v68m
b75r	36.48	71.47	−3.69	71.57	357		m34o

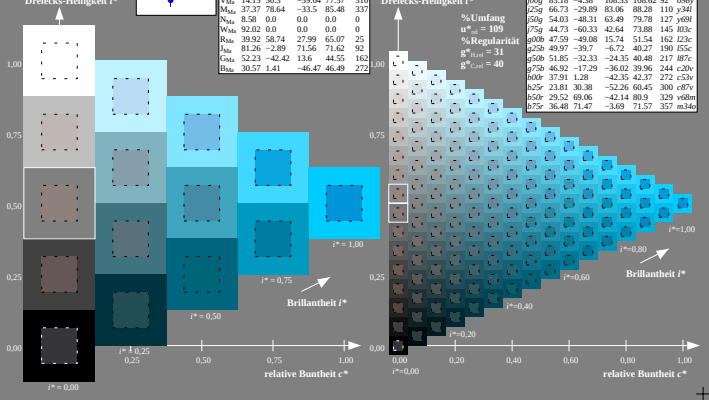

Ein und Ausgabe: Farbmetrisches Drucker-Reflektiv-System FRS09_92, L*=09_92 für relativen CIELAB-Buntton $h^* = lab^*h^* = h_{lab}/360 = 0.755$ $u^*_\epsilon = b00r$

Daten für jede Farbe:
*lab*ich** und *lab*icu**
Buntontexte:
$u^*_\epsilon = b00r$ $u^*_d = c53v$
Kontrastreduzierungsfaktor:
$c_R = 1.0$
Dreiecks-Helligkeit t^*

Daten für Maximalfarbe (Ma):
$LAB^*LAB^*_{Ma}$: 38 1 −42
$LAB^*LCH^*_{Ma}$: 38 42 271
$lab^*rgb^*_{Ma}$: 0.0 0.0 1.0
$lab^*olv^*_{Ma}$: 0.0 0.47 1.0
Dreiecks-Helligkeit t^*

%Umfang $u^*_{\epsilon\,Ma} = 109$
%Regularität $g^*_{H,rel} = 31$
$g^*_{C,rel} = 40$

FRS09_92a; adaptierte CIELAB-Daten

	L^*_{ch}	L^*_{cu}	a^*_{cu}	b^*_{cu}	$C^*_{ab,u}$	$h^*_{ab,u}$	$u^*_{d,u}$
O_{Ma}	35.06	60.0	44.0	74.4	36		
Y_{Ma}	83.77	−5.17	109.32	109.44	93		
L_{Ma}	44.13	−62.67	48.24	79.09	142		
C_{Ma}	52.66	−29.14	−31.99	43.27	228		
V_{Ma}	14.15	50.3	−59.04	77.57	310		
M_{Ma}	37.37	78.64	−33.5	85.48	337		
N_{Ma}	8.58	0.0	0.0	0.0	0		
W_{Ma}	92.02	0.0	0.0	0.0	0		
R_{Ma}	39.92	58.74	27.99	65.07	25		
I_{Ma}	81.26	−2.89	71.56	71.62	92		
G_{Ma}	52.23	−42.42	13.6	44.55	162		
B_{Ma}	30.57	1.41	−46.47	46.49	272		

	L^*_{ch}	L^*_{cu}	a^*_{cu}	b^*_{cu}	$C^*_{ab,u}$	$h^*_{ab,u}$	$u^*_{d,u}$
r00	35.47	63.32	30.17	70.15	25		m81c
r25j	39.12	54.56	49.45	73.64	42		o10y
r50j	50.64	39.15	64.89	75.79	59		o40y
r75j	64.01	21.26	82.83	85.52	76		o60y
y00g	83.18	−4.38	108.53	108.62	92		o98y
y25g	66.73	−29.89	83.06	88.28	110		y34f
y50g	54.03	−48.31	63.49	79.78	127		y69f
y75g	44.73	−60.33	42.64	73.88	145		l03c
g00b	47.59	−49.08	15.74	51.54	162		l23c
g25b	49.97	−39.7	−6.72	40.27	190		l55c
g50b	51.85	−32.33	−24.35	40.48	217		l87c
g75b	46.92	−17.29	−36.02	39.96	244		c20v
b00r	37.91	1.28	−42.35	42.37	272		c53v
b25r	23.81	30.38	−52.26	60.45	300		c87v
b50r	29.52	69.06	−42.14	80.9	329		v68m
b75r	36.48	71.47	−3.69	71.57	357		m34o

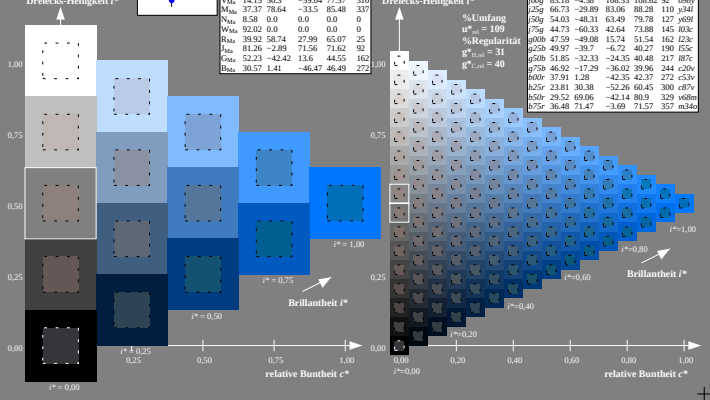

Ein und Ausgabe: Farbmetrisches Drucker-Reflektiv-System FRS09_92, L*=09_92 für relativen CIELAB-Buntton $h^* = lab^*h^* = h_{lab}/360 = 0.834$ $u^*_\epsilon = b25r$

Daten für jede Farbe:
*lab*ich** und *lab*icu**
Buntontexte:
$u^*_\epsilon = b25r$ $u^*_d = c87v$
Kontrastreduzierungsfaktor:
$c_R = 1.0$
Dreiecks-Helligkeit t^*

Daten für Maximalfarbe (Ma):
$LAB^*LAB^*_{Ma}$: 24 30 −52
$LAB^*LCH^*_{Ma}$: 24 60 300
$lab^*rgb^*_{Ma}$: 0.5 0.0 1.0
$lab^*olv^*_{Ma}$: 0.0 0.12 1.0
Dreiecks-Helligkeit t^*

%Umfang $u^*_{\epsilon\,Ma} = 109$
%Regularität $g^*_{H,rel} = 31$
$g^*_{C,rel} = 40$

FRS09_92a; adaptierte CIELAB-Daten

	L^*_{ch}	L^*_{cu}	a^*_{cu}	b^*_{cu}	$C^*_{ab,u}$	$h^*_{ab,u}$	$u^*_{d,u}$
O_{Ma}	35.06	60.0	44.0	74.4	36		
Y_{Ma}	83.77	−5.17	109.32	109.44	93		
L_{Ma}	44.13	−62.67	48.24	79.09	142		
C_{Ma}	52.66	−29.14	−31.99	43.27	228		
V_{Ma}	14.15	50.3	−59.04	77.57	310		
M_{Ma}	37.37	78.64	−33.5	85.48	337		
N_{Ma}	8.58	0.0	0.0	0.0	0		
W_{Ma}	92.02	0.0	0.0	0.0	0		
R_{Ma}	39.92	58.74	27.99	65.07	25		
I_{Ma}	81.26	−2.89	71.56	71.62	92		
G_{Ma}	52.23	−42.42	13.6	44.55	162		
B_{Ma}	30.57	1.41	−46.47	46.49	272		

	L^*_{ch}	L^*_{cu}	a^*_{cu}	b^*_{cu}	$C^*_{ab,u}$	$h^*_{ab,u}$	$u^*_{d,u}$
r00	35.47	63.32	30.17	70.15	25		m81c
r25j	39.12	54.56	49.45	73.64	42		o10y
r50j	50.64	39.15	64.89	75.79	59		o40y
r75j	64.01	21.26	82.83	85.52	76		o60y
y00g	83.18	−4.38	108.53	108.62	92		o98y
y25g	66.73	−29.89	83.06	88.28	110		y34f
y50g	54.03	−48.31	63.49	79.78	127		y69f
y75g	44.73	−60.33	42.64	73.88	145		l03c
g00b	47.59	−49.08	15.74	51.54	162		l23c
g25b	49.97	−39.7	−6.72	40.27	190		l55c
g50b	51.85	−32.33	−24.35	40.48	217		l87c
g75b	46.92	−17.29	−36.02	39.96	244		c20v
b00r	37.91	1.28	−42.35	42.37	272		c53v
b25r	23.81	30.38	−52.26	60.45	300		c87v
b50r	29.52	69.06	−42.14	80.9	329		v68m
b75r	36.48	71.47	−3.69	71.57	357		m34o

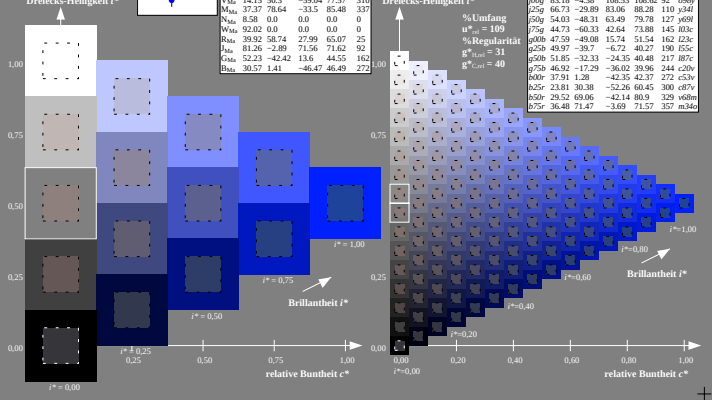

Ein und Ausgabe: Farbmetrisches Drucker-Reflektiv-System FRS09_92, L*=09_92 für relativen CIELAB-Buntton $h^* = lab^*h^* = h_{lab}/360 = 0.913$ $u^*_\epsilon = b50r$

Daten für jede Farbe:
*lab*ich** und *lab*icu**
Buntontexte:
$u^*_\epsilon = b50r$ $u^*_d = v68m$
Kontrastreduzierungsfaktor:
$c_R = 1.0$
Dreiecks-Helligkeit t^*

Daten für Maximalfarbe (Ma):
$LAB^*LAB^*_{Ma}$: 30 69 −42
$LAB^*LCH^*_{Ma}$: 30 81 328
$lab^*rgb^*_{Ma}$: 1.0 0.0 1.0
$lab^*olv^*_{Ma}$: 0.69 0.0 1.0
Dreiecks-Helligkeit t^*

%Umfang $u^*_{\epsilon\,Ma} = 109$
%Regularität $g^*_{H,rel} = 31$
$g^*_{C,rel} = 40$

FRS09_92a; adaptierte CIELAB-Daten

	L^*_{ch}	L^*_{cu}	a^*_{cu}	b^*_{cu}	$C^*_{ab,u}$	$h^*_{ab,u}$	$u^*_{d,u}$
O_{Ma}	35.06	60.0	44.0	74.4	36		
Y_{Ma}	83.77	−5.17	109.32	109.44	93		
L_{Ma}	44.13	−62.67	48.24	79.09	142		
C_{Ma}	52.66	−29.14	−31.99	43.27	228		
V_{Ma}	14.15	50.3	−59.04	77.57	310		
M_{Ma}	37.37	78.64	−33.5	85.48	337		
N_{Ma}	8.58	0.0	0.0	0.0	0		
W_{Ma}	92.02	0.0	0.0	0.0	0		
R_{Ma}	39.92	58.74	27.99	65.07	25		
I_{Ma}	81.26	−2.89	71.56	71.62	92		
G_{Ma}	52.23	−42.42	13.6	44.55	162		
B_{Ma}	30.57	1.41	−46.47	46.49	272		

	L^*_{ch}	L^*_{cu}	a^*_{cu}	b^*_{cu}	$C^*_{ab,u}$	$h^*_{ab,u}$	$u^*_{d,u}$
r00	35.47	63.32	30.17	70.15	25		m81c
r25j	39.12	54.56	49.45	73.64	42		o10y
r50j	50.64	39.15	64.89	75.79	59		o40y
r75j	64.01	21.26	82.83	85.52	76		o60y
y00g	83.18	−4.38	108.53	108.62	92		o98y
y25g	66.73	−29.89	83.06	88.28	110		y34f
y50g	54.03	−48.31	63.49	79.78	127		y69f
y75g	44.73	−60.33	42.64	73.88	145		l03c
g00b	47.59	−49.08	15.74	51.54	162		l23c
g25b	49.97	−39.7	−6.72	40.27	190		l55c
g50b	51.85	−32.33	−24.35	40.48	217		l87c
g75b	46.92	−17.29	−36.02	39.96	244		c20v
b00r	37.91	1.28	−42.35	42.37	272		c53v
b25r	23.81	30.38	−52.26	60.45	300		c87v
b50r	29.52	69.06	−42.14	80.9	329		v68m
b75r	36.48	71.47	−3.69	71.57	357		m34o

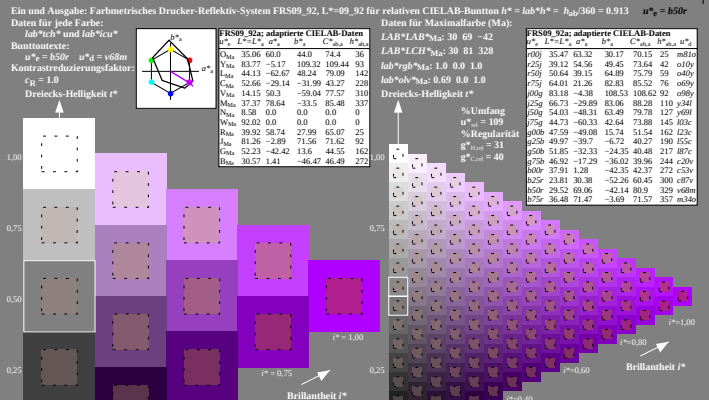

Ein und Ausgabe: Farbmetrisches Drucker-Reflektiv-System FRS09_92, L*=09_92 für relativen CIELAB-Buntton $h^* = lab^*h^* = h_{lab}/360 = 0.992$ $u^*_\epsilon = b75r$

Daten für jede Farbe:
*lab*ich** und *lab*icu**
Buntontexte:
$u^*_\epsilon = b75r$ $u^*_d = m34o$
Kontrastreduzierungsfaktor:
$c_R = 1.0$
Dreiecks-Helligkeit t^*

Daten für Maximalfarbe (Ma):
$LAB^*LAB^*_{Ma}$: 36 71 −4
$LAB^*LCH^*_{Ma}$: 36 72 357
$lab^*rgb^*_{Ma}$: 1.0 0.0 0.5
$lab^*olv^*_{Ma}$: 1.0 0.0 0.66
Dreiecks-Helligkeit t^*

%Umfang $u^*_{\epsilon\,Ma} = 109$
%Regularität $g^*_{H,rel} = 31$
$g^*_{C,rel} = 40$

FRS09_92a; adaptierte CIELAB-Daten

	L^*_{ch}	L^*_{cu}	a^*_{cu}	b^*_{cu}	$C^*_{ab,u}$	$h^*_{ab,u}$	$u^*_{d,u}$
O_{Ma}	35.06	60.0	44.0	74.4	36		
Y_{Ma}	83.77	−5.17	109.32	109.44	93		
L_{Ma}	44.13	−62.67	48.24	79.09	142		
C_{Ma}	52.66	−29.14	−31.99	43.27	228		
V_{Ma}	14.15	50.3	−59.04	77.57	310		
M_{Ma}	37.37	78.64	−33.5	85.48	337		
N_{Ma}	8.58	0.0	0.0	0.0	0		
W_{Ma}	92.02	0.0	0.0	0.0	0		
R_{Ma}	39.92	58.74	27.99	65.07	25		
I_{Ma}	81.26	−2.89	71.56	71.62	92		
G_{Ma}	52.23	−42.42	13.6	44.55	162		
B_{Ma}	30.57	1.41	−46.47	46.49	272		

	L^*_{ch}	L^*_{cu}	a^*_{cu}	b^*_{cu}	$C^*_{ab,u}$	$h^*_{ab,u}$	$u^*_{d,u}$
r00	35.47	63.32	30.17	70.15	25		m81c
r25j	39.12	54.56	49.45	73.64	42		o10y
r50j	50.64	39.15	64.89	75.79	59		o40y
r75j	64.01	21.26	82.83	85.52	76		o60y
y00g	83.18	−4.38	108.53	108.62	92		o98y
y25g	66.73	−29.89	83.06	88.28	110		y34f
y50g	54.03	−48.31	63.49	79.78	127		y69f
y75g	44.73	−60.33	42.64	73.88	145		l03c
g00b	47.59	−49.08	15.74	51.54	162		l23c
g25b	49.97	−39.7	−6.72	40.27	190		l55c
g50b	51.85	−32.33	−24.35	40.48	217		l87c
g75b	46.92	−17.29	−36.02	39.96	244		c20v
b00r	37.91	1.28	−42.35	42.37	272		c53v
b25r	23.81	30.38	−52.26	60.45	300		c87v
b50r	29.52	69.06	−42.14	80.9	329		v68m
b75r	36.48	71.47	−3.69	71.57	357		m34o

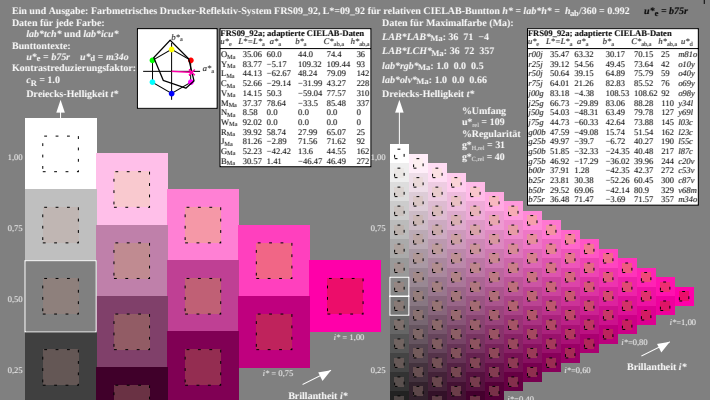

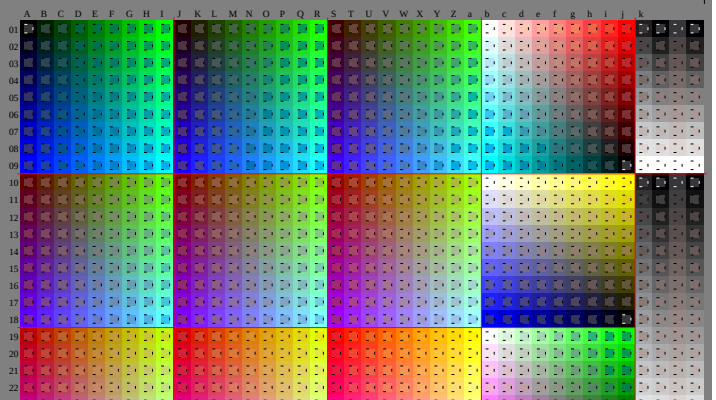

Ein und Ausgabe: Farbmetrisches Drucker-Reflektiv-System FRS09_92, L*=09_92 für relativen CIELAB-Buntton $h^* = lab^*h^* = h_{ab}/360 = 0.396$ $u^*_d = g00b$

Daten für jede Farbe:
*lab*ich** und *lab*icu**
Bunttontexte:
$u^*_d = l00c$ $u^*_e = j71g$
Kontrastreduzierungsfaktor:
$c_R = 1.0$
Dreiecks-Helligkeit t^*

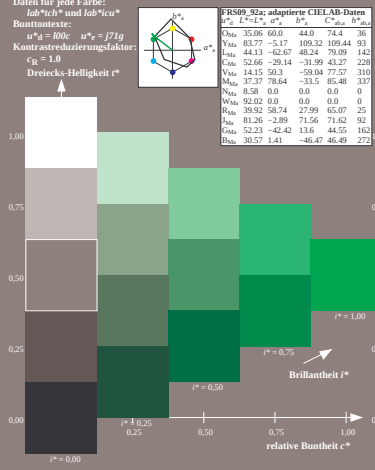

FRS09_92a; adaptierte CIELAB-Daten

	L^*_{CIE}	a^*_e	b^*_e	$C^*_{ab,e}$	$h^*_{ab,e}$
O_{Mu}	35.06	60.0	44.0	74.4	36
Y_{Mu}	83.77	−5.17	109.32	109.44	93
L_{Mu}	44.13	−62.67	48.24	79.09	142
C_{Mu}	52.66	−29.14	−31.99	43.27	228
V_{Mu}	14.15	50.3	−59.04	77.57	310
M_{Mu}	37.37	78.64	−33.5	85.48	337
N_{Mu}	8.58	0.0	0.0	0.0	0
W_{Mu}	92.02	0.0	0.0	0.0	0
R_{Mu}	39.92	58.74	27.99	65.07	25
I_{Mu}	81.26	−2.89	71.56	71.62	92
G_{Mu}	52.23	−42.42	13.6	44.55	162
B_{Mu}	30.57	1.41	−46.47	46.49	272

Daten für Maximalfarbe (Ma):
$LAB^*LAB^*_{Ma}$: 44 −63 48
$LAB^*LCH^*_{Ma}$: 44 79 142
$lab^*olv^*_{Ma}$: 0.0 1.0 0.0
$lab^*rgb^*_{Ma}$: 0.28 1.0 0.0
Dreiecks-Helligkeit t^*

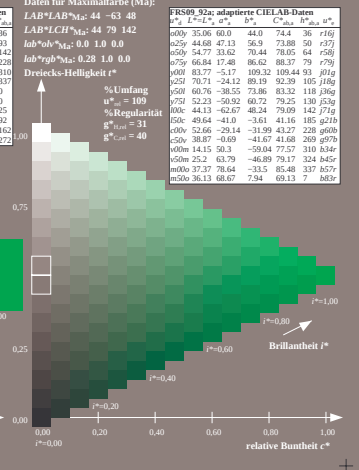

FRS09_92a; adaptierte CIELAB-Daten

	L^*_{CIE}	a^*_e	b^*_e	$C^*_{ab,e}$	$h^*_{ab,e}$	u^*_e
e00y	35.06	60.0	44.0	74.4	36	r16j
e25y	44.68	47.13	56.9	73.88	50	r37j
e50y	54.77	33.62	70.44	78.05	64	r58j
e75y	66.84	17.48	86.62	88.37	79	r79j
y00f	83.77	−5.17	109.32	109.44	93	j01g
y25f	70.71	−24.12	89.19	92.39	105	j18g
y50f	60.76	−38.55	73.86	83.32	118	j36g
y75f	52.23	−50.92	60.72	79.25	130	f53g
f00c	44.13	−62.67	48.24	79.09	142	f71g
f50c	49.64	−41.0	−3.61	41.16	185	g21h
c00v	52.66	−29.14	−31.99	43.27	228	g60h
c50v	38.87	−0.69	−41.67	41.68	269	g97h
v00m	14.15	50.3	−59.04	77.57	310	h34v
v50m	25.2	63.79	−46.89	79.17	324	h45v
m00o	37.37	78.64	−33.5	85.48	337	b57v
m50o	36.13	68.67	7.94	69.13	7	b83v

Ein und Ausgabe: Farbmetrisches Drucker-Reflektiv-System FRS09_92, L*=09_92 für relativen CIELAB-Buntton $h^* = lab^*h^* = h_{ab}/360 = 0.514$ $u^*_d = g25b$

Daten für jede Farbe:
*lab*ich** und *lab*icu**
Bunttontexte:
$u^*_d = l50c$ $u^*_e = g21b$
Kontrastreduzierungsfaktor:
$c_R = 1.0$
Dreiecks-Helligkeit t^*

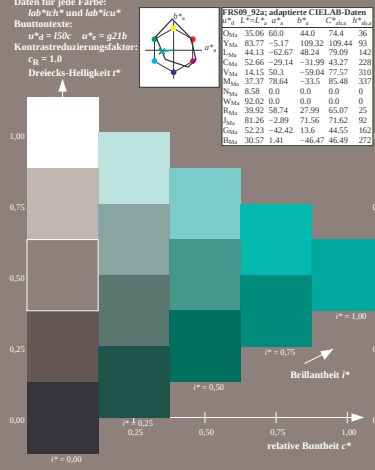

FRS09_92a; adaptierte CIELAB-Daten

	L^*_{CIE}	a^*_e	b^*_e	$C^*_{ab,e}$	$h^*_{ab,e}$
O_{Mu}	35.06	60.0	44.0	74.4	36
Y_{Mu}	83.77	−5.17	109.32	109.44	93
L_{Mu}	44.13	−62.67	48.24	79.09	142
C_{Mu}	52.66	−29.14	−31.99	43.27	228
V_{Mu}	14.15	50.3	−59.04	77.57	310
M_{Mu}	37.37	78.64	−33.5	85.48	337
N_{Mu}	8.58	0.0	0.0	0.0	0
W_{Mu}	92.02	0.0	0.0	0.0	0
R_{Mu}	39.92	58.74	27.99	65.07	25
I_{Mu}	81.26	−2.89	71.56	71.62	92
G_{Mu}	52.23	−42.42	13.6	44.55	162
B_{Mu}	30.57	1.41	−46.47	46.49	272

Daten für Maximalfarbe (Ma):
$LAB^*LAB^*_{Ma}$: 50 −41 −4
$LAB^*LCH^*_{Ma}$: 50 41 185
$lab^*olv^*_{Ma}$: 0.0 1.0 0.5
$lab^*rgb^*_{Ma}$: 0.0 1.0 0.42
Dreiecks-Helligkeit t^*

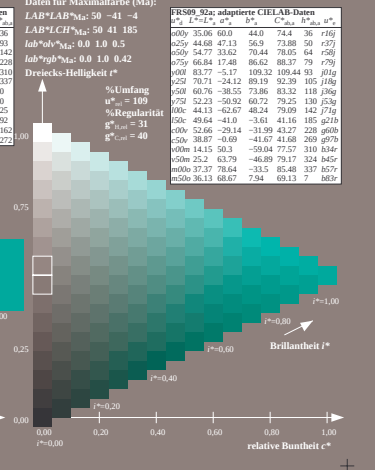

FRS09_92a; adaptierte CIELAB-Daten

	L^*_{CIE}	a^*_e	b^*_e	$C^*_{ab,e}$	$h^*_{ab,e}$	u^*_e
e00y	35.06	60.0	44.0	74.4	36	r16j
e25y	44.68	47.13	56.9	73.88	50	r37j
e50y	54.77	33.62	70.44	78.05	64	r58j
e75y	66.84	17.48	86.62	88.37	79	r79j
y00f	83.77	−5.17	109.32	109.44	93	j01g
y25f	70.71	−24.12	89.19	92.39	105	j18g
y50f	60.76	−38.55	73.86	83.32	118	j36g
y75f	52.23	−50.92	60.72	79.25	130	f53g
f00c	44.13	−62.67	48.24	79.09	142	f71g
f50c	49.64	−41.0	−3.61	41.16	185	g21h
c00v	52.66	−29.14	−31.99	43.27	228	g60h
c50v	38.87	−0.69	−41.67	41.68	269	g97h
v00m	14.15	50.3	−59.04	77.57	310	h34v
v50m	25.2	63.79	−46.89	79.17	324	h45v
m00o	37.37	78.64	−33.5	85.48	337	b57v
m50o	36.13	68.67	7.94	69.13	7	b83v

Ein und Ausgabe: Farbmetrisches Drucker-Reflektiv-System FRS09_92, L*=09_92 für relativen CIELAB-Buntton $h^* = lab^*h^* = h_{ab}/360 = 0.632$ $u^*_d = g50b$

Daten für jede Farbe:
*lab*ich** und *lab*icu**
Bunttontexte:
$u^*_d = c00v$ $u^*_e = g60b$
Kontrastreduzierungsfaktor:
$c_R = 1.0$
Dreiecks-Helligkeit t^*

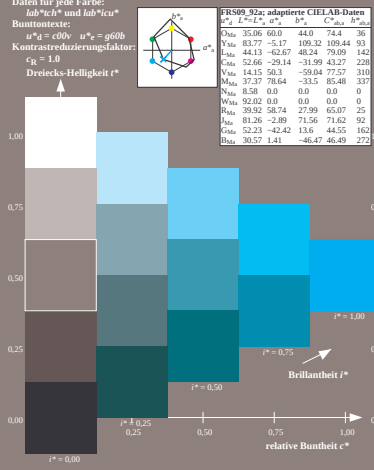

FRS09_92a; adaptierte CIELAB-Daten

	L^*_{CIE}	a^*_e	b^*_e	$C^*_{ab,e}$	$h^*_{ab,e}$
O_{Mu}	35.06	60.0	44.0	74.4	36
Y_{Mu}	83.77	−5.17	109.32	109.44	93
L_{Mu}	44.13	−62.67	48.24	79.09	142
C_{Mu}	52.66	−29.14	−31.99	43.27	228
V_{Mu}	14.15	50.3	−59.04	77.57	310
M_{Mu}	37.37	78.64	−33.5	85.48	337
N_{Mu}	8.58	0.0	0.0	0.0	0
W_{Mu}	92.02	0.0	0.0	0.0	0
R_{Mu}	39.92	58.74	27.99	65.07	25
I_{Mu}	81.26	−2.89	71.56	71.62	92
G_{Mu}	52.23	−42.42	13.6	44.55	162
B_{Mu}	30.57	1.41	−46.47	46.49	272

Daten für Maximalfarbe (Ma):
$LAB^*LAB^*_{Ma}$: 53 −29 −32
$LAB^*LCH^*_{Ma}$: 53 43 227
$lab^*olv^*_{Ma}$: 0.0 1.0 1.0
$lab^*rgb^*_{Ma}$: 0.0 0.8 1.0
Dreiecks-Helligkeit t^*

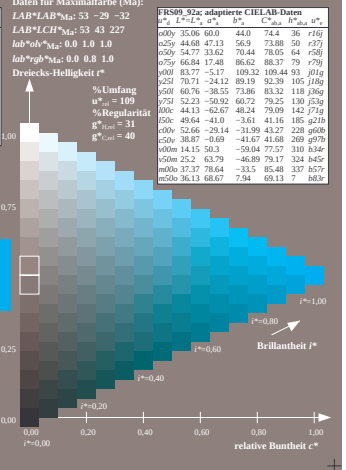

FRS09_92a; adaptierte CIELAB-Daten

	L^*_{CIE}	a^*_e	b^*_e	$C^*_{ab,e}$	$h^*_{ab,e}$	u^*_e
e00y	35.06	60.0	44.0	74.4	36	r16j
e25y	44.68	47.13	56.9	73.88	50	r37j
e50y	54.77	33.62	70.44	78.05	64	r58j
e75y	66.84	17.48	86.62	88.37	79	r79j
y00f	83.77	−5.17	109.32	109.44	93	j01g
y25f	70.71	−24.12	89.19	92.39	105	j18g
y50f	60.76	−38.55	73.86	83.32	118	j36g
y75f	52.23	−50.92	60.72	79.25	130	f53g
f00c	44.13	−62.67	48.24	79.09	142	f71g
f50c	49.64	−41.0	−3.61	41.16	185	g21h
c00v	52.66	−29.14	−31.99	43.27	228	g60h
c50v	38.87	−0.69	−41.67	41.68	269	g97h
v00m	14.15	50.3	−59.04	77.57	310	h34v
v50m	25.2	63.79	−46.89	79.17	324	h45v
m00o	37.37	78.64	−33.5	85.48	337	b57v
m50o	36.13	68.67	7.94	69.13	7	b83v

Ein und Ausgabe: Farbmetrisches Drucker-Reflektiv-System FRS09_92, L*=09_92 für relativen CIELAB-Buntton $h^* = lab^*h^* = h_{ab}/360 = 0.747$ $u^*_d = g75b$

Daten für jede Farbe:
*lab*ich** und *lab*icu**
Bunttontexte:
$u^*_d = c50v$ $u^*_e = g97b$
Kontrastreduzierungsfaktor:
$c_R = 1.0$
Dreiecks-Helligkeit t^*

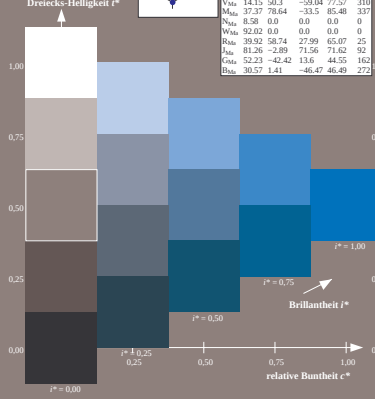

FRS09_92a; adaptierte CIELAB-Daten

	L^*_{CIE}	a^*_e	b^*_e	$C^*_{ab,e}$	$h^*_{ab,e}$
O_{Mu}	35.06	60.0	44.0	74.4	36
Y_{Mu}	83.77	−5.17	109.32	109.44	93
L_{Mu}	44.13	−62.67	48.24	79.09	142
C_{Mu}	52.66	−29.14	−31.99	43.27	228
V_{Mu}	14.15	50.3	−59.04	77.57	310
M_{Mu}	37.37	78.64	−33.5	85.48	337
N_{Mu}	8.58	0.0	0.0	0.0	0
W_{Mu}	92.02	0.0	0.0	0.0	0
R_{Mu}	39.92	58.74	27.99	65.07	25
I_{Mu}	81.26	−2.89	71.56	71.62	92
G_{Mu}	52.23	−42.42	13.6	44.55	162
B_{Mu}	30.57	1.41	−46.47	46.49	272

Daten für Maximalfarbe (Ma):
$LAB^*LAB^*_{Ma}$: 39 −1 −42
$LAB^*LCH^*_{Ma}$: 39 42 269
$lab^*olv^*_{Ma}$: 0.0 0.5 1.0
$lab^*rgb^*_{Ma}$: 0.0 0.05 1.0
Dreiecks-Helligkeit t^*

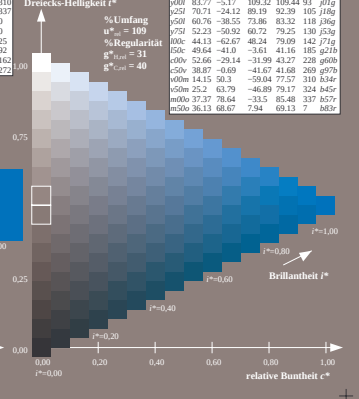

FRS09_92a; adaptierte CIELAB-Daten

	L^*_{CIE}	a^*_e	b^*_e	$C^*_{ab,e}$	$h^*_{ab,e}$	u^*_e
e00y	35.06	60.0	44.0	74.4	36	r16j
e25y	44.68	47.13	56.9	73.88	50	r37j
e50y	54.77	33.62	70.44	78.05	64	r58j
e75y	66.84	17.48	86.62	88.37	79	r79j
y00f	83.77	−5.17	109.32	109.44	93	j01g
y25f	70.71	−24.12	89.19	92.39	105	j18g
y50f	60.76	−38.55	73.86	83.32	118	j36g
y75f	52.23	−50.92	60.72	79.25	130	f53g
f00c	44.13	−62.67	48.24	79.09	142	f71g
f50c	49.64	−41.0	−3.61	41.16	185	g21h
c00v	52.66	−29.14	−31.99	43.27	228	g60h
c50v	38.87	−0.69	−41.67	41.68	269	g97h
v00m	14.15	50.3	−59.04	77.57	310	h34v
v50m	25.2	63.79	−46.89	79.17	324	h45v
m00o	37.37	78.64	−33.5	85.48	337	b57v
m50o	36.13	68.67	7.94	69.13	7	b83v

Ein und Ausgabe: Farbmetrisches Drucker-Reflektiv-System FRS09_92, L*=09_92 für relativen CIELAB-Buntton $h^* = lab^*h^* = h_{ab}/360 = 0.862$ $u^*_d = b00r$

Daten für jede Farbe:
*lab*ich** und *lab*icu**
Bunttontexte:
$u^*_d = v00m$ $u^*_e = b34r$
Kontrastreduzierungsfaktor:
$c_R = 1.0$
Dreiecks-Helligkeit t^*

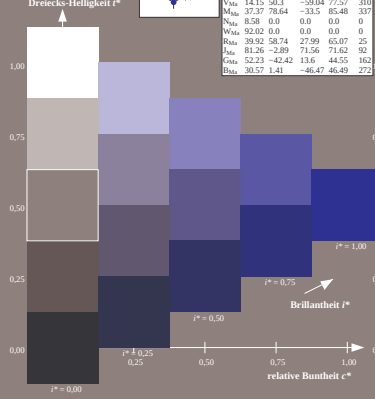

FRS09_92a; adaptierte CIELAB-Daten

	L^*_{CIE}	a^*_e	b^*_e	$C^*_{ab,e}$	$h^*_{ab,e}$
O_{Mu}	35.06	60.0	44.0	74.4	36
Y_{Mu}	83.77	−5.17	109.32	109.44	93
L_{Mu}	44.13	−62.67	48.24	79.09	142
C_{Mu}	52.66	−29.14	−31.99	43.27	228
V_{Mu}	14.15	50.3	−59.04	77.57	310
M_{Mu}	37.37	78.64	−33.5	85.48	337
N_{Mu}	8.58	0.0	0.0	0.0	0
W_{Mu}	92.02	0.0	0.0	0.0	0
R_{Mu}	39.92	58.74	27.99	65.07	25
I_{Mu}	81.26	−2.89	71.56	71.62	92
G_{Mu}	52.23	−42.42	13.6	44.55	162
B_{Mu}	30.57	1.41	−46.47	46.49	272

Daten für Maximalfarbe (Ma):
$LAB^*LAB^*_{Ma}$: 14 50 −59
$LAB^*LCH^*_{Ma}$: 14 78 310
$lab^*olv^*_{Ma}$: 0.0 0.0 1.0
$lab^*rgb^*_{Ma}$: 0.68 0.0 1.0
Dreiecks-Helligkeit t^*

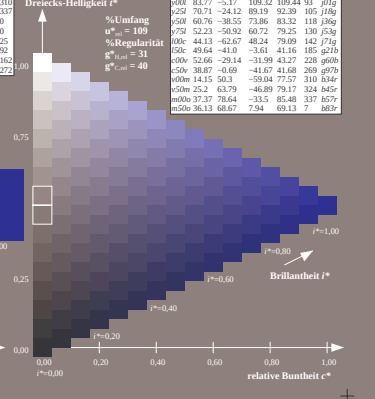

FRS09_92a; adaptierte CIELAB-Daten

	L^*_{CIE}	a^*_e	b^*_e	$C^*_{ab,e}$	$h^*_{ab,e}$	u^*_e
e00y	35.06	60.0	44.0	74.4	36	r16j
e25y	44.68	47.13	56.9	73.88	50	r37j
e50y	54.77	33.62	70.44	78.05	64	r58j
e75y	66.84	17.48	86.62	88.37	79	r79j
y00f	83.77	−5.17	109.32	109.44	93	j01g
y25f	70.71	−24.12	89.19	92.39	105	j18g
y50f	60.76	−38.55	73.86	83.32	118	j36g
y75f	52.23	−50.92	60.72	79.25	130	f53g
f00c	44.13	−62.67	48.24	79.09	142	f71g
f50c	49.64	−41.0	−3.61	41.16	185	g21h
c00v	52.66	−29.14	−31.99	43.27	228	g60h
c50v	38.87	−0.69	−41.67	41.68	269	g97h
v00m	14.15	50.3	−59.04	77.57	310	h34v
v50m	25.2	63.79	−46.89	79.17	324	h45v
m00o	37.37	78.64	−33.5	85.48	337	b57v
m50o	36.13	68.67	7.94	69.13	7	b83v

Ein und Ausgabe: Farbmetrisches Drucker-Reflektiv-System FRS09_92, L*=09_92 für relativen CIELAB-Buntton $h^* = lab^*h^* = h_{ab}/360 = 0.899$ $u^*_d = b25r$

Daten für jede Farbe:
*lab*ich** und *lab*icu**
Bunttontexte:
$u^*_d = v50m$ $u^*_e = b45r$
Kontrastreduzierungsfaktor:
$c_R = 1.0$
Dreiecks-Helligkeit t^*

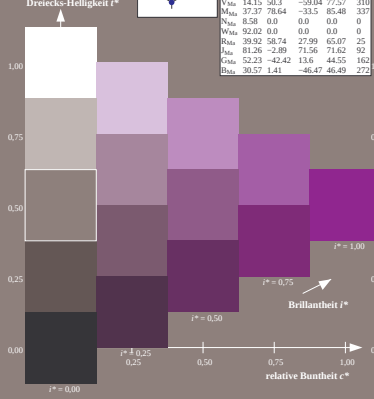

FRS09_92a; adaptierte CIELAB-Daten

	L^*_{CIE}	a^*_e	b^*_e	$C^*_{ab,e}$	$h^*_{ab,e}$
O_{Mu}	35.06	60.0	44.0	74.4	36
Y_{Mu}	83.77	−5.17	109.32	109.44	93
L_{Mu}	44.13	−62.67	48.24	79.09	142
C_{Mu}	52.66	−29.14	−31.99	43.27	228
V_{Mu}	14.15	50.3	−59.04	77.57	310
M_{Mu}	37.37	78.64	−33.5	85.48	337
N_{Mu}	8.58	0.0	0.0	0.0	0
W_{Mu}	92.02	0.0	0.0	0.0	0
R_{Mu}	39.92	58.74	27.99	65.07	25
I_{Mu}	81.26	−2.89	71.56	71.62	92
G_{Mu}	52.23	−42.42	13.6	44.55	162
B_{Mu}	30.57	1.41	−46.47	46.49	272

Daten für Maximalfarbe (Ma):
$LAB^*LAB^*_{Ma}$: 25 64 −47
$LAB^*LCH^*_{Ma}$: 25 79 323
$lab^*olv^*_{Ma}$: 0.5 0.0 1.0
$lab^*rgb^*_{Ma}$: 0.91 0.0 1.0
Dreiecks-Helligkeit t^*

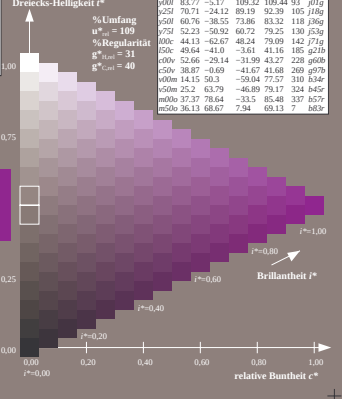

FRS09_92a; adaptierte CIELAB-Daten

	L^*_{CIE}	a^*_e	b^*_e	$C^*_{ab,e}$	$h^*_{ab,e}$	u^*_e
e00y	35.06	60.0	44.0	74.4	36	r16j
e25y	44.68	47.13	56.9	73.88	50	r37j
e50y	54.77	33.62	70.44	78.05	64	r58j
e75y	66.84	17.48	86.62	88.37	79	r79j
y00f	83.77	−5.17	109.32	109.44	93	j01g
y25f	70.71	−24.12	89.19	92.39	105	j18g
y50f	60.76	−38.55	73.86	83.32	118	j36g
y75f	52.23	−50.92	60.72	79.25	130	f53g
f00c	44.13	−62.67	48.24	79.09	142	f71g
f50c	49.64	−41.0	−3.61	41.16	185	g21h
c00v	52.66	−29.14	−31.99	43.27	228	g60h
c50v	38.87	−0.69	−41.67	41.68	269	g97h
v00m	14.15	50.3	−59.04	77.57	310	h34v
v50m	25.2	63.79	−46.89	79.17	324	h45v
m00o	37.37	78.64	−33.5	85.48	337	b57v
m50o	36.13	68.67	7.94	69.13	7	b83v

Ein und Ausgabe: Farbmetrisches Drucker-Reflektiv-System FRS09_92, L*=09_92 für relativen CIELAB-Buntton $h^* = lab^*h^* = h_{ab}/360 = 0.936$ $u^*_d = b50r$

Daten für jede Farbe:
*lab*ich** und *lab*icu**
Bunttontexte:
$u^*_d = m00o$ $u^*_e = b57r$
Kontrastreduzierungsfaktor:
$c_R = 1.0$
Dreiecks-Helligkeit t^*

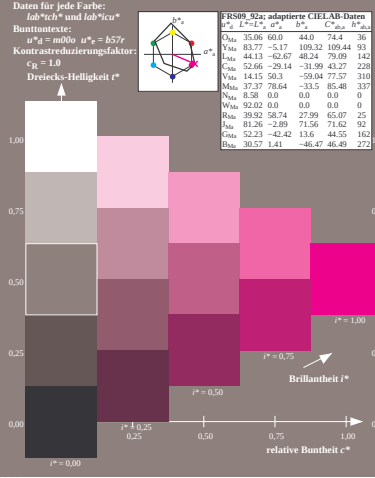

FRS09_92a; adaptierte CIELAB-Daten

	L^*_{CIE}	a^*_e	b^*_e	$C^*_{ab,e}$	$h^*_{ab,e}$
O_{Mu}	35.06	60.0	44.0	74.4	36
Y_{Mu}	83.77	−5.17	109.32	109.44	93
L_{Mu}	44.13	−62.67	48.24	79.09	142
C_{Mu}	52.66	−29.14	−31.99	43.27	228
V_{Mu}	14.15	50.3	−59.04	77.57	310
M_{Mu}	37.37	78.64	−33.5	85.48	337
N_{Mu}	8.58	0.0	0.0	0.0	0
W_{Mu}	92.02	0.0	0.0	0.0	0
R_{Mu}	39.92	58.74	27.99	65.07	25
I_{Mu}	81.26	−2.89	71.56	71.62	92
G_{Mu}	52.23	−42.42	13.6	44.55	162
B_{Mu}	30.57	1.41	−46.47	46.49	272

Daten für Maximalfarbe (Ma):
$LAB^*LAB^*_{Ma}$: 37 79 −34
$LAB^*LCH^*_{Ma}$: 37 85 336
$lab^*olv^*_{Ma}$: 1.0 0.0 1.0
$lab^*rgb^*_{Ma}$: 1.0 0.0 0.85
Dreiecks-Helligkeit t^*

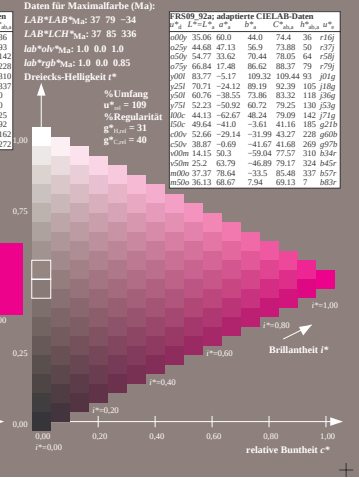

FRS09_92a; adaptierte CIELAB-Daten

	L^*_{CIE}	a^*_e	b^*_e	$C^*_{ab,e}$	$h^*_{ab,e}$	u^*_e
e00y	35.06	60.0	44.0	74.4	36	r16j
e25y	44.68	47.13	56.9	73.88	50	r37j
e50y	54.77	33.62	70.44	78.05	64	r58j
e75y	66.84	17.48	86.62	88.37	79	r79j
y00f	83.77	−5.17	109.32	109.44	93	j01g
y25f	70.71	−24.12	89.19	92.39	105	j18g
y50f	60.76	−38.55	73.86	83.32	118	j36g
y75f	52.23	−50.92	60.72	79.25	130	f53g
f00c	44.13	−62.67	48.24	79.09	142	f71g
f50c	49.64	−41.0	−3.61	41.16	185	g21h
c00v	52.66	−29.14	−31.99	43.27	228	g60h
c50v	38.87	−0.69	−41.67	41.68	269	g97h
v00m	14.15	50.3	−59.04	77.57	310	h34v
v50m	25.2	63.79	−46.89	79.17	324	h45v
m00o	37.37	78.64	−33.5	85.48	337	b57v
m50o	36.13	68.67	7.94	69.13	7	b83v

Ein und Ausgabe: Farbmetrisches Drucker-Reflektiv-System FRS09_92, L*=09_92 für relativen CIELAB-Buntton $h^* = lab^*h^* = h_{ab}/360 = 0.018$ $u^*_d = b75r$

Daten für jede Farbe:
*lab*ich** und *lab*icu**
Bunttontexte:
$u^*_d = m50o$ $u^*_e = b83r$
Kontrastreduzierungsfaktor:
$c_R = 1.0$
Dreiecks-Helligkeit t^*

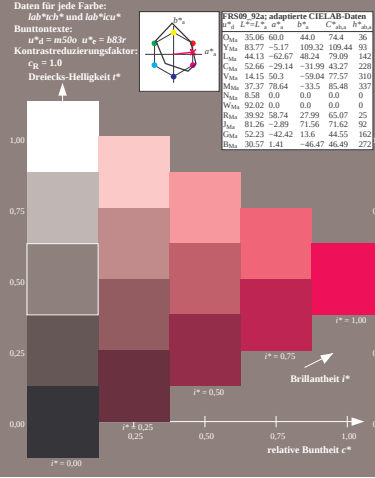

FRS09_92a; adaptierte CIELAB-Daten

	L^*_{CIE}	a^*_e	b^*_e	$C^*_{ab,e}$	$h^*_{ab,e}$
O_{Mu}	35.06	60.0	44.0	74.4	36
Y_{Mu}	83.77	−5.17	109.32	109.44	93
L_{Mu}	44.13	−62.67	48.24	79.09	142
C_{Mu}	52.66	−29.14	−31.99	43.27	228
V_{Mu}	14.15	50.3	−59.04	77.57	310
M_{Mu}	37.37	78.64	−33.5	85.48	337
N_{Mu}	8.58	0.0	0.0	0.0	0
W_{Mu}	92.02	0.0	0.0	0.0	0
R_{Mu}	39.92	58.74	27.99	65.07	25
I_{Mu}	81.26	−2.89	71.56	71.62	92
G_{Mu}	52.23	−42.42	13.6	44.55	162
B_{Mu}	30.57	1.41	−46.47	46.49	272

Daten für Maximalfarbe (Ma):
$LAB^*LAB^*_{Ma}$: 36 69 8
$LAB^*LCH^*_{Ma}$: 36 69 6
$lab^*olv^*_{Ma}$: 1.0 0.0 0.5
$lab^*rgb^*_{Ma}$: 1.0 0.0 0.33
Dreiecks-Helligkeit t^*

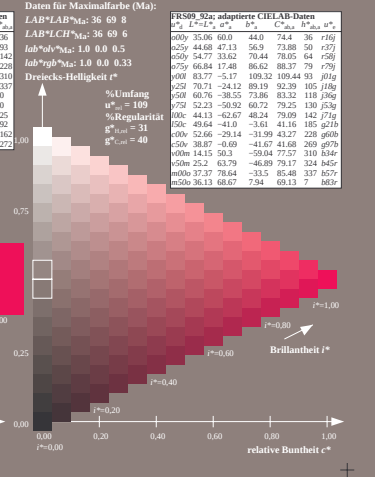

FRS09_92a; adaptierte CIELAB-Daten

	L^*_{CIE}	a^*_e	b^*_e	$C^*_{ab,e}$	$h^*_{ab,e}$	u^*_e
e00y	35.06	60.0	44.0	74.4	36	r16j
e25y	44.68	47.13	56.9	73.88	50	r37j
e50y	54.77	33.62	70.44	78.05	64	r58j
e75y	66.84	17.48	86.62	88.37	79	r79j
y00f	83.77	−5.17	109.32	109.44	93	j01g
y25f	70.71	−24.12	89.19	92.39	105	j18g
y50f	60.76	−38.55	73.86	83.32	118	j36g
y75f	52.23	−50.92	60.72	79.25	130	f53g
f00c	44.13	−62.67	48.24	79.09	142	f71g
f50c	49.64	−41.0	−3.61	41.16	185	g21h
c00v	52.66	−29.14	−31.99	43.27	228	g60h
c50v	38.87	−0.69	−41.67	41.68	269	g97h
v00m	14.15	50.3	−59.04	77.57	310	h34v
v50m	25.2	63.79	−46.89	79.17	324	h45v
m00o	37.37	78.64	−33.5	85.48	337	b57v
m50o	36.13	68.67	7.94	69.13	7	b83v

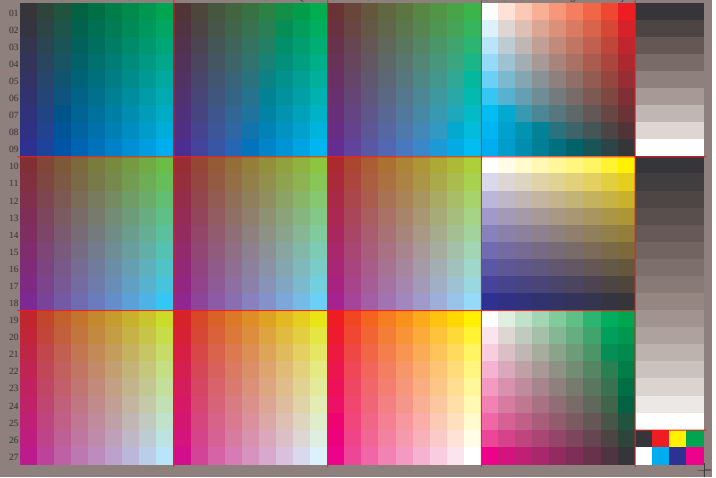

Ein und Ausgabe: Farbmetrisches Drucker-Reflektiv-System FRS09_92, L*=09_92 für relativen CIELAB-Buntton h^* = lab^*h^* = h_{ab}/360 = 0.396 u^*_d = g00b

Daten für jede Farbe:
lab**ich und ***lab**icu***
Buntontexte:
u^*_d = *l00c* u^*_e = *j71g*
Kontrastreduzierungsfaktor:
c_R = **1.0**
Dreiecks-Helligkeit *i**

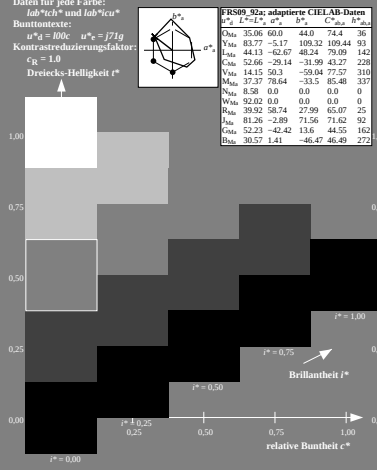

Daten für Maximalfarbe (Ma):
LAB*LAB*$_{Ma}$: **44 −63 48**
LAB*LCH*$_{Ma}$: **44 79 142**
lab*olv*$_{Ma}$: **0.0 1.0 0.0**
lab*rgb*$_{Ma}$: **0.28 1.0 0.0**
Dreiecks-Helligkeit *i**

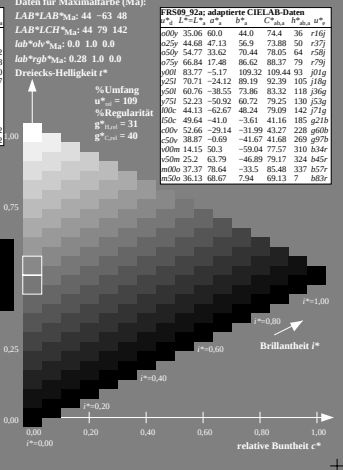

FRS09_92a; adaptierte CIELAB-Daten

u^*_d	$L^*_{ab,d}$	a^*_d	b^*_d	$C^*_{ab,d}$	$h^*_{ab,d}$	u^*_d
O_{Ma}	35.06	60.0	44.0	74.4	36	*r16j*
Y_{Ma}	83.77	−5.17	109.32	109.44	93	*r37j*
L_{Ma}	44.13	−62.67	48.24	79.09	142	*r58j*
C_{Ma}	52.66	−29.14	−31.99	43.27	228	*r79j*
V_{Ma}	14.15	50.3	−59.04	77.57	310	*j01g*
M_{Ma}	37.37	78.64	−33.5	85.48	337	*j18g*
N_{Ma}	8.58	0.0	0.0	0.0	0	
W_{Ma}	92.02	0.0	0.0	0.0	0	
R_{Ma}	39.92	58.74	27.99	65.07	25	*j36g*
J_{Ma}	81.26	−2.89	71.56	71.62	92	*j53g*
G_{Ma}	52.23	−42.42	13.6	44.55	162	*j71g*
B_{Ma}	30.57	1.41	−46.47	46.49	272	*g21b*
e00y	35.06	60.0	44.0	74.4	36	*r16j*
o25y	44.68	47.13	56.9	73.88	50	*r37j*
o50y	54.77	33.62	70.44	78.05	64	*r58j*
o75y	66.84	17.48	86.62	88.37	79	*r79j*
y00l	83.77	−5.17	109.32	109.44	93	*j01g*
y25l	70.71	−24.12	89.19	92.39	105	*j18g*
y50l	60.76	−38.55	73.86	83.32	118	*j36g*
y75l	52.23	−50.92	60.72	79.25	130	*j53g*
l00c	44.13	−62.67	48.24	79.09	142	*j71g*
l50c	49.64	−41.0	−3.61	41.16	185	*g21b*
c00c	52.66	−29.14	−31.99	43.27	228	*g60b*
c50c	38.87	−0.69	−41.67	41.68	269	*g97b*
v00m	14.15	50.3	−59.04	77.57	310	*b34r*
v50m	25.2	63.79	−46.89	79.17	324	*b45r*
m00o	37.37	78.64	−33.5	85.48	337	*b57r*
m50o	36.13	68.67	7.94	69.13	7	*b83r*

Ein und Ausgabe: Farbmetrisches Drucker-Reflektiv-System FRS09_92, L*=09_92 für relativen CIELAB-Buntton h^* = lab^*h^* = h_{ab}/360 = 0.514 u^*_d = g25b

Daten für jede Farbe:
lab**ich und ***lab**icu***
Buntontexte:
u^*_d = *l50c* u^*_e = *g21b*
Kontrastreduzierungsfaktor:
c_R = **1.0**
Dreiecks-Helligkeit *i**

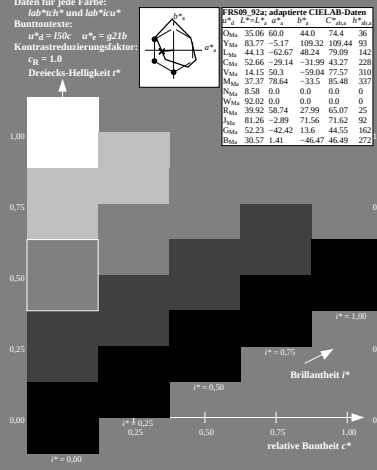

Daten für Maximalfarbe (Ma):
LAB*LAB*$_{Ma}$: **50 −41 −4**
LAB*LCH*$_{Ma}$: **50 41 185**
lab*olv*$_{Ma}$: **0.0 1.0 0.5**
lab*rgb*$_{Ma}$: **0.0 1.0 0.42**
Dreiecks-Helligkeit *i**

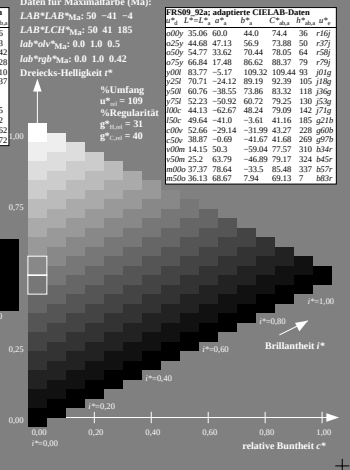

FRS09_92a; adaptierte CIELAB-Daten

u^*_d	$L^*_{ab,d}$	a^*_d	b^*_d	$C^*_{ab,d}$	$h^*_{ab,d}$	u^*_d
O_{Ma}	35.06	60.0	44.0	74.4	36	*r16j*
Y_{Ma}	83.77	−5.17	109.32	109.44	93	*r37j*
L_{Ma}	44.13	−62.67	48.24	79.09	142	*r58j*
C_{Ma}	52.66	−29.14	−31.99	43.27	228	*r79j*
V_{Ma}	14.15	50.3	−59.04	77.57	310	*j01g*
M_{Ma}	37.37	78.64	−33.5	85.48	337	*j18g*
N_{Ma}	8.58	0.0	0.0	0.0	0	
W_{Ma}	92.02	0.0	0.0	0.0	0	
R_{Ma}	39.92	58.74	27.99	65.07	25	*j36g*
J_{Ma}	81.26	−2.89	71.56	71.62	92	*j53g*
G_{Ma}	52.23	−42.42	13.6	44.55	162	*j71g*
B_{Ma}	30.57	1.41	−46.47	46.49	272	*g21b*
e00y	35.06	60.0	44.0	74.4	36	*r16j*
o25y	44.68	47.13	56.9	73.88	50	*r37j*
o50y	54.77	33.62	70.44	78.05	64	*r58j*
o75y	66.84	17.48	86.62	88.37	79	*r79j*
y00l	83.77	−5.17	109.32	109.44	93	*j01g*
y25l	70.71	−24.12	89.19	92.39	105	*j18g*
y50l	60.76	−38.55	73.86	83.32	118	*j36g*
y75l	52.23	−50.92	60.72	79.25	130	*j53g*
l00c	44.13	−62.67	48.24	79.09	142	*j71g*
l50c	49.64	−41.0	−3.61	41.16	185	*g21b*
c00c	52.66	−29.14	−31.99	43.27	228	*g60b*
c50c	38.87	−0.69	−41.67	41.68	269	*g97b*
v00m	14.15	50.3	−59.04	77.57	310	*b34r*
v50m	25.2	63.79	−46.89	79.17	324	*b45r*
m00o	37.37	78.64	−33.5	85.48	337	*b57r*
m50o	36.13	68.67	7.94	69.13	7	*b83r*

Ein und Ausgabe: Farbmetrisches Drucker-Reflektiv-System FRS09_92, L*=09_92 für relativen CIELAB-Buntton h^* = lab^*h^* = h_{ab}/360 = 0.632 u^*_d = g50b

Daten für jede Farbe:
lab**ich und ***lab**icu***
Buntontexte:
u^*_d = *c00v* u^*_e = *g60b*
Kontrastreduzierungsfaktor:
c_R = **1.0**
Dreiecks-Helligkeit *i**

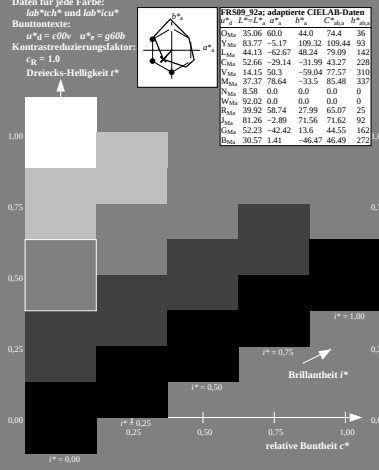

Daten für Maximalfarbe (Ma):
LAB*LAB*$_{Ma}$: **53 −29 −32**
LAB*LCH*$_{Ma}$: **53 43 227**
lab*olv*$_{Ma}$: **0.0 1.0 1.0**
lab*rgb*$_{Ma}$: **0.0 0.8 1.0**
Dreiecks-Helligkeit *i**

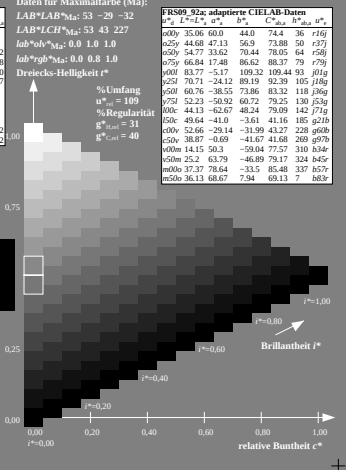

FRS09_92a; adaptierte CIELAB-Daten

u^*_d	$L^*_{ab,d}$	a^*_d	b^*_d	$C^*_{ab,d}$	$h^*_{ab,d}$	u^*_d
O_{Ma}	35.06	60.0	44.0	74.4	36	*r16j*
Y_{Ma}	83.77	−5.17	109.32	109.44	93	*r37j*
L_{Ma}	44.13	−62.67	48.24	79.09	142	*r58j*
C_{Ma}	52.66	−29.14	−31.99	43.27	228	*r79j*
V_{Ma}	14.15	50.3	−59.04	77.57	310	*j01g*
M_{Ma}	37.37	78.64	−33.5	85.48	337	*j18g*
N_{Ma}	8.58	0.0	0.0	0.0	0	
W_{Ma}	92.02	0.0	0.0	0.0	0	
R_{Ma}	39.92	58.74	27.99	65.07	25	*j36g*
J_{Ma}	81.26	−2.89	71.56	71.62	92	*j53g*
G_{Ma}	52.23	−42.42	13.6	44.55	162	*j71g*
B_{Ma}	30.57	1.41	−46.47	46.49	272	*g21b*
e00y	35.06	60.0	44.0	74.4	36	*r16j*
o25y	44.68	47.13	56.9	73.88	50	*r37j*
o50y	54.77	33.62	70.44	78.05	64	*r58j*
o75y	66.84	17.48	86.62	88.37	79	*r79j*
y00l	83.77	−5.17	109.32	109.44	93	*j01g*
y25l	70.71	−24.12	89.19	92.39	105	*j18g*
y50l	60.76	−38.55	73.86	83.32	118	*j36g*
y75l	52.23	−50.92	60.72	79.25	130	*j53g*
l00c	44.13	−62.67	48.24	79.09	142	*j71g*
l50c	49.64	−41.0	−3.61	41.16	185	*g21b*
c00c	52.66	−29.14	−31.99	43.27	228	*g60b*
c50c	38.87	−0.69	−41.67	41.68	269	*g97b*
v00m	14.15	50.3	−59.04	77.57	310	*b34r*
v50m	25.2	63.79	−46.89	79.17	324	*b45r*
m00o	37.37	78.64	−33.5	85.48	337	*b57r*
m50o	36.13	68.67	7.94	69.13	7	*b83r*

Ein und Ausgabe: Farbmetrisches Drucker-Reflektiv-System FRS09_92, L*=09_92 für relativen CIELAB-Buntton h^* = lab^*h^* = h_{ab}/360 = 0.747 u^*_d = g75b

Daten für jede Farbe:
lab**ich und ***lab**icu***
Buntontexte:
u^*_d = *c50v* u^*_e = *g97b*
Kontrastreduzierungsfaktor:
c_R = **1.0**
Dreiecks-Helligkeit *i**

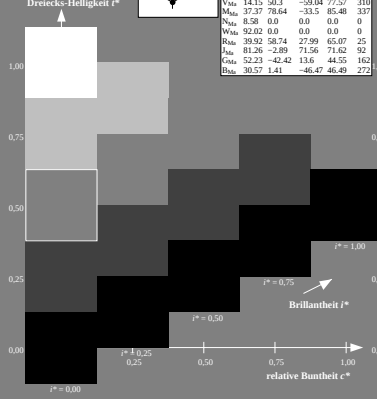

Daten für Maximalfarbe (Ma):
LAB*LAB*$_{Ma}$: **39 −1 −42**
LAB*LCH*$_{Ma}$: **39 42 269**
lab*olv*$_{Ma}$: **0.0 0.5 1.0**
lab*rgb*$_{Ma}$: **0.0 0.05 1.0**
Dreiecks-Helligkeit *i**

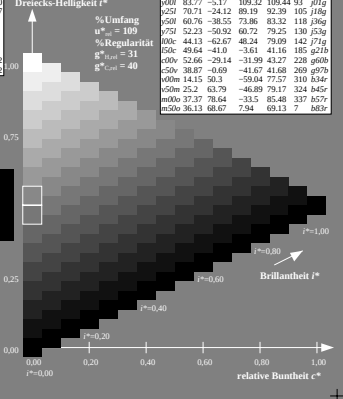

FRS09_92a; adaptierte CIELAB-Daten

u^*_d	$L^*_{ab,d}$	a^*_d	b^*_d	$C^*_{ab,d}$	$h^*_{ab,d}$	u^*_d
O_{Ma}	35.06	60.0	44.0	74.4	36	*r16j*
Y_{Ma}	83.77	−5.17	109.32	109.44	93	*r37j*
L_{Ma}	44.13	−62.67	48.24	79.09	142	*r58j*
C_{Ma}	52.66	−29.14	−31.99	43.27	228	*r79j*
V_{Ma}	14.15	50.3	−59.04	77.57	310	*j01g*
M_{Ma}	37.37	78.64	−33.5	85.48	337	*j18g*
N_{Ma}	8.58	0.0	0.0	0.0	0	
W_{Ma}	92.02	0.0	0.0	0.0	0	
R_{Ma}	39.92	58.74	27.99	65.07	25	*j36g*
J_{Ma}	81.26	−2.89	71.56	71.62	92	*j53g*
G_{Ma}	52.23	−42.42	13.6	44.55	162	*j71g*
B_{Ma}	30.57	1.41	−46.47	46.49	272	*g21b*
e00y	35.06	60.0	44.0	74.4	36	*r16j*
o25y	44.68	47.13	56.9	73.88	50	*r37j*
o50y	54.77	33.62	70.44	78.05	64	*r58j*
o75y	66.84	17.48	86.62	88.37	79	*r79j*
y00l	83.77	−5.17	109.32	109.44	93	*j01g*
y25l	70.71	−24.12	89.19	92.39	105	*j18g*
y50l	60.76	−38.55	73.86	83.32	118	*j36g*
y75l	52.23	−50.92	60.72	79.25	130	*j53g*
l00c	44.13	−62.67	48.24	79.09	142	*j71g*
l50c	49.64	−41.0	−3.61	41.16	185	*g21b*
c00c	52.66	−29.14	−31.99	43.27	228	*g60b*
c50c	38.87	−0.69	−41.67	41.68	269	*g97b*
v00m	14.15	50.3	−59.04	77.57	310	*b34r*
v50m	25.2	63.79	−46.89	79.17	324	*b45r*
m00o	37.37	78.64	−33.5	85.48	337	*b57r*
m50o	36.13	68.67	7.94	69.13	7	*b83r*

Ein und Ausgabe: Farbmetrisches Drucker-Reflektiv-System FRS09_92, L*=09_92 für relativen CIELAB-Buntton h^* = lab^*h^* = h_{ab}/360 = 0.862 u^*_d = b00r

Daten für jede Farbe:
lab**ich und ***lab**icu***
Buntontexte:
u^*_d = *v00m* u^*_e = *b34r*
Kontrastreduzierungsfaktor:
c_R = **1.0**
Dreiecks-Helligkeit *i**

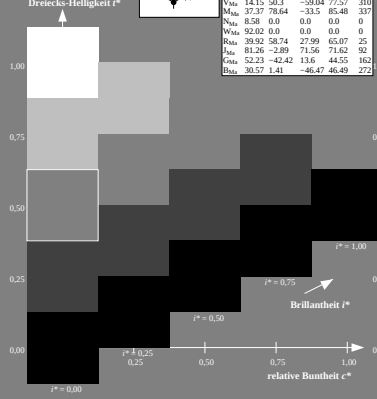

Daten für Maximalfarbe (Ma):
LAB*LAB*$_{Ma}$: **14 50 −59**
LAB*LCH*$_{Ma}$: **14 78 310**
lab*olv*$_{Ma}$: **0.0 0.0 1.0**
lab*rgb*$_{Ma}$: **0.68 0.0 1.0**
Dreiecks-Helligkeit *i**

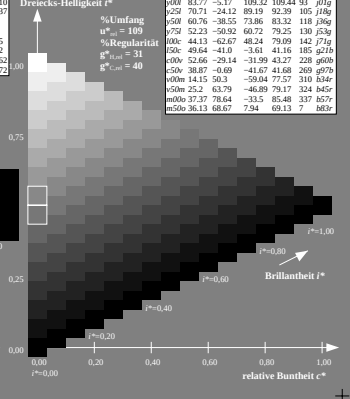

FRS09_92a; adaptierte CIELAB-Daten

u^*_d	$L^*_{ab,d}$	a^*_d	b^*_d	$C^*_{ab,d}$	$h^*_{ab,d}$	u^*_d
O_{Ma}	35.06	60.0	44.0	74.4	36	*r16j*
Y_{Ma}	83.77	−5.17	109.32	109.44	93	*r37j*
L_{Ma}	44.13	−62.67	48.24	79.09	142	*r58j*
C_{Ma}	52.66	−29.14	−31.99	43.27	228	*r79j*
V_{Ma}	14.15	50.3	−59.04	77.57	310	*j01g*
M_{Ma}	37.37	78.64	−33.5	85.48	337	*j18g*
N_{Ma}	8.58	0.0	0.0	0.0	0	
W_{Ma}	92.02	0.0	0.0	0.0	0	
R_{Ma}	39.92	58.74	27.99	65.07	25	*j36g*
J_{Ma}	81.26	−2.89	71.56	71.62	92	*j53g*
G_{Ma}	52.23	−42.42	13.6	44.55	162	*j71g*
B_{Ma}	30.57	1.41	−46.47	46.49	272	*g21b*
e00y	35.06	60.0	44.0	74.4	36	*r16j*
o25y	44.68	47.13	56.9	73.88	50	*r37j*
o50y	54.77	33.62	70.44	78.05	64	*r58j*
o75y	66.84	17.48	86.62	88.37	79	*r79j*
y00l	83.77	−5.17	109.32	109.44	93	*j01g*
y25l	70.71	−24.12	89.19	92.39	105	*j18g*
y50l	60.76	−38.55	73.86	83.32	118	*j36g*
y75l	52.23	−50.92	60.72	79.25	130	*j53g*
l00c	44.13	−62.67	48.24	79.09	142	*j71g*
l50c	49.64	−41.0	−3.61	41.16	185	*g21b*
c00c	52.66	−29.14	−31.99	43.27	228	*g60b*
c50c	38.87	−0.69	−41.67	41.68	269	*g97b*
v00m	14.15	50.3	−59.04	77.57	310	*b34r*
v50m	25.2	63.79	−46.89	79.17	324	*b45r*
m00o	37.37	78.64	−33.5	85.48	337	*b57r*
m50o	36.13	68.67	7.94	69.13	7	*b83r*

Ein und Ausgabe: Farbmetrisches Drucker-Reflektiv-System FRS09_92, L*=09_92 für relativen CIELAB-Buntton h^* = lab^*h^* = h_{ab}/360 = 0.899 u^*_d = b25r

Daten für jede Farbe:
lab**ich und ***lab**icu***
Buntontexte:
u^*_d = *v50m* u^*_e = *b45r*
Kontrastreduzierungsfaktor:
c_R = **1.0**
Dreiecks-Helligkeit *i**

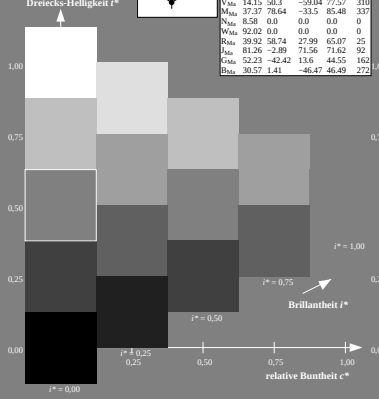

Daten für Maximalfarbe (Ma):
LAB*LAB*$_{Ma}$: **25 64 −47**
LAB*LCH*$_{Ma}$: **25 79 323**
lab*olv*$_{Ma}$: **0.5 0.0 1.0**
lab*rgb*$_{Ma}$: **0.91 0.0 1.0**
Dreiecks-Helligkeit *i**

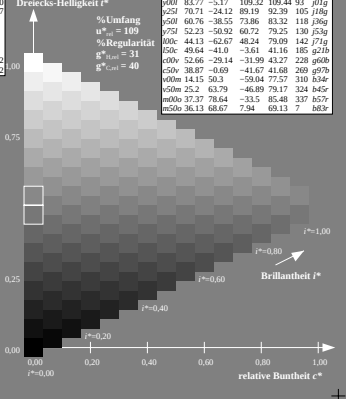

FRS09_92a; adaptierte CIELAB-Daten

u^*_d	$L^*_{ab,d}$	a^*_d	b^*_d	$C^*_{ab,d}$	$h^*_{ab,d}$	u^*_d
O_{Ma}	35.06	60.0	44.0	74.4	36	*r16j*
Y_{Ma}	83.77	−5.17	109.32	109.44	93	*r37j*
L_{Ma}	44.13	−62.67	48.24	79.09	142	*r58j*
C_{Ma}	52.66	−29.14	−31.99	43.27	228	*r79j*
V_{Ma}	14.15	50.3	−59.04	77.57	310	*j01g*
M_{Ma}	37.37	78.64	−33.5	85.48	337	*j18g*
N_{Ma}	8.58	0.0	0.0	0.0	0	
W_{Ma}	92.02	0.0	0.0	0.0	0	
R_{Ma}	39.92	58.74	27.99	65.07	25	*j36g*
J_{Ma}	81.26	−2.89	71.56	71.62	92	*j53g*
G_{Ma}	52.23	−42.42	13.6	44.55	162	*j71g*
B_{Ma}	30.57	1.41	−46.47	46.49	272	*g21b*
e00y	35.06	60.0	44.0	74.4	36	*r16j*
o25y	44.68	47.13	56.9	73.88	50	*r37j*
o50y	54.77	33.62	70.44	78.05	64	*r58j*
o75y	66.84	17.48	86.62	88.37	79	*r79j*
y00l	83.77	−5.17	109.32	109.44	93	*j01g*
y25l	70.71	−24.12	89.19	92.39	105	*j18g*
y50l	60.76	−38.55	73.86	83.32	118	*j36g*
y75l	52.23	−50.92	60.72	79.25	130	*j53g*
l00c	44.13	−62.67	48.24	79.09	142	*j71g*
l50c	49.64	−41.0	−3.61	41.16	185	*g21b*
c00c	52.66	−29.14	−31.99	43.27	228	*g60b*
c50c	38.87	−0.69	−41.67	41.68	269	*g97b*
v00m	14.15	50.3	−59.04	77.57	310	*b34r*
v50m	25.2	63.79	−46.89	79.17	324	*b45r*
m00o	37.37	78.64	−33.5	85.48	337	*b57r*
m50o	36.13	68.67	7.94	69.13	7	*b83r*

Ein und Ausgabe: Farbmetrisches Drucker-Reflektiv-System FRS09_92, L*=09_92 für relativen CIELAB-Buntton h^* = lab^*h^* = h_{ab}/360 = 0.936 u^*_d = b50r

Daten für jede Farbe:
lab**ich und ***lab**icu***
Buntontexte:
u^*_d = *m00o* u^*_e = *b57r*
Kontrastreduzierungsfaktor:
c_R = **1.0**
Dreiecks-Helligkeit *i**

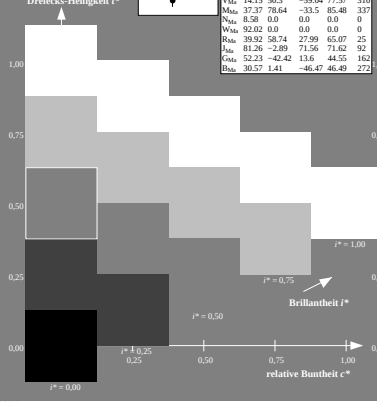

Daten für Maximalfarbe (Ma):
LAB*LAB*$_{Ma}$: **37 79 −34**
LAB*LCH*$_{Ma}$: **37 85 336**
lab*olv*$_{Ma}$: **1.0 0.0 1.0**
lab*rgb*$_{Ma}$: **1.0 0.0 0.85**
Dreiecks-Helligkeit *i**

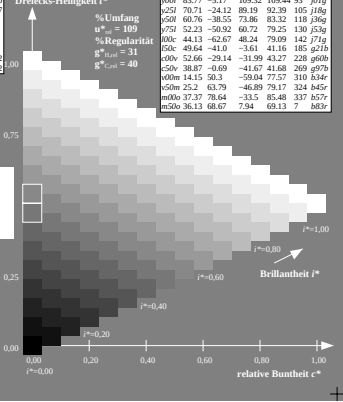

FRS09_92a; adaptierte CIELAB-Daten

u^*_d	$L^*_{ab,d}$	a^*_d	b^*_d	$C^*_{ab,d}$	$h^*_{ab,d}$	u^*_d
O_{Ma}	35.06	60.0	44.0	74.4	36	*r16j*
Y_{Ma}	83.77	−5.17	109.32	109.44	93	*r37j*
L_{Ma}	44.13	−62.67	48.24	79.09	142	*r58j*
C_{Ma}	52.66	−29.14	−31.99	43.27	228	*r79j*
V_{Ma}	14.15	50.3	−59.04	77.57	310	*j01g*
M_{Ma}	37.37	78.64	−33.5	85.48	337	*j18g*
N_{Ma}	8.58	0.0	0.0	0.0	0	
W_{Ma}	92.02	0.0	0.0	0.0	0	
R_{Ma}	39.92	58.74	27.99	65.07	25	*j36g*
J_{Ma}	81.26	−2.89	71.56	71.62	92	*j53g*
G_{Ma}	52.23	−42.42	13.6	44.55	162	*j71g*
B_{Ma}	30.57	1.41	−46.47	46.49	272	*g21b*
e00y	35.06	60.0	44.0	74.4	36	*r16j*
o25y	44.68	47.13	56.9	73.88	50	*r37j*
o50y	54.77	33.62	70.44	78.05	64	*r58j*
o75y	66.84	17.48	86.62	88.37	79	*r79j*
y00l	83.77	−5.17	109.32	109.44	93	*j01g*
y25l	70.71	−24.12	89.19	92.39	105	*j18g*
y50l	60.76	−38.55	73.86	83.32	118	*j36g*
y75l	52.23	−50.92	60.72	79.25	130	*j53g*
l00c	44.13	−62.67	48.24	79.09	142	*j71g*
l50c	49.64	−41.0	−3.61	41.16	185	*g21b*
c00c	52.66	−29.14	−31.99	43.27	228	*g60b*
c50c	38.87	−0.69	−41.67	41.68	269	*g97b*
v00m	14.15	50.3	−59.04	77.57	310	*b34r*
v50m	25.2	63.79	−46.89	79.17	324	*b45r*
m00o	37.37	78.64	−33.5	85.48	337	*b57r*
m50o	36.13	68.67	7.94	69.13	7	*b83r*

Ein und Ausgabe: Farbmetrisches Drucker-Reflektiv-System FRS09_92, L*=09_92 für relativen CIELAB-Buntton h^* = lab^*h^* = h_{ab}/360 = 0.018 u^*_d = b75r

Daten für jede Farbe:
lab**ich und ***lab**icu***
Buntontexte:
u^*_d = *m50o* u^*_e = *b83r*
Kontrastreduzierungsfaktor:
c_R = **1.0**
Dreiecks-Helligkeit *i**

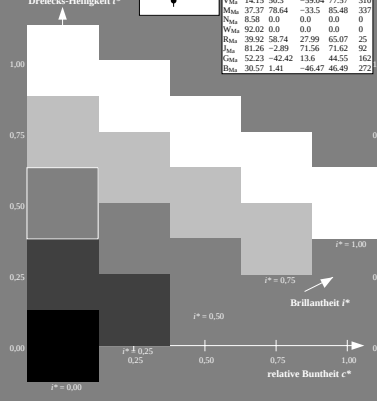

Daten für Maximalfarbe (Ma):
LAB*LAB*$_{Ma}$: **36 69 8**
LAB*LCH*$_{Ma}$: **36 69 6**
lab*olv*$_{Ma}$: **1.0 0.0 0.5**
lab*rgb*$_{Ma}$: **1.0 0.0 0.33**
Dreiecks-Helligkeit *i**

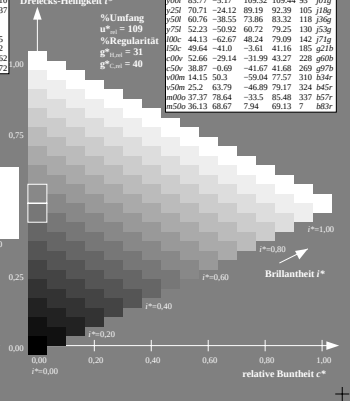

FRS09_92a; adaptierte CIELAB-Daten

u^*_d	$L^*_{ab,d}$	a^*_d	b^*_d	$C^*_{ab,d}$	$h^*_{ab,d}$	u^*_d
O_{Ma}	35.06	60.0	44.0	74.4	36	*r16j*
Y_{Ma}	83.77	−5.17	109.32	109.44	93	*r37j*
L_{Ma}	44.13	−62.67	48.24	79.09	142	*r58j*
C_{Ma}	52.66	−29.14	−31.99	43.27	228	*r79j*
V_{Ma}	14.15	50.3	−59.04	77.57	310	*j01g*
M_{Ma}	37.37	78.64	−33.5	85.48	337	*j18g*
N_{Ma}	8.58	0.0	0.0	0.0	0	
W_{Ma}	92.02	0.0	0.0	0.0	0	
R_{Ma}	39.92	58.74	27.99	65.07	25

Ein und Ausgabe: Farbmetrisches Drucker-Reflektiv-System FRS09_92, L*=09_92 für relativen CIELAB-Buntton $h^* = lab^*h^* = h_{ab}/360 = 0.396$ $u^*_d = g00b$

Daten für jede Farbe:
lab*tch und ***lab*icu****
Buntttextete:
$u^*_d = l00c$ $u^*_e = j71g$
Kontrastreduzierungsfaktor:
$c_R = 1.0$
Dreiecks-Helligkeit t^*

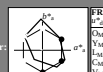

Daten für Maximalfarbe (Ma):
$LAB^*LAB^*_{Ma}$: 44 −63 48
$LAB^*LCH^*_{Ma}$: 44 79 142
$lab^*olv^*_{Ma}$: 0.0 1.0 0.0
$lab^*rgb^*_{Ma}$: 0.28 1.0 0.0

FRS09_92a; adaptierte CIELAB-Daten

n^*_d	L^*_{CIE}	a^*_d	b^*_d	$C^*_{ab,d}$	$h^*_{ab,d}$
O_{Ma}	35.06	60.0	44.0	74.4	36
Y_{Ma}	83.77	−5.17	109.32	109.44	93
L^*_{Ma}	44.13	−62.67	48.24	79.09	142
C^*_{Ma}	52.66	−29.14	−31.99	43.27	228
V_{Ma}	14.15	50.3	−59.04	77.57	310
M^*_{Ma}	37.37	78.64	−33.5	85.48	337
N_{Ma}	8.58	0.0	0.0	0.0	0
W_{Ma}	92.02	0.0	0.0	0.0	0
R_{Ma}	39.92	58.74	27.99	65.07	25
J_{Ma}	81.26	−2.89	71.56	71.62	92
C_{Ma}	52.23	−42.42	13.6	44.55	162
B_{Ma}	30.57	1.41	−46.47	46.49	272

FRS09_92a; adaptierte CIELAB-Daten

n^*_d	L^*_{CIE}	a^*_d	b^*_d	$C^*_{ab,d}$	$h^*_{ab,d}$	u^*_d
$o_{00}y$	35.06	60.0	44.0	74.4	36	*r16j*
$o_{25}y$	44.68	47.13	56.9	73.88	50	*r37j*
$o_{50}y$	54.77	33.62	70.44	78.05	64	*r58j*
$o_{75}y$	66.84	17.48	86.62	88.37	79	*r79j*
$y_{00}0$	83.77	−5.17	109.32	109.44	93	*j01g*
$y_{25}l$	70.71	−24.12	89.19	92.39	105	*j18g*
$y_{50}l$	60.76	−38.55	73.86	83.32	118	*j36g*
$y_{75}l$	52.23	−50.92	60.72	79.25	130	*j53g*
$l_{00}c$	44.13	−62.67	48.24	79.09	142	*j71g*
$l_{50}c$	49.64	−41.0	−3.61	41.16	185	*g21b*
$c_{00}v$	52.66	−29.14	−31.99	43.27	228	*g60b*
$c_{50}v$	38.87	−0.69	−41.67	41.68	269	*g97b*
$v_{00}m$	14.15	50.3	−59.04	77.57	310	*b34r*
$v_{50}m$	25.2	63.79	−46.89	79.17	324	*b45r*
$m_{00}o$	37.37	78.64	−33.5	85.48	337	*b57r*
$m_{50}o$	36.13	68.67	7.94	69.13	7	*b83r*

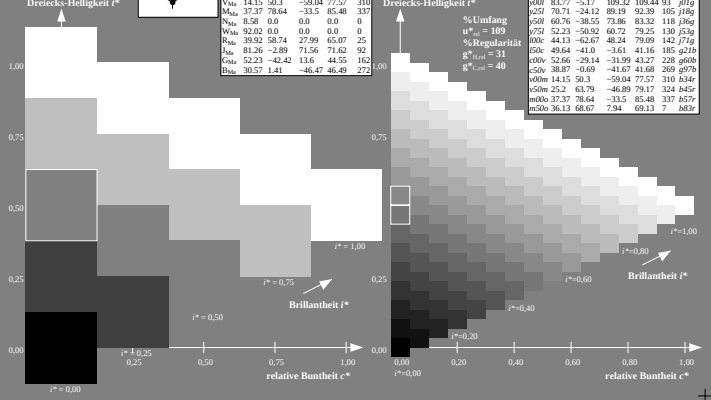

Ein und Ausgabe: Farbmetrisches Drucker-Reflektiv-System FRS09_92, L*=09_92 für relativen CIELAB-Buntton $h^* = lab^*h^* = h_{ab}/360 = 0.514$ $u^*_d = g25b$

Daten für jede Farbe:
lab*tch und ***lab*icu****
Buntttextete:
$u^*_d = l50c$ $u^*_e = g21b$
Kontrastreduzierungsfaktor:
$c_R = 1.0$
Dreiecks-Helligkeit t^*

Daten für Maximalfarbe (Ma):
$LAB^*LAB^*_{Ma}$: 50 −41 −4
$LAB^*LCH^*_{Ma}$: 50 41 185
$lab^*olv^*_{Ma}$: 0.0 1.0 0.5
$lab^*rgb^*_{Ma}$: 0.0 1.0 0.42

FRS09_92a; adaptierte CIELAB-Daten

n^*_d	L^*_{CIE}	a^*_d	b^*_d	$C^*_{ab,d}$	$h^*_{ab,d}$
O_{Ma}	35.06	60.0	44.0	74.4	36
Y_{Ma}	83.77	−5.17	109.32	109.44	93
L^*_{Ma}	44.13	−62.67	48.24	79.09	142
C^*_{Ma}	52.66	−29.14	−31.99	43.27	228
V_{Ma}	14.15	50.3	−59.04	77.57	310
M^*_{Ma}	37.37	78.64	−33.5	85.48	337
N_{Ma}	8.58	0.0	0.0	0.0	0
W_{Ma}	92.02	0.0	0.0	0.0	0
R_{Ma}	39.92	58.74	27.99	65.07	25
J_{Ma}	81.26	−2.89	71.56	71.62	92
C_{Ma}	52.23	−42.42	13.6	44.55	162
B_{Ma}	30.57	1.41	−46.47	46.49	272

FRS09_92a; adaptierte CIELAB-Daten

n^*_d	L^*_{CIE}	a^*_d	b^*_d	$C^*_{ab,d}$	$h^*_{ab,d}$	u^*_d
$o_{00}y$	35.06	60.0	44.0	74.4	36	*r16j*
$o_{25}y$	44.68	47.13	56.9	73.88	50	*r37j*
$o_{50}y$	54.77	33.62	70.44	78.05	64	*r58j*
$o_{75}y$	66.84	17.48	86.62	88.37	79	*r79j*
$y_{00}0$	83.77	−5.17	109.32	109.44	93	*j01g*
$y_{25}l$	70.71	−24.12	89.19	92.39	105	*j18g*
$y_{50}l$	60.76	−38.55	73.86	83.32	118	*j36g*
$y_{75}l$	52.23	−50.92	60.72	79.25	130	*j53g*
$l_{00}c$	44.13	−62.67	48.24	79.09	142	*j71g*
$l_{50}c$	49.64	−41.0	−3.61	41.16	185	*g21b*
$c_{00}v$	52.66	−29.14	−31.99	43.27	228	*g60b*
$c_{50}v$	38.87	−0.69	−41.67	41.68	269	*g97b*
$v_{00}m$	14.15	50.3	−59.04	77.57	310	*b34r*
$v_{50}m$	25.2	63.79	−46.89	79.17	324	*b45r*
$m_{00}o$	37.37	78.64	−33.5	85.48	337	*b57r*
$m_{50}o$	36.13	68.67	7.94	69.13	7	*b83r*

Ein und Ausgabe: Farbmetrisches Drucker-Reflektiv-System FRS09_92, L*=09_92 für relativen CIELAB-Buntton $h^* = lab^*h^* = h_{ab}/360 = 0.632$ $u^*_d = g50b$

Daten für jede Farbe:
lab*tch und ***lab*icu****
Buntttextete:
$u^*_d = c00v$ $u^*_e = g60b$
Kontrastreduzierungsfaktor:
$c_R = 1.0$
Dreiecks-Helligkeit t^*

Daten für Maximalfarbe (Ma):
$LAB^*LAB^*_{Ma}$: 53 −29 −32
$LAB^*LCH^*_{Ma}$: 53 43 227
$lab^*olv^*_{Ma}$: 0.0 1.0 1.0
$lab^*rgb^*_{Ma}$: 0.0 0.8 1.0

FRS09_92a; adaptierte CIELAB-Daten

n^*_d	L^*_{CIE}	a^*_d	b^*_d	$C^*_{ab,d}$	$h^*_{ab,d}$
O_{Ma}	35.06	60.0	44.0	74.4	36
Y_{Ma}	83.77	−5.17	109.32	109.44	93
L^*_{Ma}	44.13	−62.67	48.24	79.09	142
C^*_{Ma}	52.66	−29.14	−31.99	43.27	228
V_{Ma}	14.15	50.3	−59.04	77.57	310
M^*_{Ma}	37.37	78.64	−33.5	85.48	337
N_{Ma}	8.58	0.0	0.0	0.0	0
W_{Ma}	92.02	0.0	0.0	0.0	0
R_{Ma}	39.92	58.74	27.99	65.07	25
J_{Ma}	81.26	−2.89	71.56	71.62	92
C_{Ma}	52.23	−42.42	13.6	44.55	162
B_{Ma}	30.57	1.41	−46.47	46.49	272

FRS09_92a; adaptierte CIELAB-Daten

n^*_d	L^*_{CIE}	a^*_d	b^*_d	$C^*_{ab,d}$	$h^*_{ab,d}$	u^*_d
$o_{00}y$	35.06	60.0	44.0	74.4	36	*r16j*
$o_{25}y$	44.68	47.13	56.9	73.88	50	*r37j*
$o_{50}y$	54.77	33.62	70.44	78.05	64	*r58j*
$o_{75}y$	66.84	17.48	86.62	88.37	79	*r79j*
$y_{00}0$	83.77	−5.17	109.32	109.44	93	*j01g*
$y_{25}l$	70.71	−24.12	89.19	92.39	105	*j18g*
$y_{50}l$	60.76	−38.55	73.86	83.32	118	*j36g*
$y_{75}l$	52.23	−50.92	60.72	79.25	130	*j53g*
$l_{00}c$	44.13	−62.67	48.24	79.09	142	*j71g*
$l_{50}c$	49.64	−41.0	−3.61	41.16	185	*g21b*
$c_{00}v$	52.66	−29.14	−31.99	43.27	228	*g60b*
$c_{50}v$	38.87	−0.69	−41.67	41.68	269	*g97b*
$v_{00}m$	14.15	50.3	−59.04	77.57	310	*b34r*
$v_{50}m$	25.2	63.79	−46.89	79.17	324	*b45r*
$m_{00}o$	37.37	78.64	−33.5	85.48	337	*b57r*
$m_{50}o$	36.13	68.67	7.94	69.13	7	*b83r*

Ein und Ausgabe: Farbmetrisches Drucker-Reflektiv-System FRS09_92, L*=09_92 für relativen CIELAB-Buntton $h^* = lab^*h^* = h_{ab}/360 = 0.747$ $u^*_d = g75b$

Daten für jede Farbe:
lab*tch und ***lab*icu****
Buntttextete:
$u^*_d = c50v$ $u^*_e = g97b$
Kontrastreduzierungsfaktor:
$c_R = 1.0$
Dreiecks-Helligkeit t^*

Daten für Maximalfarbe (Ma):
$LAB^*LAB^*_{Ma}$: 39 −1 −42
$LAB^*LCH^*_{Ma}$: 39 42 269
$lab^*olv^*_{Ma}$: 0.0 0.5 1.0
$lab^*rgb^*_{Ma}$: 0.0 0.05 1.0

FRS09_92a; adaptierte CIELAB-Daten

n^*_d	L^*_{CIE}	a^*_d	b^*_d	$C^*_{ab,d}$	$h^*_{ab,d}$
O_{Ma}	35.06	60.0	44.0	74.4	36
Y_{Ma}	83.77	−5.17	109.32	109.44	93
L^*_{Ma}	44.13	−62.67	48.24	79.09	142
C^*_{Ma}	52.66	−29.14	−31.99	43.27	228
V_{Ma}	14.15	50.3	−59.04	77.57	310
M^*_{Ma}	37.37	78.64	−33.5	85.48	337
N_{Ma}	8.58	0.0	0.0	0.0	0
W_{Ma}	92.02	0.0	0.0	0.0	0
R_{Ma}	39.92	58.74	27.99	65.07	25
J_{Ma}	81.26	−2.89	71.56	71.62	92
C_{Ma}	52.23	−42.42	13.6	44.55	162
B_{Ma}	30.57	1.41	−46.47	46.49	272

FRS09_92a; adaptierte CIELAB-Daten

n^*_d	L^*_{CIE}	a^*_d	b^*_d	$C^*_{ab,d}$	$h^*_{ab,d}$	u^*_d
$o_{00}y$	35.06	60.0	44.0	74.4	36	*r16j*
$o_{25}y$	44.68	47.13	56.9	73.88	50	*r37j*
$o_{50}y$	54.77	33.62	70.44	78.05	64	*r58j*
$o_{75}y$	66.84	17.48	86.62	88.37	79	*r79j*
$y_{00}0$	83.77	−5.17	109.32	109.44	93	*j01g*
$y_{25}l$	70.71	−24.12	89.19	92.39	105	*j18g*
$y_{50}l$	60.76	−38.55	73.86	83.32	118	*j36g*
$y_{75}l$	52.23	−50.92	60.72	79.25	130	*j53g*
$l_{00}c$	44.13	−62.67	48.24	79.09	142	*j71g*
$l_{50}c$	49.64	−41.0	−3.61	41.16	185	*g21b*
$c_{00}v$	52.66	−29.14	−31.99	43.27	228	*g60b*
$c_{50}v$	38.87	−0.69	−41.67	41.68	269	*g97b*
$v_{00}m$	14.15	50.3	−59.04	77.57	310	*b34r*
$v_{50}m$	25.2	63.79	−46.89	79.17	324	*b45r*
$m_{00}o$	37.37	78.64	−33.5	85.48	337	*b57r*
$m_{50}o$	36.13	68.67	7.94	69.13	7	*b83r*

Ein und Ausgabe: Farbmetrisches Drucker-Reflektiv-System FRS09_92, L*=09_92 für relativen CIELAB-Buntton $h^* = lab^*h^* = h_{ab}/360 = 0.862$ $u^*_d = b00r$

Daten für jede Farbe:
lab*tch und ***lab*icu****
Buntttextete:
$u^*_d = v00m$ $u^*_e = b34r$
Kontrastreduzierungsfaktor:
$c_R = 1.0$
Dreiecks-Helligkeit t^*

Daten für Maximalfarbe (Ma):
$LAB^*LAB^*_{Ma}$: 14 50 −59
$LAB^*LCH^*_{Ma}$: 14 78 310
$lab^*olv^*_{Ma}$: 0.0 0.0 1.0
$lab^*rgb^*_{Ma}$: 0.68 0.0 1.0

FRS09_92a; adaptierte CIELAB-Daten

n^*_d	L^*_{CIE}	a^*_d	b^*_d	$C^*_{ab,d}$	$h^*_{ab,d}$
O_{Ma}	35.06	60.0	44.0	74.4	36
Y_{Ma}	83.77	−5.17	109.32	109.44	93
L^*_{Ma}	44.13	−62.67	48.24	79.09	142
C^*_{Ma}	52.66	−29.14	−31.99	43.27	228
V_{Ma}	14.15	50.3	−59.04	77.57	310
M^*_{Ma}	37.37	78.64	−33.5	85.48	337
N_{Ma}	8.58	0.0	0.0	0.0	0
W_{Ma}	92.02	0.0	0.0	0.0	0
R_{Ma}	39.92	58.74	27.99	65.07	25
J_{Ma}	81.26	−2.89	71.56	71.62	92
C_{Ma}	52.23	−42.42	13.6	44.55	162
B_{Ma}	30.57	1.41	−46.47	46.49	272

FRS09_92a; adaptierte CIELAB-Daten

n^*_d	L^*_{CIE}	a^*_d	b^*_d	$C^*_{ab,d}$	$h^*_{ab,d}$	u^*_d
$o_{00}y$	35.06	60.0	44.0	74.4	36	*r16j*
$o_{25}y$	44.68	47.13	56.9	73.88	50	*r37j*
$o_{50}y$	54.77	33.62	70.44	78.05	64	*r58j*
$o_{75}y$	66.84	17.48	86.62	88.37	79	*r79j*
$y_{00}0$	83.77	−5.17	109.32	109.44	93	*j01g*
$y_{25}l$	70.71	−24.12	89.19	92.39	105	*j18g*
$y_{50}l$	60.76	−38.55	73.86	83.32	118	*j36g*
$y_{75}l$	52.23	−50.92	60.72	79.25	130	*j53g*
$l_{00}c$	44.13	−62.67	48.24	79.09	142	*j71g*
$l_{50}c$	49.64	−41.0	−3.61	41.16	185	*g21b*
$c_{00}v$	52.66	−29.14	−31.99	43.27	228	*g60b*
$c_{50}v$	38.87	−0.69	−41.67	41.68	269	*g97b*
$v_{00}m$	14.15	50.3	−59.04	77.57	310	*b34r*
$v_{50}m$	25.2	63.79	−46.89	79.17	324	*b45r*
$m_{00}o$	37.37	78.64	−33.5	85.48	337	*b57r*
$m_{50}o$	36.13	68.67	7.94	69.13	7	*b83r*

Ein und Ausgabe: Farbmetrisches Drucker-Reflektiv-System FRS09_92, L*=09_92 für relativen CIELAB-Buntton $h^* = lab^*h^* = h_{ab}/360 = 0.899$ $u^*_d = b25r$

Daten für jede Farbe:
lab*tch und ***lab*icu****
Buntttextete:
$u^*_d = v50m$ $u^*_e = b45r$
Kontrastreduzierungsfaktor:
$c_R = 1.0$
Dreiecks-Helligkeit t^*

Daten für Maximalfarbe (Ma):
$LAB^*LAB^*_{Ma}$: 25 64 −47
$LAB^*LCH^*_{Ma}$: 25 79 323
$lab^*olv^*_{Ma}$: 0.5 0.0 1.0
$lab^*rgb^*_{Ma}$: 0.91 0.0 1.0

FRS09_92a; adaptierte CIELAB-Daten

n^*_d	L^*_{CIE}	a^*_d	b^*_d	$C^*_{ab,d}$	$h^*_{ab,d}$
O_{Ma}	35.06	60.0	44.0	74.4	36
Y_{Ma}	83.77	−5.17	109.32	109.44	93
L^*_{Ma}	44.13	−62.67	48.24	79.09	142
C^*_{Ma}	52.66	−29.14	−31.99	43.27	228
V_{Ma}	14.15	50.3	−59.04	77.57	310
M^*_{Ma}	37.37	78.64	−33.5	85.48	337
N_{Ma}	8.58	0.0	0.0	0.0	0
W_{Ma}	92.02	0.0	0.0	0.0	0
R_{Ma}	39.92	58.74	27.99	65.07	25
J_{Ma}	81.26	−2.89	71.56	71.62	92
C_{Ma}	52.23	−42.42	13.6	44.55	162
B_{Ma}	30.57	1.41	−46.47	46.49	272

FRS09_92a; adaptierte CIELAB-Daten

n^*_d	L^*_{CIE}	a^*_d	b^*_d	$C^*_{ab,d}$	$h^*_{ab,d}$	u^*_d
$o_{00}y$	35.06	60.0	44.0	74.4	36	*r16j*
$o_{25}y$	44.68	47.13	56.9	73.88	50	*r37j*
$o_{50}y$	54.77	33.62	70.44	78.05	64	*r58j*
$o_{75}y$	66.84	17.48	86.62	88.37	79	*r79j*
$y_{00}0$	83.77	−5.17	109.32	109.44	93	*j01g*
$y_{25}l$	70.71	−24.12	89.19	92.39	105	*j18g*
$y_{50}l$	60.76	−38.55	73.86	83.32	118	*j36g*
$y_{75}l$	52.23	−50.92	60.72	79.25	130	*j53g*
$l_{00}c$	44.13	−62.67	48.24	79.09	142	*j71g*
$l_{50}c$	49.64	−41.0	−3.61	41.16	185	*g21b*
$c_{00}v$	52.66	−29.14	−31.99	43.27	228	*g60b*
$c_{50}v$	38.87	−0.69	−41.67	41.68	269	*g97b*
$v_{00}m$	14.15	50.3	−59.04	77.57	310	*b34r*
$v_{50}m$	25.2	63.79	−46.89	79.17	324	*b45r*
$m_{00}o$	37.37	78.64	−33.5	85.48	337	*b57r*
$m_{50}o$	36.13	68.67	7.94	69.13	7	*b83r*

Ein und Ausgabe: Farbmetrisches Drucker-Reflektiv-System FRS09_92, L*=09_92 für relativen CIELAB-Buntton $h^* = lab^*h^* = h_{ab}/360 = 0.936$ $u^*_d = b50r$

Daten für jede Farbe:
lab*tch und ***lab*icu****
Buntttextete:
$u^*_d = m00o$ $u^*_e = b57r$
Kontrastreduzierungsfaktor:
$c_R = 1.0$
Dreiecks-Helligkeit t^*

Daten für Maximalfarbe (Ma):
$LAB^*LAB^*_{Ma}$: 37 79 −34
$LAB^*LCH^*_{Ma}$: 37 85 336
$lab^*olv^*_{Ma}$: 1.0 0.0 1.0
$lab^*rgb^*_{Ma}$: 1.0 0.0 0.85

FRS09_92a; adaptierte CIELAB-Daten

n^*_d	L^*_{CIE}	a^*_d	b^*_d	$C^*_{ab,d}$	$h^*_{ab,d}$
O_{Ma}	35.06	60.0	44.0	74.4	36
Y_{Ma}	83.77	−5.17	109.32	109.44	93
L^*_{Ma}	44.13	−62.67	48.24	79.09	142
C^*_{Ma}	52.66	−29.14	−31.99	43.27	228
V_{Ma}	14.15	50.3	−59.04	77.57	310
M^*_{Ma}	37.37	78.64	−33.5	85.48	337
N_{Ma}	8.58	0.0	0.0	0.0	0
W_{Ma}	92.02	0.0	0.0	0.0	0
R_{Ma}	39.92	58.74	27.99	65.07	25
J_{Ma}	81.26	−2.89	71.56	71.62	92
C_{Ma}	52.23	−42.42	13.6	44.55	162
B_{Ma}	30.57	1.41	−46.47	46.49	272

FRS09_92a; adaptierte CIELAB-Daten

n^*_d	L^*_{CIE}	a^*_d	b^*_d	$C^*_{ab,d}$	$h^*_{ab,d}$	u^*_d
$o_{00}y$	35.06	60.0	44.0	74.4	36	*r16j*
$o_{25}y$	44.68	47.13	56.9	73.88	50	*r37j*
$o_{50}y$	54.77	33.62	70.44	78.05	64	*r58j*
$o_{75}y$	66.84	17.48	86.62	88.37	79	*r79j*
$y_{00}0$	83.77	−5.17	109.32	109.44	93	*j01g*
$y_{25}l$	70.71	−24.12	89.19	92.39	105	*j18g*
$y_{50}l$	60.76	−38.55	73.86	83.32	118	*j36g*
$y_{75}l$	52.23	−50.92	60.72	79.25	130	*j53g*
$l_{00}c$	44.13	−62.67	48.24	79.09	142	*j71g*
$l_{50}c$	49.64	−41.0	−3.61	41.16	185	*g21b*
$c_{00}v$	52.66	−29.14	−31.99	43.27	228	*g60b*
$c_{50}v$	38.87	−0.69	−41.67	41.68	269	*g97b*
$v_{00}m$	14.15	50.3	−59.04	77.57	310	*b34r*
$v_{50}m$	25.2	63.79	−46.89	79.17	324	*b45r*
$m_{00}o$	37.37	78.64	−33.5	85.48	337	*b57r*
$m_{50}o$	36.13	68.67	7.94	69.13	7	*b83r*

Ein und Ausgabe: Farbmetrisches Drucker-Reflektiv-System FRS09_92, L*=09_92 für relativen CIELAB-Buntton $h^* = lab^*h^* = h_{ab}/360 = 0.018$ $u^*_d = b75r$

Daten für jede Farbe:
lab*tch und ***lab*icu****
Buntttextete:
$u^*_d = m50o$ $u^*_e = b83r$
Kontrastreduzierungsfaktor:
$c_R = 1.0$
Dreiecks-Helligkeit t^*

Daten für Maximalfarbe (Ma):
$LAB^*LAB^*_{Ma}$: 36 69 8
$LAB^*LCH^*_{Ma}$: 36 69 6
$lab^*olv^*_{Ma}$: 1.0 0.0 0.5
$lab^*rgb^*_{Ma}$: 1.0 0.0 0.33

FRS09_92a; adaptierte CIELAB-Daten

n^*_d	L^*_{CIE}	a^*_d	b^*_d	$C^*_{ab,d}$	$h^*_{ab,d}$
O_{Ma}	35.06	60.0	44.0	74.4	36
Y_{Ma}	83.77	−5.17	109.32	109.44	93
L^*_{Ma}	44.13	−62.67	48.24	79.09	142
C^*_{Ma}	52.66	−29.14	−31.99	43.27	228
V_{Ma}	14.15	50.3	−59.04	77.57	310
M^*_{Ma}	37.37	78.64	−33.5	85.48	337
N_{Ma}	8.58	0.0	0.0	0.0	0
W_{Ma}	92.02	0.0	0.0	0.0	0
R_{Ma}	39.92	58.74	27.99	65.07	25
J_{Ma}	81.26	−2.89	71.56	71.62	92
C_{Ma}	52.23	−42.42	13.6	44.55	162
B_{Ma}	30.57	1.41	−46.47	46.49	272

FRS09_92a; adaptierte CIELAB-Daten

n^*_d	L^*_{CIE}	a^*_d	b^*_d	$C^*_{ab,d}$	$h^*_{ab,d}$	u^*_d
$o_{00}y$	35.06	60.0	44.0	74.4	36	*r16j*
$o_{25}y$	44.68	47.13	56.9	73.88	50	*r37j*
$o_{50}y$	54.77	33.62	70.44	78.05	64	*r58j*
$o_{75}y$	66.84	17.48	86.62	88.37	79	*r79j*
$y_{00}0$	83.77	−5.17	109.32	109.44	93	*j01g*
$y_{25}l$	70.71	−24.12	89.19	92.39	105	*j18g*
$y_{50}l$	60.76	−38.55	73.86	83.32	118	*j36g*
$y_{75}l$	52.23	−50.92	60.72	79.25	130	*j53g*
$l_{00}c$	44.13	−62.67	48.24	79.09	142	*j71g*
$l_{50}c$	49.64	−41.0	−3.61	41.16	185	*g21b*
$c_{00}v$	52.66	−29.14	−31.99	43.27	228	*g60b*
$c_{50}v$	38.87	−0.69	−41.67	41.68	269	*g97b*
$v_{00}m$	14.15	50.3	−59.04	77.57	310	*b34r*
$v_{50}m$	25.2	63.79	−46.89	79.17	324	*b45r*
$m_{00}o$	37.37	78.64	−33.5	85.48	337	*b57r*
$m_{50}o$	36.13	68.67	7.94	69.13	7	*b83r*

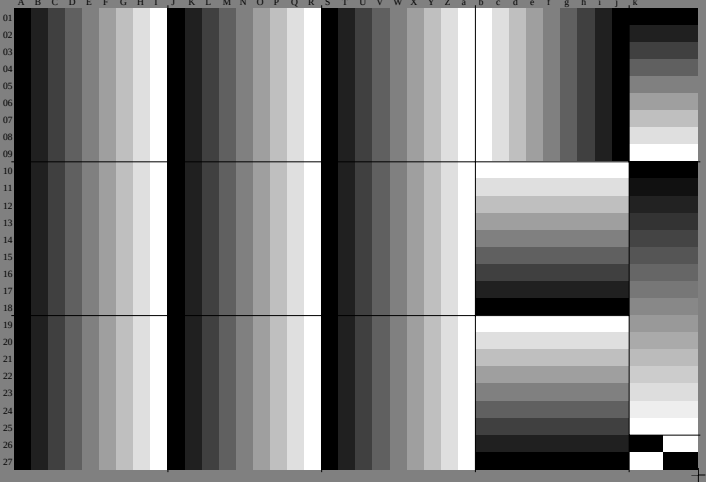
A B C D E F G H I

Ein und Ausgabe: Farbmetrisches Drucker-Reflektiv-System FRS09_92, L*=09_92 für relativen CIELAB-Buntton $h^* = lab^*h^* = h_{ab}/360 = 0.396$ $u^*_d = g00b$

Daten für jede Farbe:
*lab*tch** und *lab*icu**
Bunttontexte:
$u^*_d = l00c$ $u^*_e = j71g$
Kontrastreduzierungsfaktor:
$c_R = 1.0$
Dreiecks-Helligkeit t^*

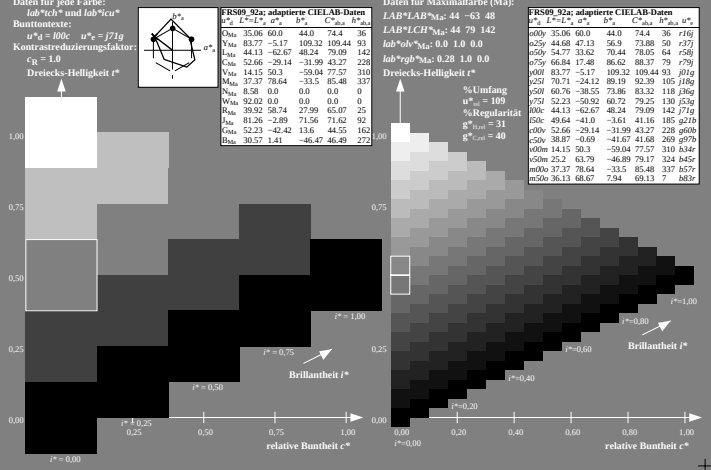

FRS09_92a; adaptierte CIELAB-Daten

	$L^*=L^*_a$	a^*_a	b^*_a	$C^*_{ab,a}$	$h^*_{ab,a}$
O_{Max}	35.06	60.0	44.0	74.4	36
Y_{Mt}	83.77	−5.17	109.32	109.44	93
L_{Mt}	44.13	−62.67	48.24	79.09	142
C_{Mt}	52.66	−29.14	−31.99	43.27	228
V_{Mt}	14.15	50.3	−59.04	77.57	310
M_{Mt}	37.37	78.64	−33.5	85.48	337
N_{Mt}	8.58	0.0	0.0	0.0	0
W_{Mt}	92.02	0.0	0.0	0.0	0
R_{Mt}	39.92	58.74	27.99	65.07	25
J_{Mt}	81.26	−2.89	71.56	71.62	92
G_{Mt}	52.23	−42.42	13.6	44.55	162
B_{Mt}	30.57	1.41	−46.47	46.49	272

Daten für Maximalfarbe (Ma):
*LAB*LAB**$_{Ma}$: 44 −63 48
*LAB*LCH**$_{Ma}$: 44 79 142
*lab*olv**$_{Ma}$: 0.0 1.0 0.0
*lab*rgb**$_{Ma}$: 0.28 1.0 0.0
Dreiecks-Helligkeit t^*

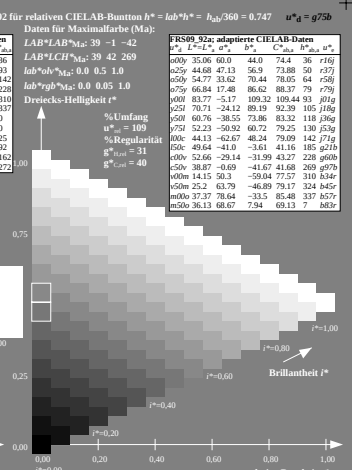

FRS09_92a; adaptierte CIELAB-Daten

	$L^*=L^*_a$	a^*_a	b^*_a	$C^*_{ab,a}$	$h^*_{ab,a}$	u^*_a
o00y	35.06	60.0	44.0	74.4	36	r16j
o25y	44.68	47.13	56.9	73.88	50	r37j
o50y	54.77	33.62	70.44	78.05	64	r58j
o75y	66.84	17.48	86.62	88.37	79	r79j
y00l	83.77	−5.17	109.32	109.44	93	j01g
y25l	70.71	−24.12	89.19	92.39	105	j18g
y50l	60.76	−38.55	73.86	83.32	118	j36g
y75l	52.23	−50.92	60.72	79.25	130	j53g
l00c	44.13	−62.67	48.24	79.09	142	j71g
l50c	49.64	−41.0	−3.61	41.16	185	g21b
c00c	52.66	−29.14	−31.99	43.27	228	g60b
c50v	38.87	−0.69	−41.67	41.68	269	g97b
v00m	14.15	50.3	−59.04	77.57	310	b34r
v50m	25.2	63.79	−46.89	79.17	324	b45r
m00o	37.37	78.64	−33.5	85.48	337	b57r
m50o	36.13	68.67	7.94	69.13	7	b83r

Ein und Ausgabe: Farbmetrisches Drucker-Reflektiv-System FRS09_92, L*=09_92 für relativen CIELAB-Buntton $h^* = lab^*h^* = h_{ab}/360 = 0.514$ $u^*_d = g25b$

Daten für jede Farbe:
*lab*tch** und *lab*icu**
Bunttontexte:
$u^*_d = l50c$ $u^*_e = g21b$
Kontrastreduzierungsfaktor:
$c_R = 1.0$
Dreiecks-Helligkeit t^*

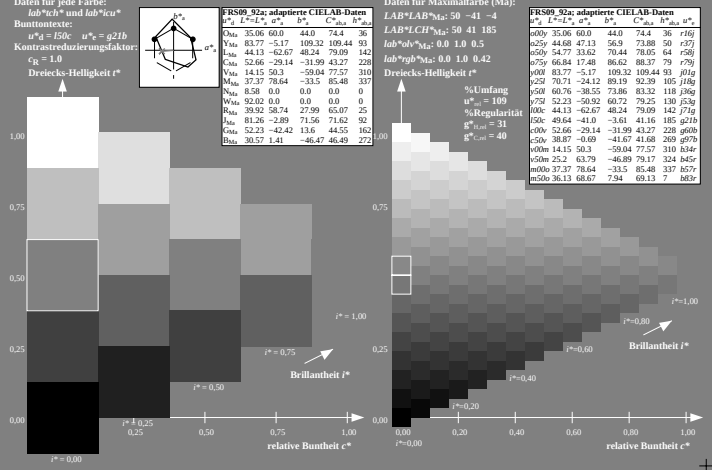

FRS09_92a; adaptierte CIELAB-Daten

	$L^*=L^*_a$	a^*_a	b^*_a	$C^*_{ab,a}$	$h^*_{ab,a}$
O_{Max}	35.06	60.0	44.0	74.4	36
Y_{Mt}	83.77	−5.17	109.32	109.44	93
L_{Mt}	44.13	−62.67	48.24	79.09	142
C_{Mt}	52.66	−29.14	−31.99	43.27	228
V_{Mt}	14.15	50.3	−59.04	77.57	310
M_{Mt}	37.37	78.64	−33.5	85.48	337
N_{Mt}	8.58	0.0	0.0	0.0	0
W_{Mt}	92.02	0.0	0.0	0.0	0
R_{Mt}	39.92	58.74	27.99	65.07	25
J_{Mt}	81.26	−2.89	71.56	71.62	92
G_{Mt}	52.23	−42.42	13.6	44.55	162
B_{Mt}	30.57	1.41	−46.47	46.49	272

Daten für Maximalfarbe (Ma):
*LAB*LAB**$_{Ma}$: 50 −41 −4
*LAB*LCH**$_{Ma}$: 50 41 185
*lab*olv**$_{Ma}$: 0.0 1.0 0.5
*lab*rgb**$_{Ma}$: 0.0 1.0 0.42
Dreiecks-Helligkeit t^*

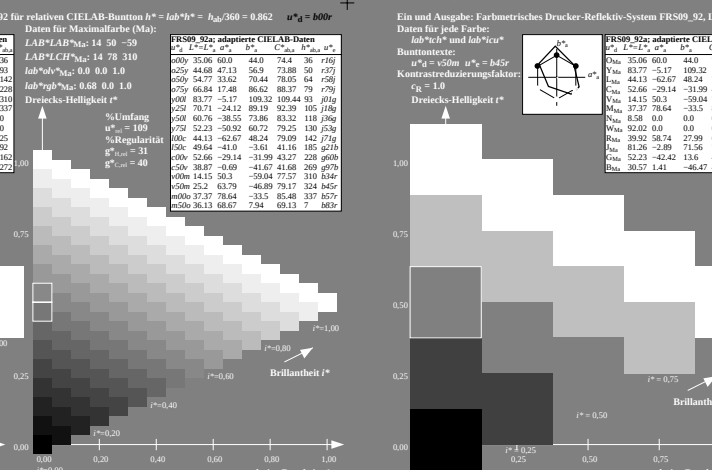

FRS09_92a; adaptierte CIELAB-Daten

	$L^*=L^*_a$	a^*_a	b^*_a	$C^*_{ab,a}$	$h^*_{ab,a}$	u^*_a
o00y	35.06	60.0	44.0	74.4	36	r16j
o25y	44.68	47.13	56.9	73.88	50	r37j
o50y	54.77	33.62	70.44	78.05	64	r58j
o75y	66.84	17.48	86.62	88.37	79	r79j
y00l	83.77	−5.17	109.32	109.44	93	j01g
y25l	70.71	−24.12	89.19	92.39	105	j18g
y50l	60.76	−38.55	73.86	83.32	118	j36g
y75l	52.23	−50.92	60.72	79.25	130	j53g
l00c	44.13	−62.67	48.24	79.09	142	j71g
l50c	49.64	−41.0	−3.61	41.16	185	g21b
c00c	52.66	−29.14	−31.99	43.27	228	g60b
c50v	38.87	−0.69	−41.67	41.68	269	g97b
v00m	14.15	50.3	−59.04	77.57	310	b34r
v50m	25.2	63.79	−46.89	79.17	324	b45r
m00o	37.37	78.64	−33.5	85.48	337	b57r
m50o	36.13	68.67	7.94	69.13	7	b83r

Ein und Ausgabe: Farbmetrisches Drucker-Reflektiv-System FRS09_92, L*=09_92 für relativen CIELAB-Buntton $h^* = lab^*h^* = h_{ab}/360 = 0.632$ $u^*_d = g50b$

Daten für jede Farbe:
*lab*tch** und *lab*icu**
Bunttontexte:
$u^*_d = c00v$ $u^*_e = g60b$
Kontrastreduzierungsfaktor:
$c_R = 1.0$
Dreiecks-Helligkeit t^*

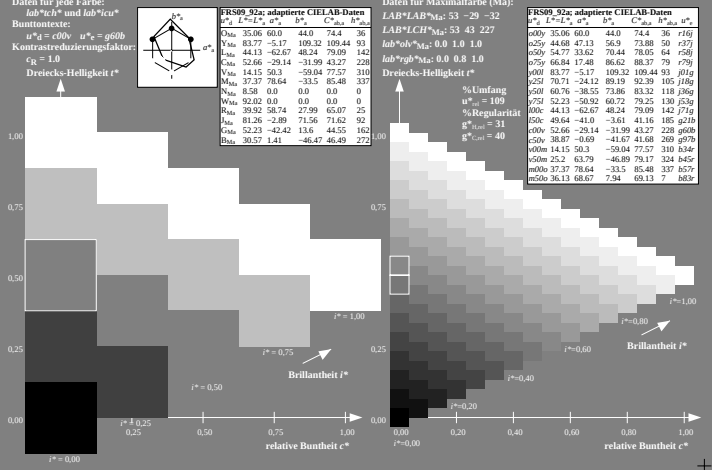

FRS09_92a; adaptierte CIELAB-Daten

	$L^*=L^*_a$	a^*_a	b^*_a	$C^*_{ab,a}$	$h^*_{ab,a}$
O_{Max}	35.06	60.0	44.0	74.4	36
Y_{Mt}	83.77	−5.17	109.32	109.44	93
L_{Mt}	44.13	−62.67	48.24	79.09	142
C_{Mt}	52.66	−29.14	−31.99	43.27	228
V_{Mt}	14.15	50.3	−59.04	77.57	310
M_{Mt}	37.37	78.64	−33.5	85.48	337
N_{Mt}	8.58	0.0	0.0	0.0	0
W_{Mt}	92.02	0.0	0.0	0.0	0
R_{Mt}	39.92	58.74	27.99	65.07	25
J_{Mt}	81.26	−2.89	71.56	71.62	92
G_{Mt}	52.23	−42.42	13.6	44.55	162
B_{Mt}	30.57	1.41	−46.47	46.49	272

Daten für Maximalfarbe (Ma):
*LAB*LAB**$_{Ma}$: 53 −29 −32
*LAB*LCH**$_{Ma}$: 53 43 227
*lab*olv**$_{Ma}$: 0.0 1.0 1.0
*lab*rgb**$_{Ma}$: 0.0 0.8 1.0
Dreiecks-Helligkeit t^*

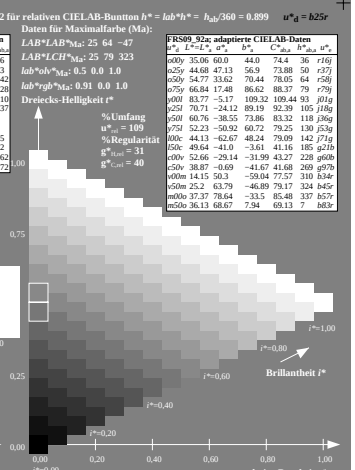

FRS09_92a; adaptierte CIELAB-Daten

	$L^*=L^*_a$	a^*_a	b^*_a	$C^*_{ab,a}$	$h^*_{ab,a}$	u^*_a
o00y	35.06	60.0	44.0	74.4	36	r16j
o25y	44.68	47.13	56.9	73.88	50	r37j
o50y	54.77	33.62	70.44	78.05	64	r58j
o75y	66.84	17.48	86.62	88.37	79	r79j
y00l	83.77	−5.17	109.32	109.44	93	j01g
y25l	70.71	−24.12	89.19	92.39	105	j18g
y50l	60.76	−38.55	73.86	83.32	118	j36g
y75l	52.23	−50.92	60.72	79.25	130	j53g
l00c	44.13	−62.67	48.24	79.09	142	j71g
l50c	49.64	−41.0	−3.61	41.16	185	g21b
c00c	52.66	−29.14	−31.99	43.27	228	g60b
c50v	38.87	−0.69	−41.67	41.68	269	g97b
v00m	14.15	50.3	−59.04	77.57	310	b34r
v50m	25.2	63.79	−46.89	79.17	324	b45r
m00o	37.37	78.64	−33.5	85.48	337	b57r
m50o	36.13	68.67	7.94	69.13	7	b83r

Ein und Ausgabe: Farbmetrisches Drucker-Reflektiv-System FRS09_92, L*=09_92 für relativen CIELAB-Buntton $h^* = lab^*h^* = h_{ab}/360 = 0.747$ $u^*_d = g75b$

Daten für jede Farbe:
*lab*tch** und *lab*icu**
Bunttontexte:
$u^*_d = c50v$ $u^*_e = g97b$
Kontrastreduzierungsfaktor:
$c_R = 1.0$
Dreiecks-Helligkeit t^*

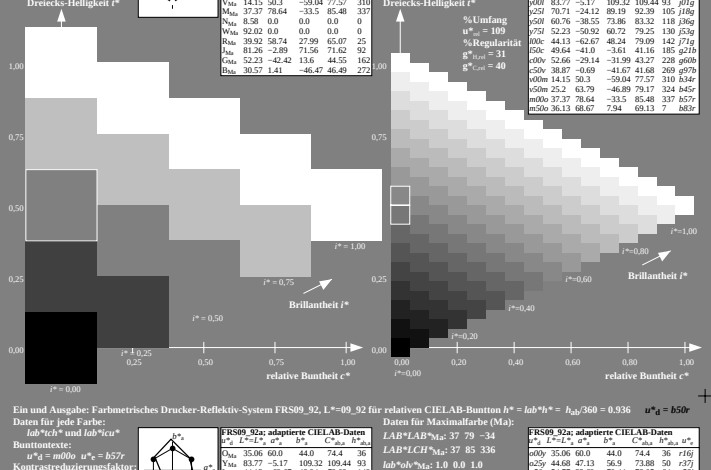

FRS09_92a; adaptierte CIELAB-Daten

	$L^*=L^*_a$	a^*_a	b^*_a	$C^*_{ab,a}$	$h^*_{ab,a}$
O_{Max}	35.06	60.0	44.0	74.4	36
Y_{Mt}	83.77	−5.17	109.32	109.44	93
L_{Mt}	44.13	−62.67	48.24	79.09	142
C_{Mt}	52.66	−29.14	−31.99	43.27	228
V_{Mt}	14.15	50.3	−59.04	77.57	310
M_{Mt}	37.37	78.64	−33.5	85.48	337
N_{Mt}	8.58	0.0	0.0	0.0	0
W_{Mt}	92.02	0.0	0.0	0.0	0
R_{Mt}	39.92	58.74	27.99	65.07	25
J_{Mt}	81.26	−2.89	71.56	71.62	92
G_{Mt}	52.23	−42.42	13.6	44.55	162
B_{Mt}	30.57	1.41	−46.47	46.49	272

Daten für Maximalfarbe (Ma):
*LAB*LAB**$_{Ma}$: 39 −1 −42
*LAB*LCH**$_{Ma}$: 39 42 269
*lab*olv**$_{Ma}$: 0.0 0.5 1.0
*lab*rgb**$_{Ma}$: 0.0 0.05 1.0
Dreiecks-Helligkeit t^*

FRS09_92a; adaptierte CIELAB-Daten

	$L^*=L^*_a$	a^*_a	b^*_a	$C^*_{ab,a}$	$h^*_{ab,a}$	u^*_a
o00y	35.06	60.0	44.0	74.4	36	r16j
o25y	44.68	47.13	56.9	73.88	50	r37j
o50y	54.77	33.62	70.44	78.05	64	r58j
o75y	66.84	17.48	86.62	88.37	79	r79j
y00l	83.77	−5.17	109.32	109.44	93	j01g
y25l	70.71	−24.12	89.19	92.39	105	j18g
y50l	60.76	−38.55	73.86	83.32	118	j36g
y75l	52.23	−50.92	60.72	79.25	130	j53g
l00c	44.13	−62.67	48.24	79.09	142	j71g
l50c	49.64	−41.0	−3.61	41.16	185	g21b
c00c	52.66	−29.14	−31.99	43.27	228	g60b
c50v	38.87	−0.69	−41.67	41.68	269	g97b
v00m	14.15	50.3	−59.04	77.57	310	b34r
v50m	25.2	63.79	−46.89	79.17	324	b45r
m00o	37.37	78.64	−33.5	85.48	337	b57r
m50o	36.13	68.67	7.94	69.13	7	b83r

Ein und Ausgabe: Farbmetrisches Drucker-Reflektiv-System FRS09_92, L*=09_92 für relativen CIELAB-Buntton $h^* = lab^*h^* = h_{ab}/360 = 0.862$ $u^*_d = b00r$

Daten für jede Farbe:
*lab*tch** und *lab*icu**
Bunttontexte:
$u^*_d = v00m$ $u^*_e = b34r$
Kontrastreduzierungsfaktor:
$c_R = 1.0$
Dreiecks-Helligkeit t^*

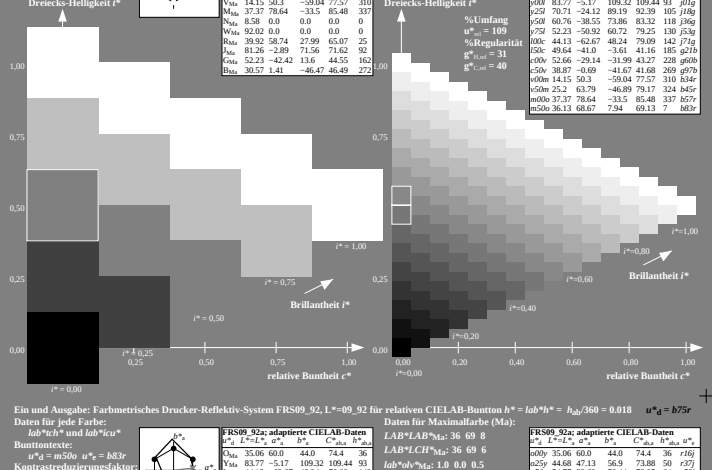

FRS09_92a; adaptierte CIELAB-Daten

	$L^*=L^*_a$	a^*_a	b^*_a	$C^*_{ab,a}$	$h^*_{ab,a}$
O_{Max}	35.06	60.0	44.0	74.4	36
Y_{Mt}	83.77	−5.17	109.32	109.44	93
L_{Mt}	44.13	−62.67	48.24	79.09	142
C_{Mt}	52.66	−29.14	−31.99	43.27	228
V_{Mt}	14.15	50.3	−59.04	77.57	310
M_{Mt}	37.37	78.64	−33.5	85.48	337
N_{Mt}	8.58	0.0	0.0	0.0	0
W_{Mt}	92.02	0.0	0.0	0.0	0
R_{Mt}	39.92	58.74	27.99	65.07	25
J_{Mt}	81.26	−2.89	71.56	71.62	92
G_{Mt}	52.23	−42.42	13.6	44.55	162
B_{Mt}	30.57	1.41	−46.47	46.49	272

Daten für Maximalfarbe (Ma):
*LAB*LAB**$_{Ma}$: 14 50 −59
*LAB*LCH**$_{Ma}$: 14 78 310
*lab*olv**$_{Ma}$: 0.0 0.0 1.0
*lab*rgb**$_{Ma}$: 0.68 0.0 1.0
Dreiecks-Helligkeit t^*

FRS09_92a; adaptierte CIELAB-Daten

	$L^*=L^*_a$	a^*_a	b^*_a	$C^*_{ab,a}$	$h^*_{ab,a}$	u^*_a
o00y	35.06	60.0	44.0	74.4	36	r16j
o25y	44.68	47.13	56.9	73.88	50	r37j
o50y	54.77	33.62	70.44	78.05	64	r58j
o75y	66.84	17.48	86.62	88.37	79	r79j
y00l	83.77	−5.17	109.32	109.44	93	j01g
y25l	70.71	−24.12	89.19	92.39	105	j18g
y50l	60.76	−38.55	73.86	83.32	118	j36g
y75l	52.23	−50.92	60.72	79.25	130	j53g
l00c	44.13	−62.67	48.24	79.09	142	j71g
l50c	49.64	−41.0	−3.61	41.16	185	g21b
c00c	52.66	−29.14	−31.99	43.27	228	g60b
c50v	38.87	−0.69	−41.67	41.68	269	g97b
v00m	14.15	50.3	−59.04	77.57	310	b34r
v50m	25.2	63.79	−46.89	79.17	324	b45r
m00o	37.37	78.64	−33.5	85.48	337	b57r
m50o	36.13	68.67	7.94	69.13	7	b83r

Ein und Ausgabe: Farbmetrisches Drucker-Reflektiv-System FRS09_92, L*=09_92 für relativen CIELAB-Buntton $h^* = lab^*h^* = h_{ab}/360 = 0.899$ $u^*_d = b25r$

Daten für jede Farbe:
*lab*tch** und *lab*icu**
Bunttontexte:
$u^*_d = v50m$ $u^*_e = b45r$
Kontrastreduzierungsfaktor:
$c_R = 1.0$
Dreiecks-Helligkeit t^*

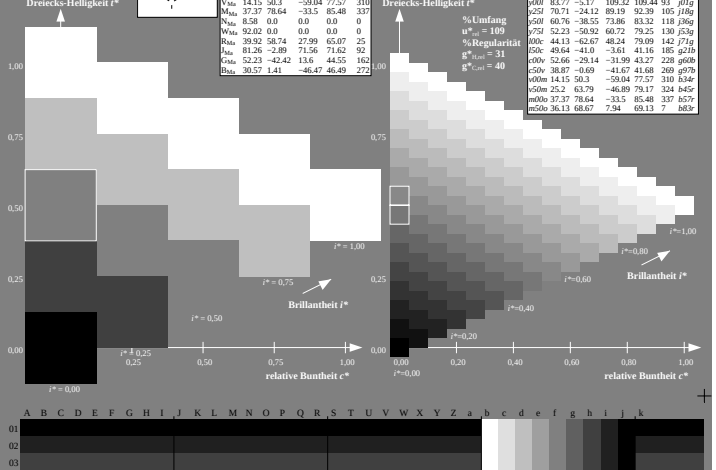

FRS09_92a; adaptierte CIELAB-Daten

	$L^*=L^*_a$	a^*_a	b^*_a	$C^*_{ab,a}$	$h^*_{ab,a}$
O_{Max}	35.06	60.0	44.0	74.4	36
Y_{Mt}	83.77	−5.17	109.32	109.44	93
L_{Mt}	44.13	−62.67	48.24	79.09	142
C_{Mt}	52.66	−29.14	−31.99	43.27	228
V_{Mt}	14.15	50.3	−59.04	77.57	310
M_{Mt}	37.37	78.64	−33.5	85.48	337
N_{Mt}	8.58	0.0	0.0	0.0	0
W_{Mt}	92.02	0.0	0.0	0.0	0
R_{Mt}	39.92	58.74	27.99	65.07	25
J_{Mt}	81.26	−2.89	71.56	71.62	92
G_{Mt}	52.23	−42.42	13.6	44.55	162
B_{Mt}	30.57	1.41	−46.47	46.49	272

Daten für Maximalfarbe (Ma):
*LAB*LAB**$_{Ma}$: 25 64 −47
*LAB*LCH**$_{Ma}$: 25 79 323
*lab*olv**$_{Ma}$: 0.5 0.0 1.0
*lab*rgb**$_{Ma}$: 0.91 0.0 1.0
Dreiecks-Helligkeit t^*

FRS09_92a; adaptierte CIELAB-Daten

	$L^*=L^*_a$	a^*_a	b^*_a	$C^*_{ab,a}$	$h^*_{ab,a}$	u^*_a
o00y	35.06	60.0	44.0	74.4	36	r16j
o25y	44.68	47.13	56.9	73.88	50	r37j
o50y	54.77	33.62	70.44	78.05	64	r58j
o75y	66.84	17.48	86.62	88.37	79	r79j
y00l	83.77	−5.17	109.32	109.44	93	j01g
y25l	70.71	−24.12	89.19	92.39	105	j18g
y50l	60.76	−38.55	73.86	83.32	118	j36g
y75l	52.23	−50.92	60.72	79.25	130	j53g
l00c	44.13	−62.67	48.24	79.09	142	j71g
l50c	49.64	−41.0	−3.61	41.16	185	g21b
c00c	52.66	−29.14	−31.99	43.27	228	g60b
c50v	38.87	−0.69	−41.67	41.68	269	g97b
v00m	14.15	50.3	−59.04	77.57	310	b34r
v50m	25.2	63.79	−46.89	79.17	324	b45r
m00o	37.37	78.64	−33.5	85.48	337	b57r
m50o	36.13	68.67	7.94	69.13	7	b83r

Ein und Ausgabe: Farbmetrisches Drucker-Reflektiv-System FRS09_92, L*=09_92 für relativen CIELAB-Buntton $h^* = lab^*h^* = h_{ab}/360 = 0.936$ $u^*_d = b50r$

Daten für jede Farbe:
*lab*tch** und *lab*icu**
Bunttontexte:
$u^*_d = m00o$ $u^*_e = b57r$
Kontrastreduzierungsfaktor:
$c_R = 1.0$
Dreiecks-Helligkeit t^*

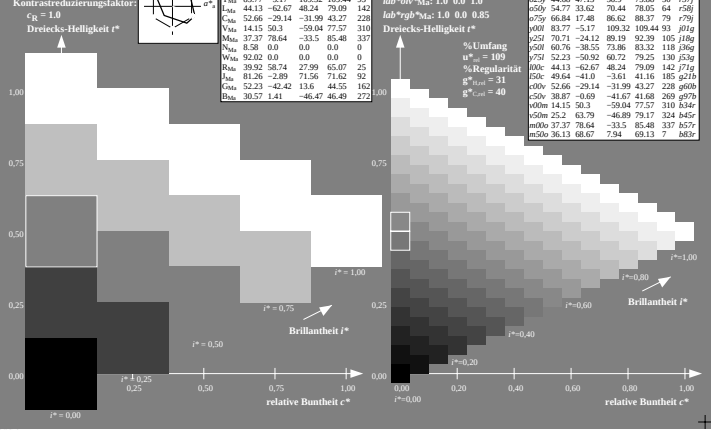

FRS09_92a; adaptierte CIELAB-Daten

	$L^*=L^*_a$	a^*_a	b^*_a	$C^*_{ab,a}$	$h^*_{ab,a}$
O_{Max}	35.06	60.0	44.0	74.4	36
Y_{Mt}	83.77	−5.17	109.32	109.44	93
L_{Mt}	44.13	−62.67	48.24	79.09	142
C_{Mt}	52.66	−29.14	−31.99	43.27	228
V_{Mt}	14.15	50.3	−59.04	77.57	310
M_{Mt}	37.37	78.64	−33.5	85.48	337
N_{Mt}	8.58	0.0	0.0	0.0	0
W_{Mt}	92.02	0.0	0.0	0.0	0
R_{Mt}	39.92	58.74	27.99	65.07	25
J_{Mt}	81.26	−2.89	71.56	71.62	92
G_{Mt}	52.23	−42.42	13.6	44.55	162
B_{Mt}	30.57	1.41	−46.47	46.49	272

Daten für Maximalfarbe (Ma):
*LAB*LAB**$_{Ma}$: 37 79 −34
*LAB*LCH**$_{Ma}$: 37 85 336
*lab*olv**$_{Ma}$: 1.0 0.0 1.0
*lab*rgb**$_{Ma}$: 1.0 0.0 0.85
Dreiecks-Helligkeit t^*

FRS09_92a; adaptierte CIELAB-Daten

	$L^*=L^*_a$	a^*_a	b^*_a	$C^*_{ab,a}$	$h^*_{ab,a}$	u^*_a
o00y	35.06	60.0	44.0	74.4	36	r16j
o25y	44.68	47.13	56.9	73.88	50	r37j
o50y	54.77	33.62	70.44	78.05	64	r58j
o75y	66.84	17.48	86.62	88.37	79	r79j
y00l	83.77	−5.17	109.32	109.44	93	j01g
y25l	70.71	−24.12	89.19	92.39	105	j18g
y50l	60.76	−38.55	73.86	83.32	118	j36g
y75l	52.23	−50.92	60.72	79.25	130	j53g
l00c	44.13	−62.67	48.24	79.09	142	j71g
l50c	49.64	−41.0	−3.61	41.16	185	g21b
c00c	52.66	−29.14	−31.99	43.27	228	g60b
c50v	38.87	−0.69	−41.67	41.68	269	g97b
v00m	14.15	50.3	−59.04	77.57	310	b34r
v50m	25.2	63.79	−46.89	79.17	324	b45r
m00o	37.37	78.64	−33.5	85.48	337	b57r
m50o	36.13	68.67	7.94	69.13	7	b83r

Ein und Ausgabe: Farbmetrisches Drucker-Reflektiv-System FRS09_92, L*=09_92 für relativen CIELAB-Buntton $h^* = lab^*h^* = h_{ab}/360 = 0.018$ $u^*_d = b75r$

Daten für jede Farbe:
*lab*tch** und *lab*icu**
Bunttontexte:
$u^*_d = m50o$ $u^*_e = b83r$
Kontrastreduzierungsfaktor:
$c_R = 1.0$
Dreiecks-Helligkeit t^*

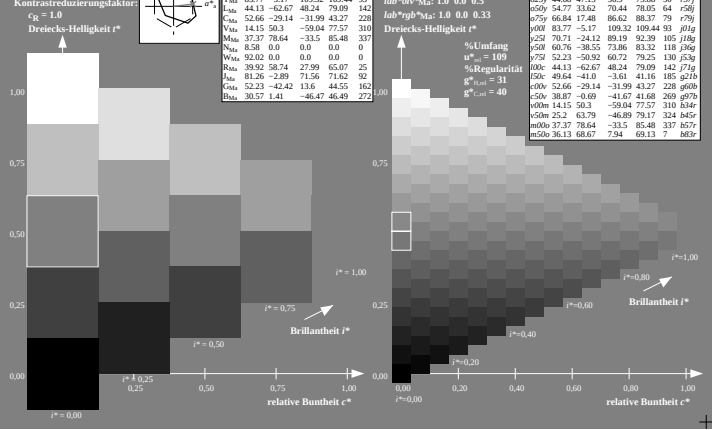

FRS09_92a; adaptierte CIELAB-Daten

	$L^*=L^*_a$	a^*_a	b^*_a	$C^*_{ab,a}$	$h^*_{ab,a}$
O_{Max}	35.06	60.0	44.0	74.4	36
Y_{Mt}	83.77	−5.17	109.32	109.44	93
L_{Mt}	44.13	−62.67	48.24	79.09	142
C_{Mt}	52.66	−29.14	−31.99	43.27	228
V_{Mt}	14.15	50.3	−59.04	77.57	310
M_{Mt}	37.37	78.64	−33.5	85.48	337
N_{Mt}	8.58	0.0	0.0	0.0	0
W_{Mt}	92.02	0.0	0.0	0.0	0
R_{Mt}	39.92	58.74	27.99	65.07	25
J_{Mt}	81.26	−2.89	71.56	71.62	92
G_{Mt}	52.23	−42.42	13.6	44.55	162
B_{Mt}	30.57	1.41	−46.47	46.49	272

Daten für Maximalfarbe (Ma):
*LAB*LAB**$_{Ma}$: 36 69 8
*LAB*LCH**$_{Ma}$: 36 69 6
*lab*olv**$_{Ma}$: 1.0 0.0 0.5
*lab*rgb**$_{Ma}$: 1.0 0.0 0.33
Dreiecks-Helligkeit t^*

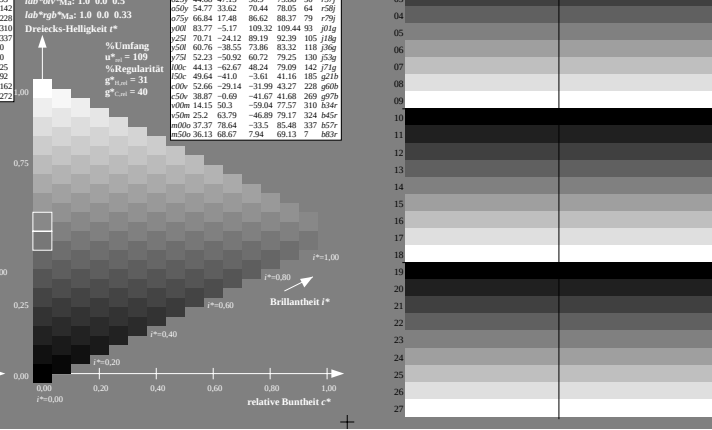

FRS09_92a; adaptierte CIELAB-Daten

	$L^*=L^*_a$	a^*_a	b^*_a	$C^*_{ab,a}$	$h^*_{ab,a}$	u^*_a
o00y	35.06	60.0	44.0	74.4	36	r16j
o25y	44.68	47.13	56.9	73.88	50	r37j
o50y	54.77	33.62	70.44	78.05	64	r58j
o75y	66.84	17.48	86.62	88.37	79

Ein und Ausgabe: Farbmetrisches Drucker-Reflektiv-System FRS09_92, L*=09_92 für relativen CIELAB-Buntton $h^* = lab^*h^* = h_{ab}/360 = 0.396$ $u^*_d = g00b$

Daten für jede Farbe: *lab*ch** und *lab*cu**
Buntton: $u^*_d = l00c$ $u^*_e = j71g$
Kontrastreduzierungsfaktor: $c_g = 1.0$
Dreiecks-Helligkeit t^*

Daten für Maximalfarbe (Ma): *lab*lab*Ma*: 44 −63 48 *lab*LCH*Ma*: 44 79 142 *lab*ov*Ma*: 0.0 1.0 0.0 *lab*rgb*Ma*: 0.28 1.0 0.0

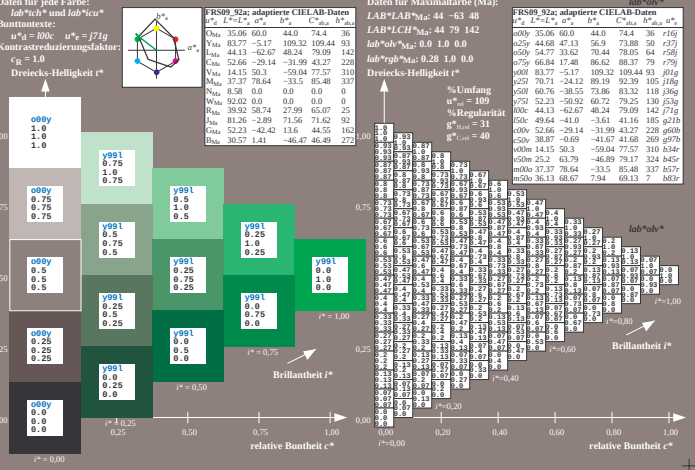

Ein und Ausgabe: Farbmetrisches Drucker-Reflektiv-System FRS09_92, L*=09_92 für relativen CIELAB-Buntton $h^* = lab^*h^* = h_{ab}/360 = 0.514$ $u^*_d = g25b$

Daten für jede Farbe: *lab*ch** und *lab*cu**
Buntton: $u^*_d = l50c$ $u^*_e = g21b$
Kontrastreduzierungsfaktor: $c_g = 1.0$
Dreiecks-Helligkeit t^*

Daten für Maximalfarbe (Ma): *lab*lab*Ma*: 50 −41 −4 *lab*LCH*Ma*: 50 41 185 *lab*ov*Ma*: 0.0 1.0 0.5 *lab*rgb*Ma*: 0.0 1.0 0.42

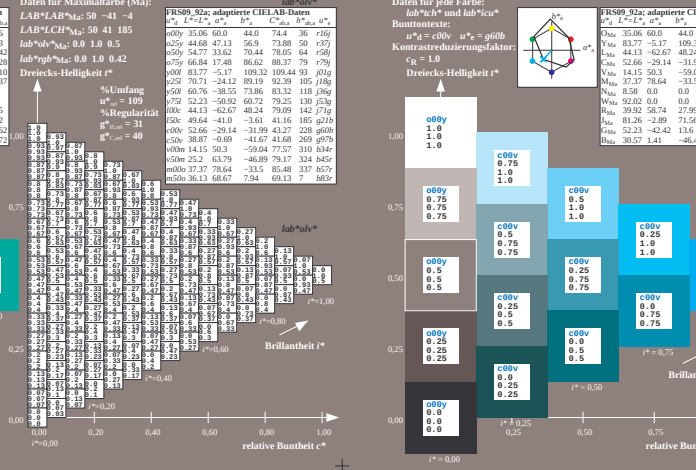

Ein und Ausgabe: Farbmetrisches Drucker-Reflektiv-System FRS09_92, L*=09_92 für relativen CIELAB-Buntton $h^* = lab^*h^* = h_{ab}/360 = 0.632$ $u^*_d = g50b$

Daten für jede Farbe: *lab*ch** und *lab*cu**
Buntton: $u^*_d = c00v$ $u^*_e = g60b$
Kontrastreduzierungsfaktor: $c_g = 1.0$
Dreiecks-Helligkeit t^*

Daten für Maximalfarbe (Ma): *lab*lab*Ma*: 53 −29 −32 *lab*LCH*Ma*: 53 43 227 *lab*ov*Ma*: 0.0 1.0 1.0 *lab*rgb*Ma*: 0.0 0.8 1.0

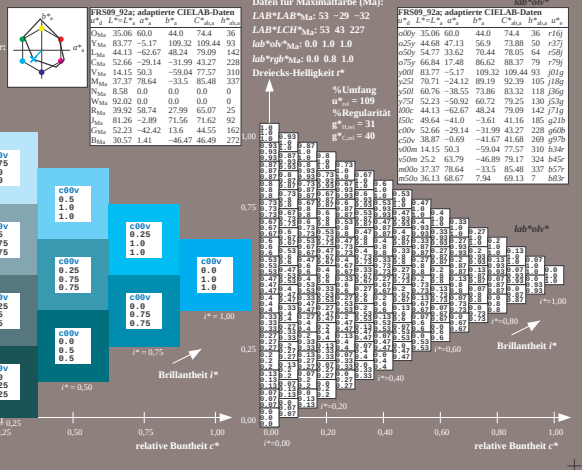

Ein und Ausgabe: Farbmetrisches Drucker-Reflektiv-System FRS09_92, L*=09_92 für relativen CIELAB-Buntton $h^* = lab^*h^* = h_{ab}/360 = 0.747$ $u^*_d = g75b$

Daten für jede Farbe: *lab*ch** und *lab*cu**
Buntton: $u^*_d = c50v$ $u^*_e = g97b$
Kontrastreduzierungsfaktor: $c_g = 1.0$
Dreiecks-Helligkeit t^*

Daten für Maximalfarbe (Ma): *lab*lab*Ma*: 39 −1 −42 *lab*LCH*Ma*: 39 42 269 *lab*ov*Ma*: 0.0 0.5 1.0 *lab*rgb*Ma*: 0.0 0.05 1.0

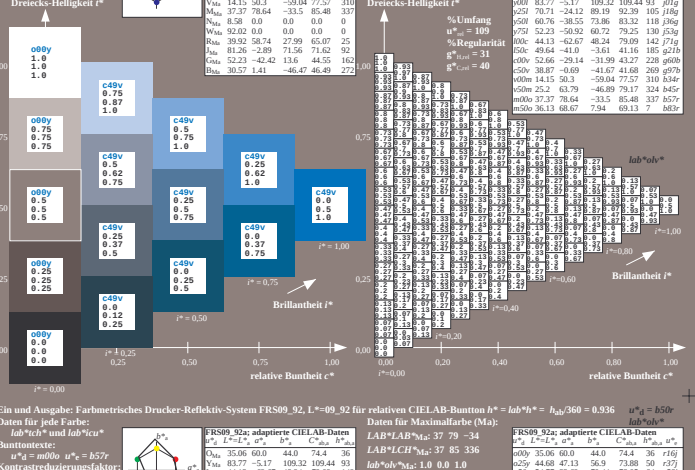

Ein und Ausgabe: Farbmetrisches Drucker-Reflektiv-System FRS09_92, L*=09_92 für relativen CIELAB-Buntton $h^* = lab^*h^* = h_{ab}/360 = 0.862$ $u^*_d = b00r$

Daten für jede Farbe: *lab*ch** und *lab*cu**
Buntton: $u^*_d = v00m$ $u^*_e = b34r$
Kontrastreduzierungsfaktor: $c_g = 1.0$
Dreiecks-Helligkeit t^*

Daten für Maximalfarbe (Ma): *lab*lab*Ma*: 14 50 −59 *lab*LCH*Ma*: 14 78 310 *lab*ov*Ma*: 0.0 0.0 1.0 *lab*rgb*Ma*: 0.68 0.0 1.4

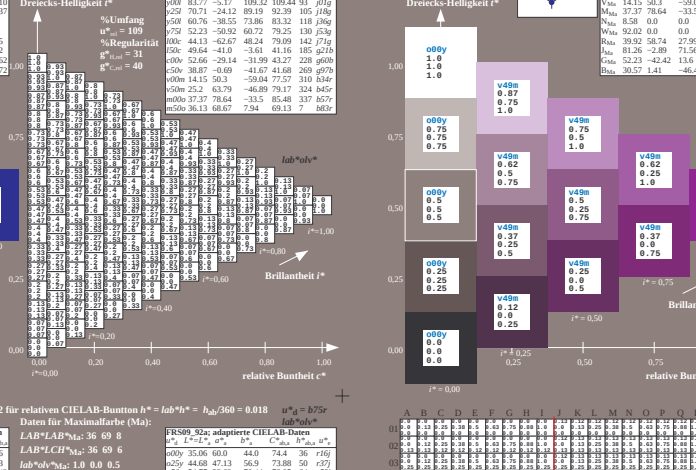

Ein und Ausgabe: Farbmetrisches Drucker-Reflektiv-System FRS09_92, L*=09_92 für relativen CIELAB-Buntton $h^* = lab^*h^* = h_{ab}/360 = 0.899$ $u^*_d = b25r$

Daten für jede Farbe: *lab*ch** und *lab*cu**
Buntton: $u^*_d = v50m$ $u^*_e = b45r$
Kontrastreduzierungsfaktor: $c_g = 1.0$
Dreiecks-Helligkeit t^*

Daten für Maximalfarbe (Ma): *lab*lab*Ma*: 25 64 −47 *lab*LCH*Ma*: 25 79 323 *lab*ov*Ma*: 0.5 0.0 1.0 *lab*rgb*Ma*: 0.91 0.0 1.0

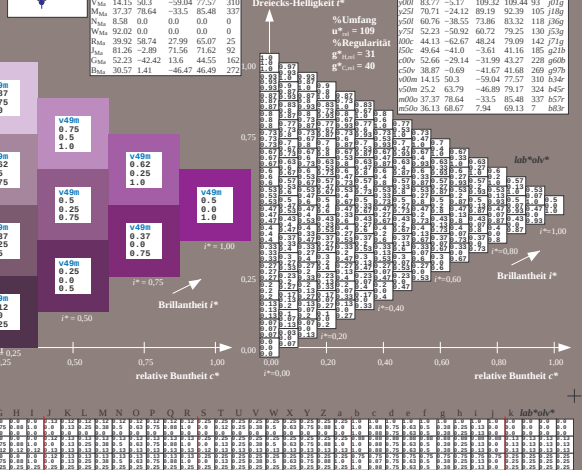

Ein und Ausgabe: Farbmetrisches Drucker-Reflektiv-System FRS09_92, L*=09_92 für relativen CIELAB-Buntton $h^* = lab^*h^* = h_{ab}/360 = 0.936$ $u^*_d = b50r$

Daten für jede Farbe: *lab*ch** und *lab*cu**
Buntton: $u^*_d = m00v$ $u^*_e = b57r$
Kontrastreduzierungsfaktor: $c_g = 1.0$
Dreiecks-Helligkeit t^*

Daten für Maximalfarbe (Ma): *lab*lab*Ma*: 37 79 −34 *lab*LCH*Ma*: 37 85 336 *lab*ov*Ma*: 1.0 0.0 1.0 *lab*rgb*Ma*: 1.0 0.0 0.85

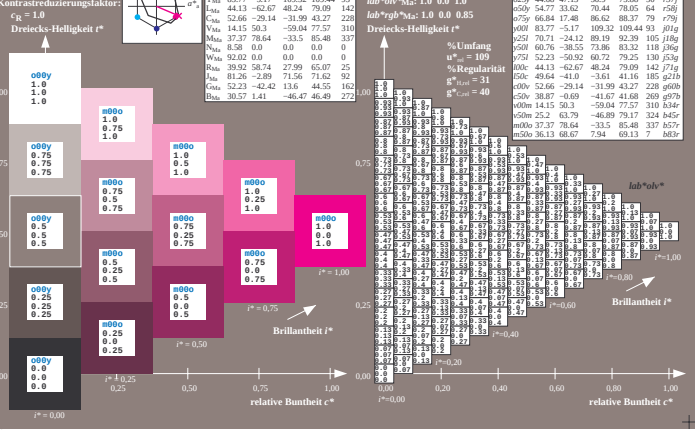

Ein und Ausgabe: Farbmetrisches Drucker-Reflektiv-System FRS09_92, L*=09_92 für relativen CIELAB-Buntton $h^* = lab^*h^* = h_{ab}/360 = 0.018$ $u^*_d = b75r$

Daten für jede Farbe: *lab*ch** und *lab*cu**
Buntton: $u^*_d = m50o$ $u^*_e = b83r$
Kontrastreduzierungsfaktor: $c_g = 1.0$
Dreiecks-Helligkeit t^*

Daten für Maximalfarbe (Ma): *lab*lab*Ma*: 36 69 8 *lab*LCH*Ma*: 36 69 6 *lab*ov*Ma*: 1.0 0.0 0.5 *lab*rgb*Ma*: 1.0 0.0 0.33

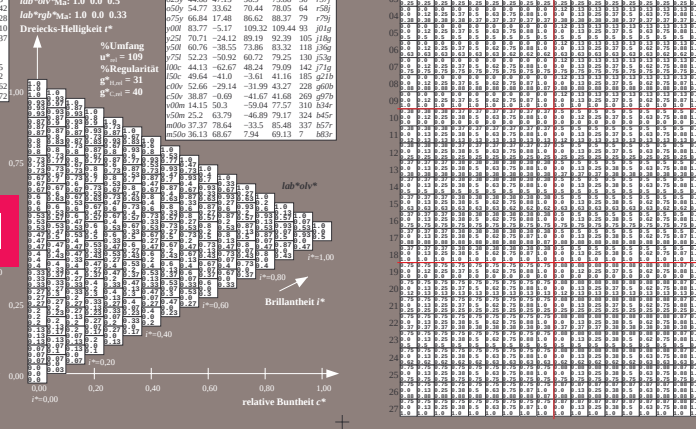

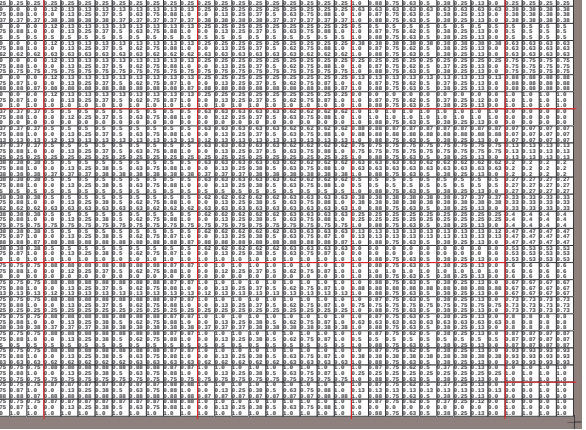

Ein und Ausgabe: Farbmetrisches Drucker-Reflektiv-System FRS09_92, L*=09_92 für relativen CIELAB-Button h^* = *lab*h** = h_{ab}/360 = 0.396 u^*_d = *g00b*

Daten für jede Farbe: *lab*ch** und *lab*rgb**

Buntton: u^*_d = *l00c* u^*_e = *j71g*

Kontrastreduzierungsfaktor: c_g = 1.0

Daten für Maximalfarbe (Ma): *lab*rgb**

*LAB*LAB**$_{Ma}$: 44 −63 48

*LAB*LCH**$_{Ma}$: 44 79 142

*lab*ovl**$_{Ma}$: 0.0 1.0 0.0

*lab*rgb**$_{Ma}$: 0.28 1.0 0.0

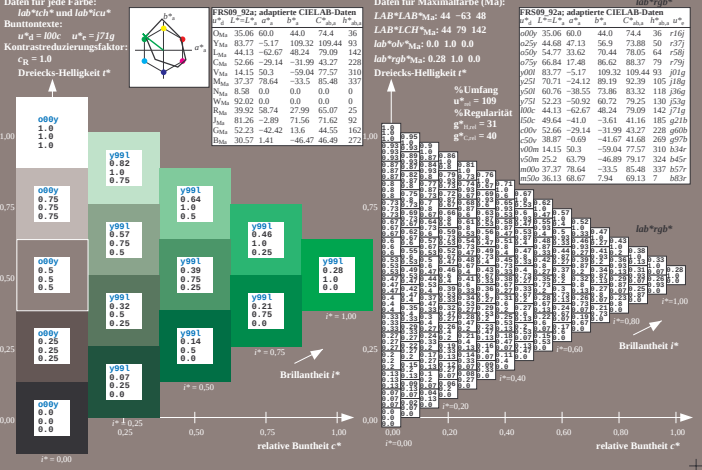

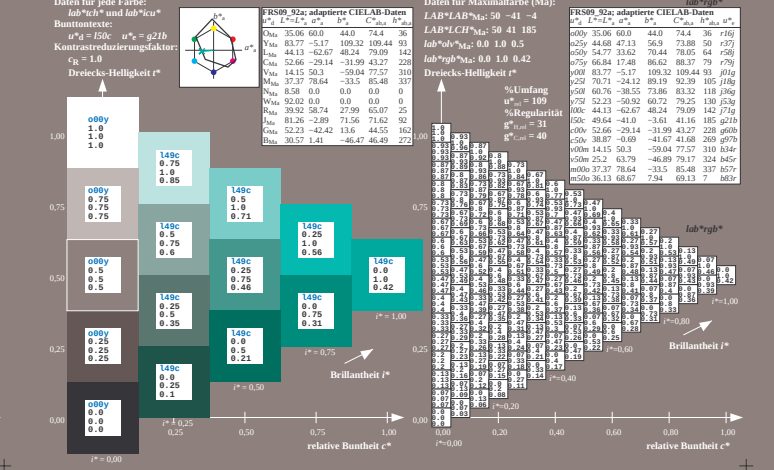

Ein und Ausgabe: Farbmetrisches Drucker-Reflektiv-System FRS09_92, L*=09_92 für relativen CIELAB-Button h^* = *lab*h** = h_{ab}/360 = 0.514 u^*_d = *g25b*

Daten für jede Farbe: *lab*ch** und *lab*rgb**

Buntton: u^*_d = *l50c* u^*_e = *g21b*

Kontrastreduzierungsfaktor: c_g = 1.0

Daten für Maximalfarbe (Ma): *lab*rgb**

*LAB*LAB**$_{Ma}$: 50 −41 −4

*LAB*LCH**$_{Ma}$: 50 41 185

*lab*ovl**$_{Ma}$: 0.0 1.0 0.5

*lab*rgb**$_{Ma}$: 0.0 1.0 0.42

Ein und Ausgabe: Farbmetrisches Drucker-Reflektiv-System FRS09_92, L*=09_92 für relativen CIELAB-Button h^* = *lab*h** = h_{ab}/360 = 0.632 u^*_d = *g50b*

Daten für jede Farbe: *lab*ch** und *lab*rgb**

Buntton: u^*_d = *c00v* u^*_e = *g60b*

Kontrastreduzierungsfaktor: c_g = 1.0

Daten für Maximalfarbe (Ma): *lab*rgb**

*LAB*LAB**$_{Ma}$: 53 −29 −32

*LAB*LCH**$_{Ma}$: 53 43 227

*lab*ovl**$_{Ma}$: 0.0 1.0 1.0

*lab*rgb**$_{Ma}$: 0.0 0.8 1.0

Ein und Ausgabe: Farbmetrisches Drucker-Reflektiv-System FRS09_92, L*=09_92 für relativen CIELAB-Button h^* = *lab*h** = h_{ab}/360 = 0.747 u^*_d = *g75b*

Daten für jede Farbe: *lab*ch** und *lab*rgb**

Buntton: u^*_d = *c50v* u^*_e = *g97b*

Kontrastreduzierungsfaktor: c_g = 1.0

Daten für Maximalfarbe (Ma): *lab*rgb**

*LAB*LAB**$_{Ma}$: 39 −1 −42

*LAB*LCH**$_{Ma}$: 39 42 269

*lab*ovl**$_{Ma}$: 0.0 0.5 1.0

*lab*rgb**$_{Ma}$: 0.0 0.05 1.0

Ein und Ausgabe: Farbmetrisches Drucker-Reflektiv-System FRS09_92, L*=09_92 für relativen CIELAB-Button h^* = *lab*h** = h_{ab}/360 = 0.862 u^*_d = *b00r*

Daten für jede Farbe: *lab*ch** und *lab*rgb**

Buntton: u^*_d = *v00m* u^*_e = *b34r*

Kontrastreduzierungsfaktor: c_g = 1.0

Daten für Maximalfarbe (Ma): *lab*rgb**

*LAB*LAB**$_{Ma}$: 14 50 −59

*LAB*LCH**$_{Ma}$: 14 78 310

*lab*ovl**$_{Ma}$: 0.0 0.0 1.0

*lab*rgb**$_{Ma}$: 0.68 0.0 1.0

Ein und Ausgabe: Farbmetrisches Drucker-Reflektiv-System FRS09_92, L*=09_92 für relativen CIELAB-Button h^* = *lab*h** = h_{ab}/360 = 0.899 u^*_d = *b25r*

Daten für jede Farbe: *lab*ch** und *lab*rgb**

Buntton: u^*_d = *v50m* u^*_e = *b45r*

Kontrastreduzierungsfaktor: c_g = 1.0

Daten für Maximalfarbe (Ma): *lab*rgb**

*LAB*LAB**$_{Ma}$: 25 64 −47

*LAB*LCH**$_{Ma}$: 25 79 323

*lab*ovl**$_{Ma}$: 0.5 0.0 1.0

*lab*rgb**$_{Ma}$: 0.91 0.0 1.0

Ein und Ausgabe: Farbmetrisches Drucker-Reflektiv-System FRS09_92, L*=09_92 für relativen CIELAB-Button h^* = *lab*h** = h_{ab}/360 = 0.936 u^*_d = *b50r*

Daten für jede Farbe: *lab*ch** und *lab*rgb**

Buntton: u^*_d = *m00c* u^*_e = *b57r*

Kontrastreduzierungsfaktor: c_g = 1.0

Daten für Maximalfarbe (Ma): *lab*rgb**

*LAB*LAB**$_{Ma}$: 37 79 −34

*LAB*LCH**$_{Ma}$: 37 85 336

*lab*ovl**$_{Ma}$: 1.0 0.0 1.0

*lab*rgb**$_{Ma}$: 1.0 0.0 0.85

Ein und Ausgabe: Farbmetrisches Drucker-Reflektiv-System FRS09_92, L*=09_92 für relativen CIELAB-Button h^* = *lab*h** = h_{ab}/360 = 0.018 u^*_d = *b75r*

Daten für jede Farbe: *lab*ch** und *lab*rgb**

Buntton: u^*_d = *m50c* u^*_e = *b83r*

Kontrastreduzierungsfaktor: c_g = 1.0

Daten für Maximalfarbe (Ma): *lab*rgb**

*LAB*LAB**$_{Ma}$: 36 69 8

*LAB*LCH**$_{Ma}$: 36 69 6

*lab*ovl**$_{Ma}$: 1.0 0.0 0.5

*lab*rgb**$_{Ma}$: 1.0 0.0 0.33

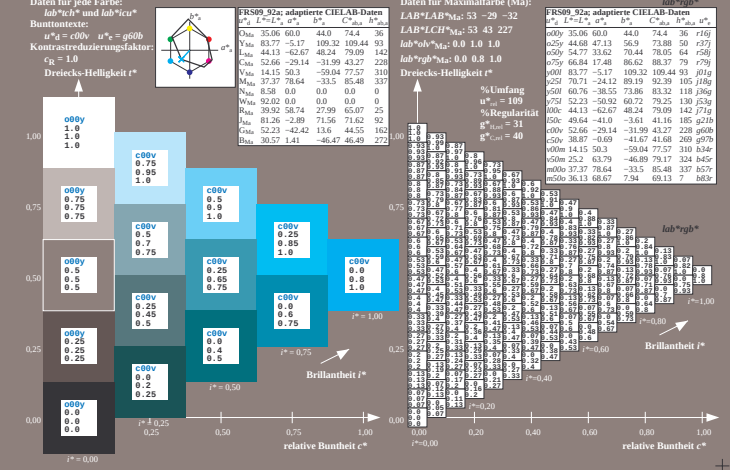

Ein und Ausgabe: Farbmetrisches Drucker-Reflektiv-System FRS09_92, L*=09_92 für relativen CIELAB-Buntton $h^* = lab^*h^* = h_{ab}/360 = 0.396$ $u^*_d = g00b$

Daten für jede Farbe: *lab*ch* und lab*icu**
Buntontexte: $u^*_d = l00c$ $u^*_e = j71g$
Kontrastreduzierungsfaktor: $c_g = 1.0$
Dreiecks-Helligkeit t^*

Daten für Maximalfarbe (Ma): $LAB^*LAB^*_{Ma}$: 44 −63 48 $LAB^*LCH^*_{Ma}$: 44 79 142 $lab^*olv^*_{Ma}$: 0.0 1.0 0.0 $lab^*rgb^*_{Ma}$: 0.28 1.0 0.0
Dreiecks-Helligkeit t^*

%Umfang $u^*_{ev} = 109$ %Regularität $g^*_{H,rel} = 31$ $g^*_{C,rel} = 40$

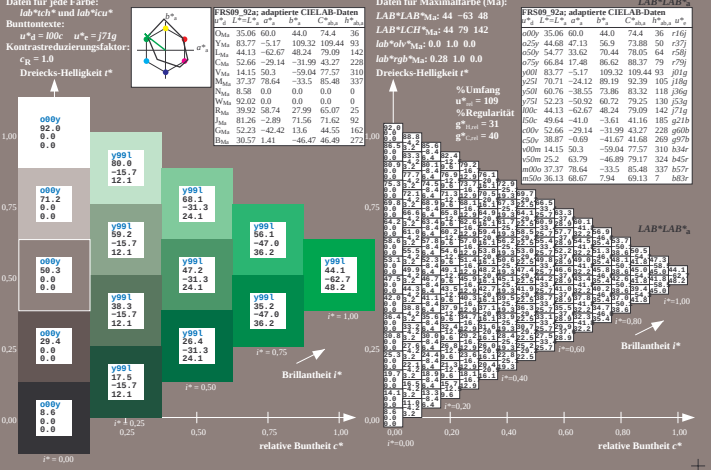

Ein und Ausgabe: Farbmetrisches Drucker-Reflektiv-System FRS09_92, L*=09_92 für relativen CIELAB-Buntton $h^* = lab^*h^* = h_{ab}/360 = 0.514$ $u^*_d = g25b$

Daten für jede Farbe: *lab*ch* und lab*icu**
Buntontexte: $u^*_d = l50c$ $u^*_e = g21b$
Kontrastreduzierungsfaktor: $c_g = 1.0$
Dreiecks-Helligkeit t^*

Daten für Maximalfarbe (Ma): $LAB^*LAB^*_{Ma}$: 50 −41 −4 $LAB^*LCH^*_{Ma}$: 50 41 185 $lab^*olv^*_{Ma}$: 0.0 1.0 0.5 $lab^*rgb^*_{Ma}$: 0.0 1.0 0.42
Dreiecks-Helligkeit t^*

%Umfang $u^*_{ev} = 109$ %Regularität $g^*_{H,rel} = 31$ $g^*_{C,rel} = 40$

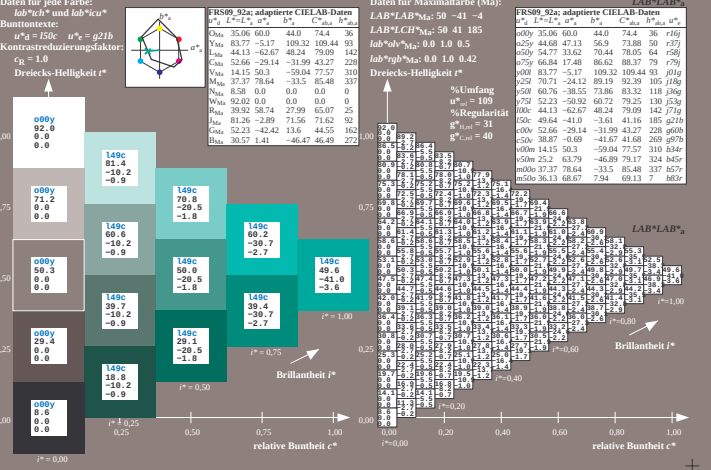

Ein und Ausgabe: Farbmetrisches Drucker-Reflektiv-System FRS09_92, L*=09_92 für relativen CIELAB-Buntton $h^* = lab^*h^* = h_{ab}/360 = 0.632$ $u^*_d = g50b$

Daten für jede Farbe: *lab*ch* und lab*icu**
Buntontexte: $u^*_d = c00v$ $u^*_e = g60b$
Kontrastreduzierungsfaktor: $c_g = 1.0$
Dreiecks-Helligkeit t^*

Daten für Maximalfarbe (Ma): $LAB^*LAB^*_{Ma}$: 53 −29 −32 $LAB^*LCH^*_{Ma}$: 53 43 227 $lab^*olv^*_{Ma}$: 0.0 1.0 1.0 $lab^*rgb^*_{Ma}$: 0.0 0.8 1.0
Dreiecks-Helligkeit t^*

%Umfang $u^*_{ev} = 109$ %Regularität $g^*_{H,rel} = 31$ $g^*_{C,rel} = 40$

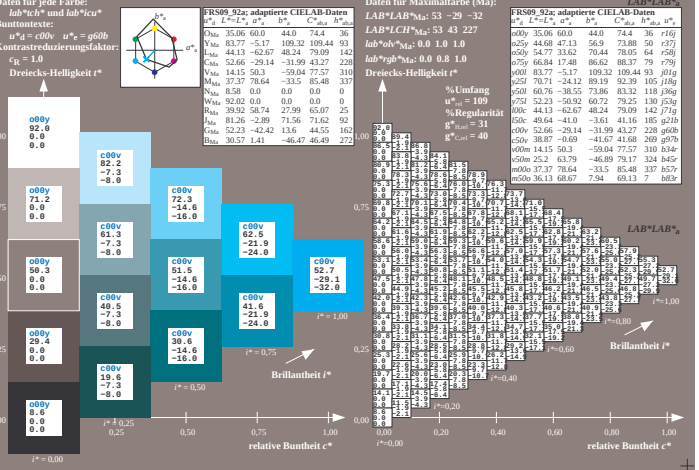

Ein und Ausgabe: Farbmetrisches Drucker-Reflektiv-System FRS09_92, L*=09_92 für relativen CIELAB-Buntton $h^* = lab^*h^* = h_{ab}/360 = 0.747$ $u^*_d = g75b$

Daten für jede Farbe: *lab*ch* und lab*icu**
Buntontexte: $u^*_d = c50v$ $u^*_e = g97b$
Kontrastreduzierungsfaktor: $c_g = 1.0$
Dreiecks-Helligkeit t^*

Daten für Maximalfarbe (Ma): $LAB^*LAB^*_{Ma}$: 39 −1 −42 $LAB^*LCH^*_{Ma}$: 39 42 269 $lab^*olv^*_{Ma}$: 0.0 0.5 1.0 $lab^*rgb^*_{Ma}$: 0.0 0.05 1.0
Dreiecks-Helligkeit t^*

%Umfang $u^*_{ev} = 109$ %Regularität $g^*_{H,rel} = 31$ $g^*_{C,rel} = 40$

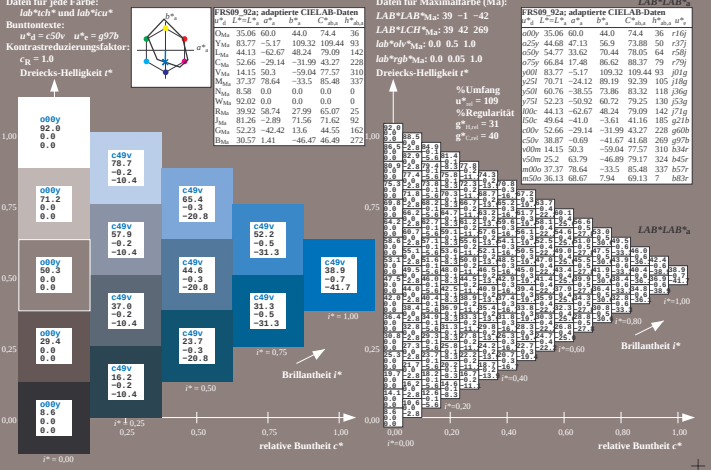

Ein und Ausgabe: Farbmetrisches Drucker-Reflektiv-System FRS09_92, L*=09_92 für relativen CIELAB-Buntton $h^* = lab^*h^* = h_{ab}/360 = 0.862$ $u^*_d = b00r$

Daten für jede Farbe: *lab*ch* und lab*icu**
Buntontexte: $u^*_d = v00m$ $u^*_e = b34r$
Kontrastreduzierungsfaktor: $c_g = 1.0$
Dreiecks-Helligkeit t^*

Daten für Maximalfarbe (Ma): $LAB^*LAB^*_{Ma}$: 14 50 −59 $LAB^*LCH^*_{Ma}$: 14 78 310 $lab^*olv^*_{Ma}$: 0.0 0.0 1.0 $lab^*rgb^*_{Ma}$: 0.68 0.0 1.0
Dreiecks-Helligkeit t^*

%Umfang $u^*_{ev} = 109$ %Regularität $g^*_{H,rel} = 31$ $g^*_{C,rel} = 40$

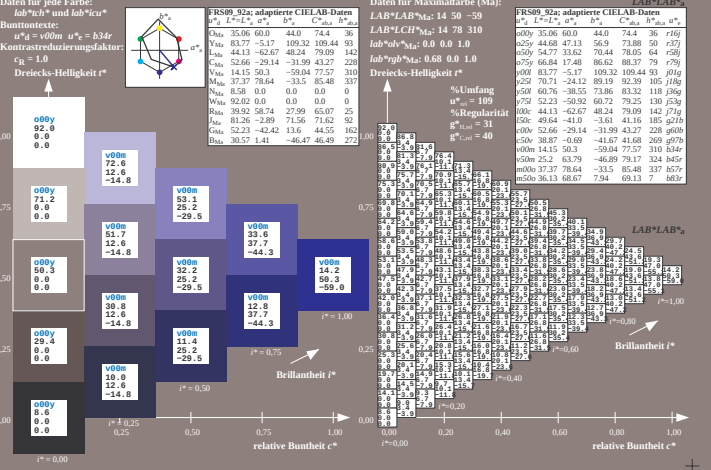

Ein und Ausgabe: Farbmetrisches Drucker-Reflektiv-System FRS09_92, L*=09_92 für relativen CIELAB-Buntton $h^* = lab^*h^* = h_{ab}/360 = 0.899$ $u^*_d = b25r$

Daten für jede Farbe: *lab*ch* und lab*icu**
Buntontexte: $u^*_d = v50m$ $u^*_e = b45r$
Kontrastreduzierungsfaktor: $c_g = 1.0$
Dreiecks-Helligkeit t^*

Daten für Maximalfarbe (Ma): $LAB^*LAB^*_{Ma}$: 25 64 −47 $LAB^*LCH^*_{Ma}$: 25 79 323 $lab^*olv^*_{Ma}$: 0.5 0.0 1.0 $lab^*rgb^*_{Ma}$: 0.91 0.0 1.0
Dreiecks-Helligkeit t^*

%Umfang $u^*_{ev} = 109$ %Regularität $g^*_{H,rel} = 31$ $g^*_{C,rel} = 40$

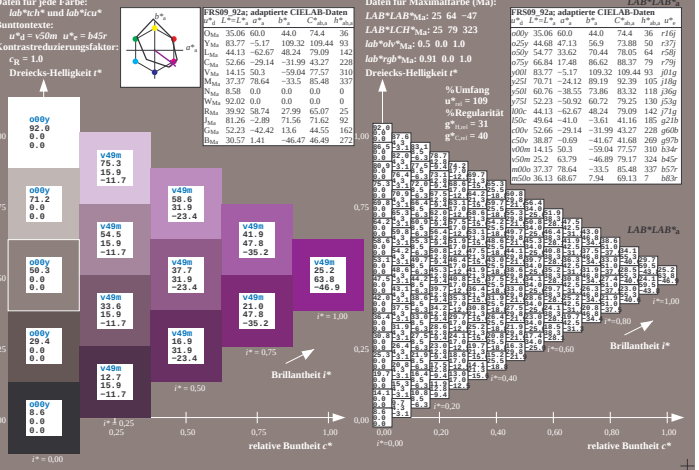

Ein und Ausgabe: Farbmetrisches Drucker-Reflektiv-System FRS09_92, L*=09_92 für relativen CIELAB-Buntton $h^* = lab^*h^* = h_{ab}/360 = 0.936$ $u^*_d = b50r$

Daten für jede Farbe: *lab*ch* und lab*icu**
Buntontexte: $u^*_d = m00a$ $u^*_e = b57r$
Kontrastreduzierungsfaktor: $c_g = 1.0$
Dreiecks-Helligkeit t^*

Daten für Maximalfarbe (Ma): $LAB^*LAB^*_{Ma}$: 37 79 −34 $LAB^*LCH^*_{Ma}$: 37 85 336 $lab^*olv^*_{Ma}$: 1.0 0.0 1.0 $lab^*rgb^*_{Ma}$: 1.0 0.0 0.85
Dreiecks-Helligkeit t^*

%Umfang $u^*_{ev} = 109$ %Regularität $g^*_{H,rel} = 31$ $g^*_{C,rel} = 40$

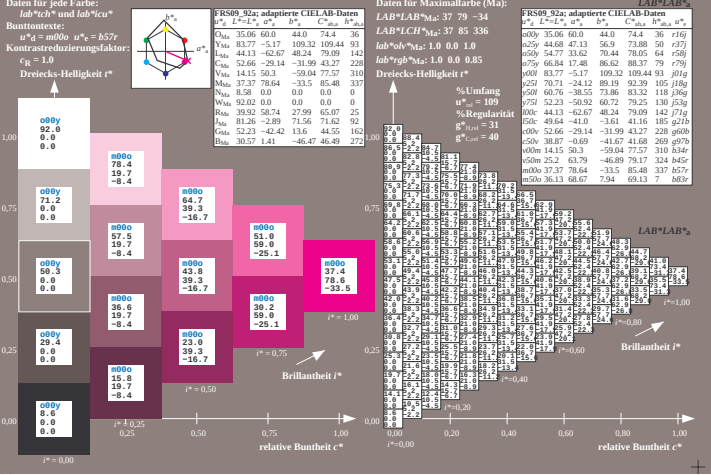

Ein und Ausgabe: Farbmetrisches Drucker-Reflektiv-System FRS09_92, L*=09_92 für relativen CIELAB-Buntton $h^* = lab^*h^* = h_{ab}/360 = 0.018$ $u^*_d = b75r$

Daten für jede Farbe: *lab*ch* und lab*icu**
Buntontexte: $u^*_d = m50a$ $u^*_e = b83r$
Kontrastreduzierungsfaktor: $c_g = 1.0$
Dreiecks-Helligkeit t^*

Daten für Maximalfarbe (Ma): $LAB^*LAB^*_{Ma}$: 36 69 8 $LAB^*LCH^*_{Ma}$: 36 69 6 $lab^*olv^*_{Ma}$: 1.0 0.0 0.5 $lab^*rgb^*_{Ma}$: 1.0 0.0 0.33
Dreiecks-Helligkeit t^*

%Umfang $u^*_{ev} = 109$ %Regularität $g^*_{H,rel} = 31$ $g^*_{C,rel} = 40$

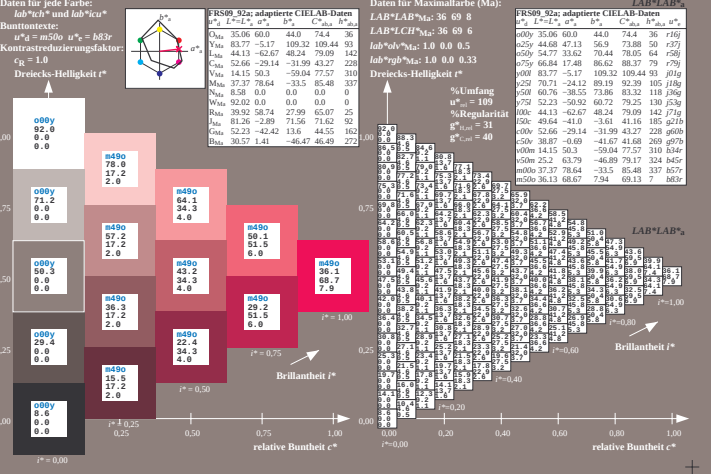

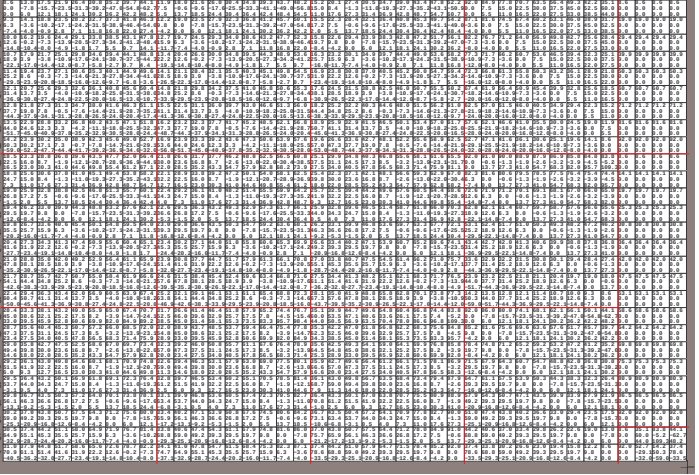

Ein und Ausgabe: Farbmetrisches Drucker-Reflektiv-System FRS09_92, L*=09_92 für relativen CIELAB-Buntton $h^* = lab^*h^* = h_{lab}/360 = 0.396$ $u^*_d = g00b$ LAB*LCH*$_a$

Daten für jede Farbe: *lab*ch* und lab*icu**
Buntton texte: $u^*_d = l00c$ $u^*_e = j71g$
Kontrastreduzierungsfaktor: $c_g = 1.0$
Dreiecks-Helligkeit t^*

Daten für Maximalfarbe (Ma): *LAB*LAB*$_{Ma}$*: 44 −63 48 *LAB*LCH*$_{Ma}$*: 44 79 142 *lab*olv*$_{Ma}$*: 0.0 1.0 0.0 *lab*rgb*$_{Ma}$*: 0.28 1.0 0.0
Dreiecks-Helligkeit t^*

%Umfang $u^*_{\%}$ = 109 %Regularität $g^*_{H,rel}$ = 31 $g^*_{C,rel}$ = 40

Ein und Ausgabe: Farbmetrisches Drucker-Reflektiv-System FRS09_92, L*=09_92 für relativen CIELAB-Buntton $h^* = lab^*h^* = h_{lab}/360 = 0.514$ $u^*_d = g25b$ LAB*LCH*$_a$

Daten für jede Farbe: *lab*ch* und lab*icu**
Buntton texte: $u^*_d = l50c$ $u^*_e = g21b$
Kontrastreduzierungsfaktor: $c_g = 1.0$
Dreiecks-Helligkeit t^*

Daten für Maximalfarbe (Ma): *LAB*LAB*$_{Ma}$*: 50 −41 −4 *LAB*LCH*$_{Ma}$*: 50 41 185 *lab*olv*$_{Ma}$*: 0.0 1.0 0.5 *lab*rgb*$_{Ma}$*: 0.0 1.0 0.42
Dreiecks-Helligkeit t^*

%Umfang $u^*_{\%}$ = 109 %Regularität $g^*_{H,rel}$ = 31 $g^*_{C,rel}$ = 40

Ein und Ausgabe: Farbmetrisches Drucker-Reflektiv-System FRS09_92, L*=09_92 für relativen CIELAB-Buntton $h^* = lab^*h^* = h_{lab}/360 = 0.632$ $u^*_d = g50b$ LAB*LCH*$_a$

Daten für jede Farbe: *lab*ch* und lab*icu**
Buntton texte: $u^*_d = c00v$ $u^*_e = g60b$
Kontrastreduzierungsfaktor: $c_g = 1.0$
Dreiecks-Helligkeit t^*

Daten für Maximalfarbe (Ma): *LAB*LAB*$_{Ma}$*: 53 −29 −32 *LAB*LCH*$_{Ma}$*: 53 43 227 *lab*olv*$_{Ma}$*: 0.0 1.0 1.0 *lab*rgb*$_{Ma}$*: 0.0 0.8 1.0
Dreiecks-Helligkeit t^*

%Umfang $u^*_{\%}$ = 109 %Regularität $g^*_{H,rel}$ = 31 $g^*_{C,rel}$ = 40

Ein und Ausgabe: Farbmetrisches Drucker-Reflektiv-System FRS09_92, L*=09_92 für relativen CIELAB-Buntton $h^* = lab^*h^* = h_{lab}/360 = 0.747$ $u^*_d = g75b$ LAB*LCH*$_a$

Daten für jede Farbe: *lab*ch* und lab*icu**
Buntton texte: $u^*_d = c50v$ $u^*_e = g97b$
Kontrastreduzierungsfaktor: $c_g = 1.0$
Dreiecks-Helligkeit t^*

Daten für Maximalfarbe (Ma): *LAB*LAB*$_{Ma}$*: 39 −1 −42 *LAB*LCH*$_{Ma}$*: 39 42 269 *lab*olv*$_{Ma}$*: 0.0 0.5 1.0 *lab*rgb*$_{Ma}$*: 0.0 0.05 1.0
Dreiecks-Helligkeit t^*

%Umfang $u^*_{\%}$ = 109 %Regularität $g^*_{H,rel}$ = 31 $g^*_{C,rel}$ = 40

Ein und Ausgabe: Farbmetrisches Drucker-Reflektiv-System FRS09_92, L*=09_92 für relativen CIELAB-Buntton $h^* = lab^*h^* = h_{lab}/360 = 0.862$ $u^*_d = b00r$ LAB*LCH*$_a$

Daten für jede Farbe: *lab*ch* und lab*icu**
Buntton texte: $u^*_d = v00m$ $u^*_e = b34r$
Kontrastreduzierungsfaktor: $c_g = 1.0$
Dreiecks-Helligkeit t^*

Daten für Maximalfarbe (Ma): *LAB*LAB*$_{Ma}$*: 14 50 −59 *LAB*LCH*$_{Ma}$*: 14 78 310 *lab*olv*$_{Ma}$*: 0.0 0.0 1.0 *lab*rgb*$_{Ma}$*: 0.68 0.0 1.0
Dreiecks-Helligkeit t^*

%Umfang $u^*_{\%}$ = 109 %Regularität $g^*_{H,rel}$ = 31 $g^*_{C,rel}$ = 40

Ein und Ausgabe: Farbmetrisches Drucker-Reflektiv-System FRS09_92, L*=09_92 für relativen CIELAB-Buntton $h^* = lab^*h^* = h_{lab}/360 = 0.899$ $u^*_d = b25r$ LAB*LCH*$_a$

Daten für jede Farbe: *lab*ch* und lab*icu**
Buntton texte: $u^*_d = v50m$ $u^*_e = b45r$
Kontrastreduzierungsfaktor: $c_g = 1.0$
Dreiecks-Helligkeit t^*

Daten für Maximalfarbe (Ma): *LAB*LAB*$_{Ma}$*: 25 64 −47 *LAB*LCH*$_{Ma}$*: 25 79 323 *lab*olv*$_{Ma}$*: 0.5 0.0 1.0 *lab*rgb*$_{Ma}$*: 0.91 0.0 1.0
Dreiecks-Helligkeit t^*

%Umfang $u^*_{\%}$ = 109 %Regularität $g^*_{H,rel}$ = 31 $g^*_{C,rel}$ = 40

Ein und Ausgabe: Farbmetrisches Drucker-Reflektiv-System FRS09_92, L*=09_92 für relativen CIELAB-Buntton $h^* = lab^*h^* = h_{lab}/360 = 0.936$ $u^*_d = b50r$ LAB*LCH*$_a$

Daten für jede Farbe: *lab*ch* und lab*icu**
Buntton texte: $u^*_d = m00a$ $u^*_e = b57r$
Kontrastreduzierungsfaktor: $c_g = 1.0$
Dreiecks-Helligkeit t^*

Daten für Maximalfarbe (Ma): *LAB*LAB*$_{Ma}$*: 37 79 −34 *LAB*LCH*$_{Ma}$*: 37 85 336 *lab*olv*$_{Ma}$*: 1.0 0.0 1.0 *lab*rgb*$_{Ma}$*: 1.0 0.0 0.85
Dreiecks-Helligkeit t^*

%Umfang $u^*_{\%}$ = 109 %Regularität $g^*_{H,rel}$ = 31 $g^*_{C,rel}$ = 40

Ein und Ausgabe: Farbmetrisches Drucker-Reflektiv-System FRS09_92, L*=09_92 für relativen CIELAB-Buntton $h^* = lab^*h^* = h_{lab}/360 = 0.018$ $u^*_d = b75r$ LAB*LCH*$_a$

Daten für jede Farbe: *lab*ch* und lab*icu**
Buntton texte: $u^*_d = m50a$ $u^*_e = b83r$
Kontrastreduzierungsfaktor: $c_g = 1.0$
Dreiecks-Helligkeit t^*

Daten für Maximalfarbe (Ma): *LAB*LAB*$_{Ma}$*: 36 69 8 *LAB*LCH*$_{Ma}$*: 36 69 6 *lab*olv*$_{Ma}$*: 1.0 0.0 0.5 *lab*rgb*$_{Ma}$*: 1.0 0.0 0.33
Dreiecks-Helligkeit t^*

%Umfang $u^*_{\%}$ = 109 %Regularität $g^*_{H,rel}$ = 31 $g^*_{C,rel}$ = 40

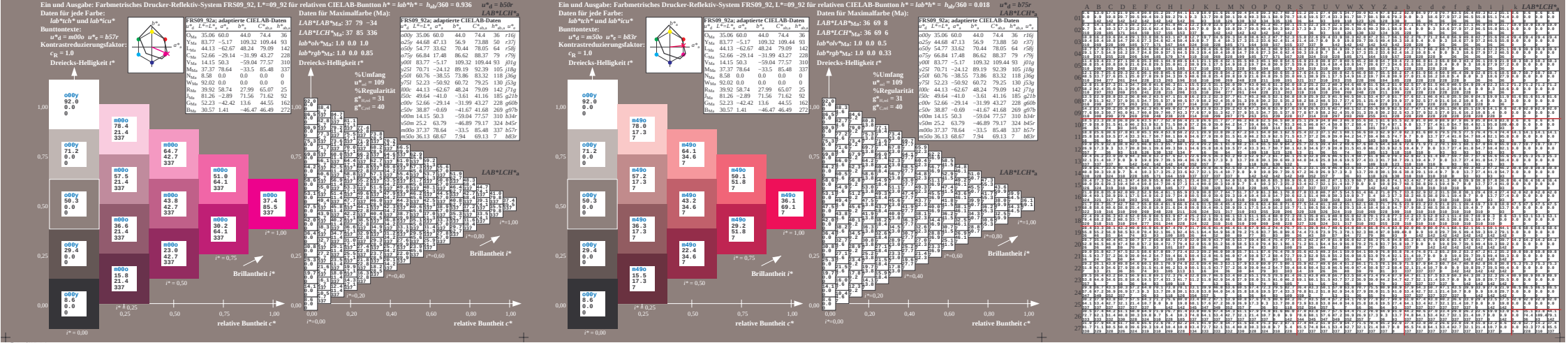

Ein und Ausgabe: Farbmetrisches Drucker-Reflektiv-System FRS09_92, L*=09_92 für relativen CIELAB-Buntton $h^*_{lab}/360 = 0.396$ $u^*_d = g00b$

Daten für jede Farbe: *lab*ch** und *lab*cu**

Buntton: $u^*_d = l00c$ $u^*_e = j71g$

Kontrastreduzierungsfaktor: $c_g = 1.0$

Daten für Maximalfarbe (Ma): *LAB*LAB**$_{Ma}$: 44 −63 48 *LAB*LCH**$_{Ma}$: 44 79 142 *lab*ovl**$_{Ma}$: 0.0 1.0 0.0 *lab*rgb**$_{Ma}$: 0.28 1.0 0.0

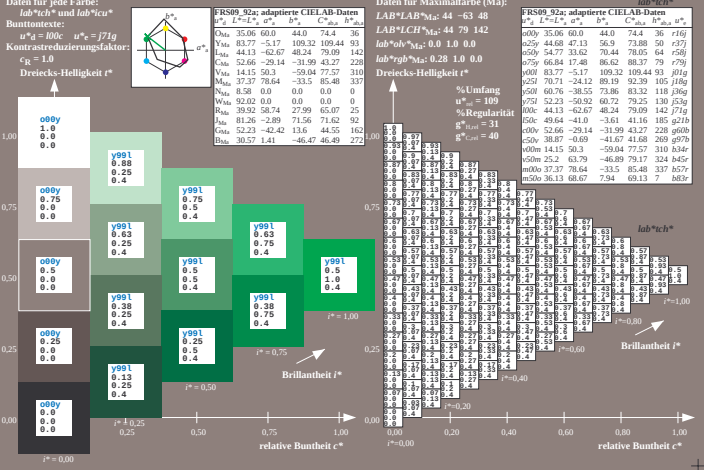

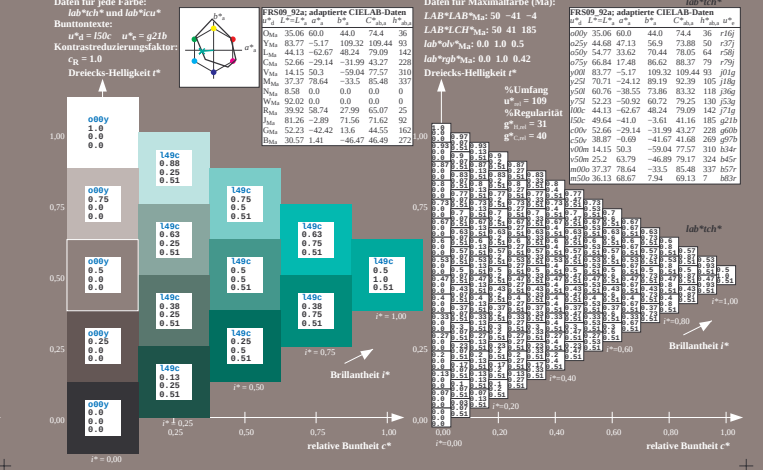

Ein und Ausgabe: Farbmetrisches Drucker-Reflektiv-System FRS09_92, L*=09_92 für relativen CIELAB-Buntton $h^*_{lab}/360 = 0.514$ $u^*_d = g25b$

Daten für jede Farbe: *lab*ch** und *lab*cu**

Buntton: $u^*_d = l50c$ $u^*_e = g21b$

Kontrastreduzierungsfaktor: $c_g = 1.0$

Daten für Maximalfarbe (Ma): *LAB*LAB**$_{Ma}$: 50 −41 −4 *LAB*LCH**$_{Ma}$: 50 41 185 *lab*ovl**$_{Ma}$: 0.0 1.0 0.5 *lab*rgb**$_{Ma}$: 0.0 1.0 0.42

Ein und Ausgabe: Farbmetrisches Drucker-Reflektiv-System FRS09_92, L*=09_92 für relativen CIELAB-Buntton $h^*_{lab}/360 = 0.632$ $u^*_d = g50b$

Daten für jede Farbe: *lab*ch** und *lab*cu**

Buntton: $u^*_d = c00v$ $u^*_e = g60b$

Kontrastreduzierungsfaktor: $c_g = 1.0$

Daten für Maximalfarbe (Ma): *LAB*LAB**$_{Ma}$: 53 −29 −32 *LAB*LCH**$_{Ma}$: 53 43 227 *lab*ovl**$_{Ma}$: 0.0 1.0 1.0 *lab*rgb**$_{Ma}$: 0.0 0.8 1.0

Ein und Ausgabe: Farbmetrisches Drucker-Reflektiv-System FRS09_92, L*=09_92 für relativen CIELAB-Buntton $h^*_{lab}/360 = 0.747$ $u^*_d = g75b$

Daten für jede Farbe: *lab*ch** und *lab*cu**

Buntton: $u^*_d = c50v$ $u^*_e = g97b$

Kontrastreduzierungsfaktor: $c_g = 1.0$

Daten für Maximalfarbe (Ma): *LAB*LAB**$_{Ma}$: 39 −1 −42 *LAB*LCH**$_{Ma}$: 39 42 269 *lab*ovl**$_{Ma}$: 0.0 0.5 1.0 *lab*rgb**$_{Ma}$: 0.0 0.05 1.0

Ein und Ausgabe: Farbmetrisches Drucker-Reflektiv-System FRS09_92, L*=09_92 für relativen CIELAB-Buntton $h^*_{lab}/360 = 0.862$ $u^*_d = b00r$

Daten für jede Farbe: *lab*ch** und *lab*cu**

Buntton: $u^*_d = v00m$ $u^*_e = b34r$

Kontrastreduzierungsfaktor: $c_g = 1.0$

Daten für Maximalfarbe (Ma): *LAB*LAB**$_{Ma}$: 14 50 −59 *LAB*LCH**$_{Ma}$: 14 78 310 *lab*ovl**$_{Ma}$: 0.0 0.0 1.0 *lab*rgb**$_{Ma}$: 0.68 0.0 1.0

Ein und Ausgabe: Farbmetrisches Drucker-Reflektiv-System FRS09_92, L*=09_92 für relativen CIELAB-Buntton $h^*_{lab}/360 = 0.899$ $u^*_d = b25r$

Daten für jede Farbe: *lab*ch** und *lab*cu**

Buntton: $u^*_d = v50m$ $u^*_e = b45r$

Kontrastreduzierungsfaktor: $c_g = 1.0$

Daten für Maximalfarbe (Ma): *LAB*LAB**$_{Ma}$: 25 64 −47 *LAB*LCH**$_{Ma}$: 25 79 323 *lab*ovl**$_{Ma}$: 0.5 0.0 1.0 *lab*rgb**$_{Ma}$: 0.91 0.0 1.0

Ein und Ausgabe: Farbmetrisches Drucker-Reflektiv-System FRS09_92, L*=09_92 für relativen CIELAB-Buntton $h^*_{lab}/360 = 0.936$ $u^*_d = b50r$

Daten für jede Farbe: *lab*ch** und *lab*cu**

Buntton: $u^*_d = m00v$ $u^*_e = b57r$

Kontrastreduzierungsfaktor: $c_g = 1.0$

Daten für Maximalfarbe (Ma): *LAB*LAB**$_{Ma}$: 37 79 −34 *LAB*LCH**$_{Ma}$: 37 85 336 *lab*ovl**$_{Ma}$: 1.0 0.0 1.0 *lab*rgb**$_{Ma}$: 1.0 0.0 0.85

Ein und Ausgabe: Farbmetrisches Drucker-Reflektiv-System FRS09_92, L*=09_92 für relativen CIELAB-Buntton $h^*_{lab}/360 = 0.018$ $u^*_d = b75r$

Daten für jede Farbe: *lab*ch** und *lab*cu**

Buntton: $u^*_d = m50v$ $u^*_e = b83r$

Kontrastreduzierungsfaktor: $c_g = 1.0$

Daten für Maximalfarbe (Ma): *LAB*LAB**$_{Ma}$: 36 69 8 *LAB*LCH**$_{Ma}$: 36 69 6 *lab*ovl**$_{Ma}$: 1.0 0.0 0.5 *lab*rgb**$_{Ma}$: 1.0 0.0 0.33

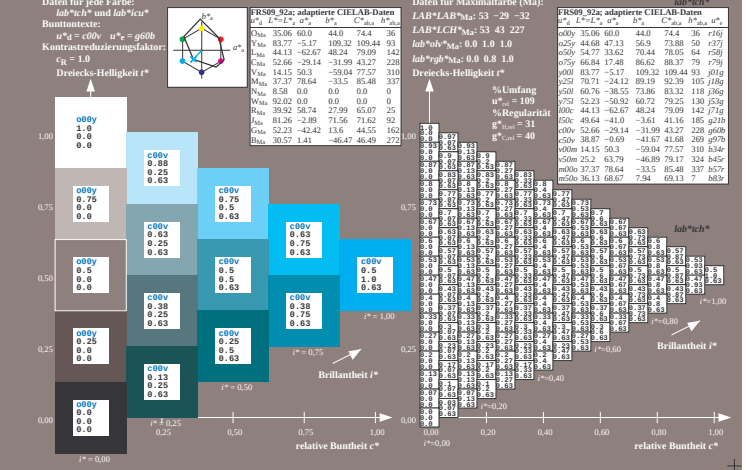

Ein und Ausgabe: Farbmetrisches Drucker-Reflektiv-System FRS09_92, L*=09_92 für relativen CIELAB-Button h^* = *lab*h** = h_{lab}/360 = 0.396 u^*_d = *g00b*

Daten für jede Farbe: *lab*ch** und *lab*icu**

Buntontexte: u^*_d = *l00c* u^*_e = *j71g*

Kontrastreduzierungsfaktor: c_g = 1.0

Dreiecks-Helligkeit t^*

Daten für Maximalfarbe (Ma): *lab*icu**

*LAB*LAB**$_{Ma}$: 44 −63 48

*LAB*LCH**$_{Ma}$: 44 79 142

*lab*ovl**$_{Ma}$: 0.0 1.0 0.0

*lab*rgb**$_{Ma}$: 0.28 1.0 0.0

Dreiecks-Helligkeit t^*

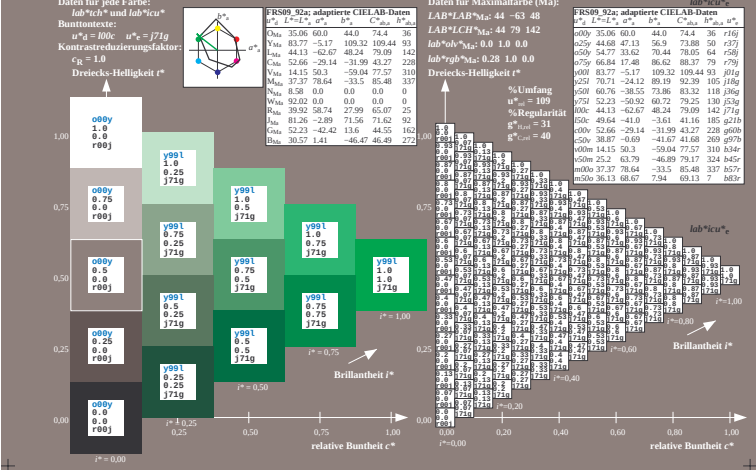

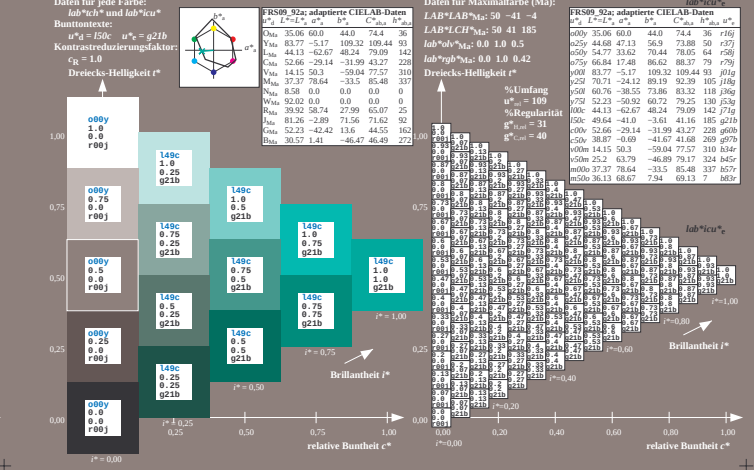

Ein und Ausgabe: Farbmetrisches Drucker-Reflektiv-System FRS09_92, L*=09_92 für relativen CIELAB-Button h^* = *lab*h** = h_{lab}/360 = 0.514 u^*_d = *g25b*

Daten für jede Farbe: *lab*ch** und *lab*icu**

Buntontexte: u^*_d = *g21b* u^*_e = *g21b*

Kontrastreduzierungsfaktor: c_g = 1.0

Dreiecks-Helligkeit t^*

Daten für Maximalfarbe (Ma): *lab*icu**

*LAB*LAB**$_{Ma}$: 50 −41 −4

*LAB*LCH**$_{Ma}$: 50 41 185

*lab*ovl**$_{Ma}$: 0.0 1.0 0.5

*lab*rgb**$_{Ma}$: 0.0 1.0 0.42

Dreiecks-Helligkeit t^*

Ein und Ausgabe: Farbmetrisches Drucker-Reflektiv-System FRS09_92, L*=09_92 für relativen CIELAB-Button h^* = *lab*h** = h_{lab}/360 = 0.632 u^*_d = *g50b*

Daten für jede Farbe: *lab*ch** und *lab*icu**

Buntontexte: u^*_d = *c00v* u^*_e = *g60b*

Kontrastreduzierungsfaktor: c_g = 1.0

Dreiecks-Helligkeit t^*

Daten für Maximalfarbe (Ma): *lab*icu**

*LAB*LAB**$_{Ma}$: 53 −29 −32

*LAB*LCH**$_{Ma}$: 53 43 227

*lab*ovl**$_{Ma}$: 0.0 1.0 1.0

*lab*rgb**$_{Ma}$: 0.0 0.8 1.0

Dreiecks-Helligkeit t^*

Ein und Ausgabe: Farbmetrisches Drucker-Reflektiv-System FRS09_92, L*=09_92 für relativen CIELAB-Button h^* = *lab*h** = h_{lab}/360 = 0.747 u^*_d = *g75b*

Daten für jede Farbe: *lab*ch** und *lab*icu**

Buntontexte: u^*_d = *c50v* u^*_e = *g97b*

Kontrastreduzierungsfaktor: c_g = 1.0

Dreiecks-Helligkeit t^*

Daten für Maximalfarbe (Ma): *lab*icu**

*LAB*LAB**$_{Ma}$: 39 −1 −42

*LAB*LCH**$_{Ma}$: 39 42 269

*lab*ovl**$_{Ma}$: 0.0 0.5 1.0

*lab*rgb**$_{Ma}$: 0.0 0.05 1.0

Dreiecks-Helligkeit t^*

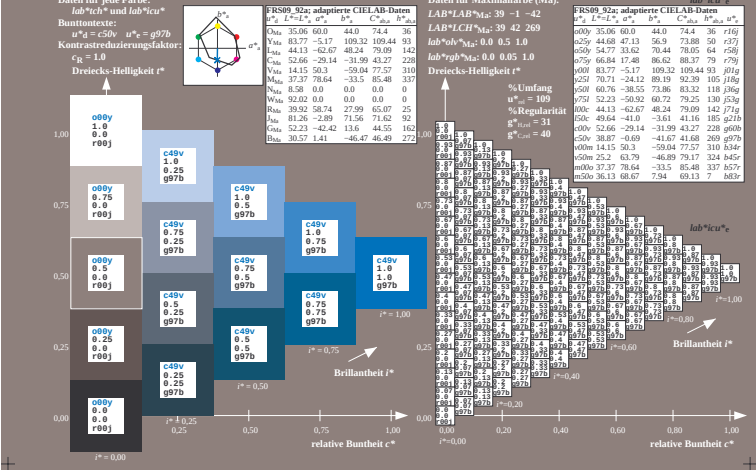

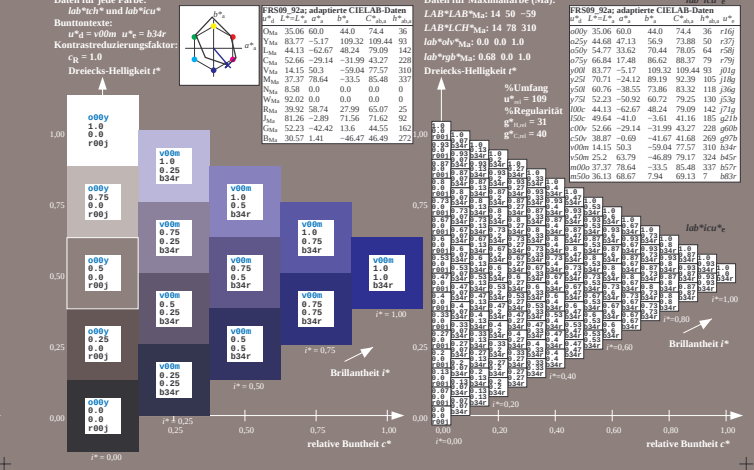

Ein und Ausgabe: Farbmetrisches Drucker-Reflektiv-System FRS09_92, L*=09_92 für relativen CIELAB-Button h^* = *lab*h** = h_{lab}/360 = 0.862 u^*_d = *b00r*

Daten für jede Farbe: *lab*ch** und *lab*icu**

Buntontexte: u^*_d = *v00m* u^*_e = *b34r*

Kontrastreduzierungsfaktor: c_g = 1.0

Dreiecks-Helligkeit t^*

Daten für Maximalfarbe (Ma): *lab*icu**

*LAB*LAB**$_{Ma}$: 14 50 −59

*LAB*LCH**$_{Ma}$: 14 78 310

*lab*ovl**$_{Ma}$: 0.0 0.0 1.0

*lab*rgb**$_{Ma}$: 0.68 0.0 1.0

Dreiecks-Helligkeit t^*

Ein und Ausgabe: Farbmetrisches Drucker-Reflektiv-System FRS09_92, L*=09_92 für relativen CIELAB-Button h^* = *lab*h** = h_{lab}/360 = 0.899 u^*_d = *b25r*

Daten für jede Farbe: *lab*ch** und *lab*icu**

Buntontexte: u^*_d = *v50m* u^*_e = *b45r*

Kontrastreduzierungsfaktor: c_g = 1.0

Dreiecks-Helligkeit t^*

Daten für Maximalfarbe (Ma): *lab*icu**

*LAB*LAB**$_{Ma}$: 25 64 −47

*LAB*LCH**$_{Ma}$: 25 79 323

*lab*ovl**$_{Ma}$: 0.5 0.0 1.0

*lab*rgb**$_{Ma}$: 0.91 0.0 1.0

Dreiecks-Helligkeit t^*

Ein und Ausgabe: Farbmetrisches Drucker-Reflektiv-System FRS09_92, L*=09_92 für relativen CIELAB-Button h^* = *lab*h** = h_{lab}/360 = 0.936 u^*_d = *b50r*

Daten für jede Farbe: *lab*ch** und *lab*icu**

Buntontexte: u^*_d = *m00a* u^*_e = *b57r*

Kontrastreduzierungsfaktor: c_g = 1.0

Dreiecks-Helligkeit t^*

Daten für Maximalfarbe (Ma): *lab*icu**

*LAB*LAB**$_{Ma}$: 37 79 −34

*LAB*LCH**$_{Ma}$: 37 85 336

*lab*ovl**$_{Ma}$: 1.0 0.0 1.0

*lab*rgb**$_{Ma}$: 1.0 0.0 0.85

Dreiecks-Helligkeit t^*

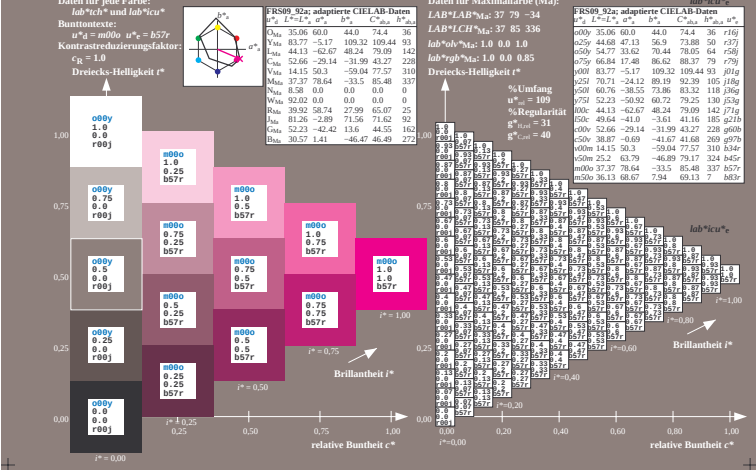

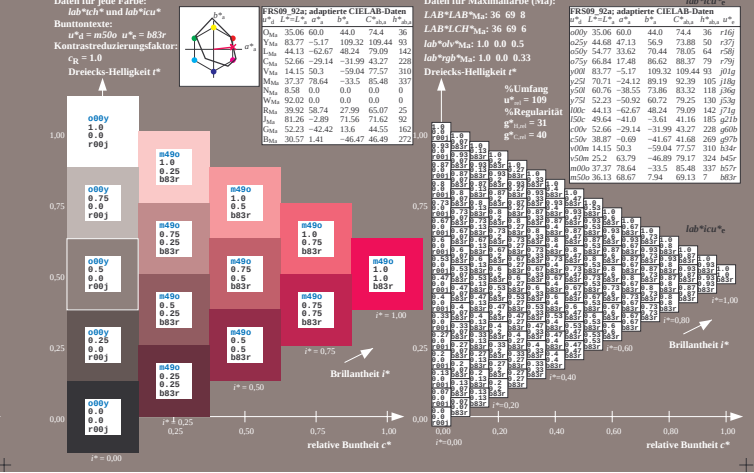

Ein und Ausgabe: Farbmetrisches Drucker-Reflektiv-System FRS09_92, L*=09_92 für relativen CIELAB-Button h^* = *lab*h** = h_{lab}/360 = 0.018 u^*_d = *b75r*

Daten für jede Farbe: *lab*ch** und *lab*icu**

Buntontexte: u^*_d = *m50c* u^*_e = *b83r*

Kontrastreduzierungsfaktor: c_g = 1.0

Dreiecks-Helligkeit t^*

Daten für Maximalfarbe (Ma): *lab*icu**

*LAB*LAB**$_{Ma}$: 36 69 8

*LAB*LCH**$_{Ma}$: 36 69 6

*lab*ovl**$_{Ma}$: 1.0 0.0 0.5

*lab*rgb**$_{Ma}$: 1.0 0.0 0.33

Dreiecks-Helligkeit t^*

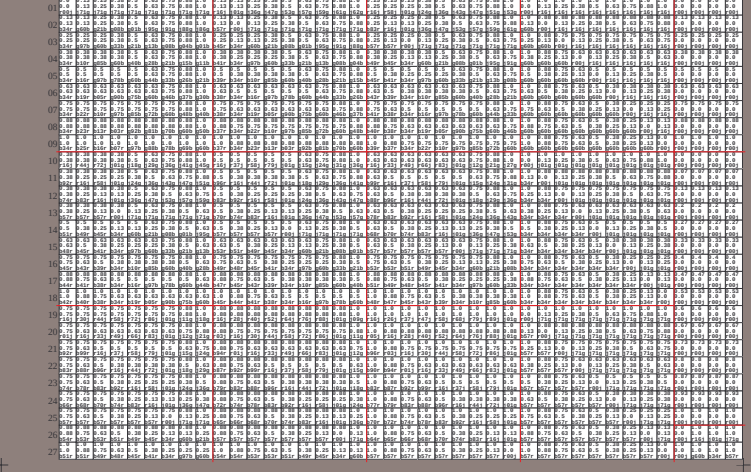

Ein und Ausgabe: Farbmetrisches Drucker-Reflektiv-System FRS09_92, L*=09_92 für relativen CIELAB-Buntton $h^* = lab^*h^* = h_{ab}/360 = 0.396$ $u^*_d = g00b$

Daten für jede Farbe: *lab*ch** und *lab*icu**
Buntton: $u^*_d = l00c$ $u^*_e = j71g$
Kontrastreduzierungsfaktor: $c_g = 1.0$
Dreiecks-Helligkeit t^*

Daten für Maximalfarbe (Ma): $LAB^*LAB^*_{Ma}$: 44 −63 48 $LAB^*LCH^*_{Ma}$: 44 79 142 $lab^*olv^*_{Ma}$: 0.0 1.0 0.0 $lab^*rgb^*_{Ma}$: 0.28 1.0 0.0

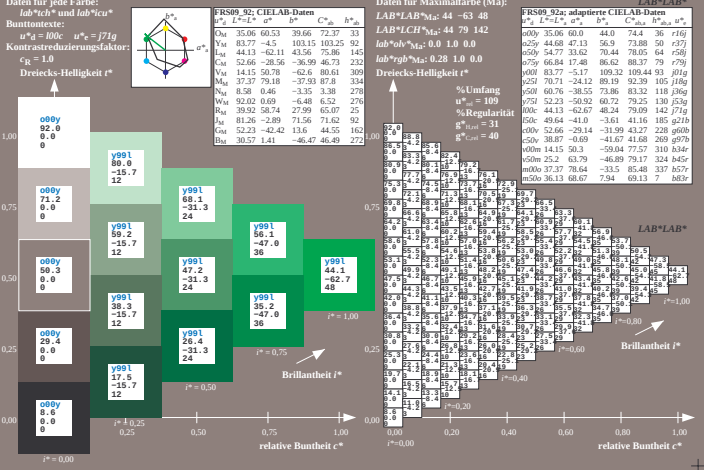

Ein und Ausgabe: Farbmetrisches Drucker-Reflektiv-System FRS09_92, L*=09_92 für relativen CIELAB-Buntton $h^* = lab^*h^* = h_{ab}/360 = 0.514$ $u^*_d = g25b$

Daten für jede Farbe: *lab*ch** und *lab*icu**
Buntton: $u^*_d = l50c$ $u^*_e = g21b$
Kontrastreduzierungsfaktor: $c_g = 1.0$
Dreiecks-Helligkeit t^*

Daten für Maximalfarbe (Ma): $LAB^*LAB^*_{Ma}$: 50 −41 −4 $LAB^*LCH^*_{Ma}$: 50 41 185 $lab^*olv^*_{Ma}$: 0.0 1.0 0.5 $lab^*rgb^*_{Ma}$: 0.0 1.0 0.42

Ein und Ausgabe: Farbmetrisches Drucker-Reflektiv-System FRS09_92, L*=09_92 für relativen CIELAB-Buntton $h^* = lab^*h^* = h_{ab}/360 = 0.632$ $u^*_d = g50b$

Daten für jede Farbe: *lab*ch** und *lab*icu**
Buntton: $u^*_d = c00v$ $u^*_e = g60b$
Kontrastreduzierungsfaktor: $c_g = 1.0$
Dreiecks-Helligkeit t^*

Daten für Maximalfarbe (Ma): $LAB^*LAB^*_{Ma}$: 53 −29 −32 $LAB^*LCH^*_{Ma}$: 53 43 227 $lab^*olv^*_{Ma}$: 0.0 1.0 1.0 $lab^*rgb^*_{Ma}$: 0.0 0.8 1.0

Ein und Ausgabe: Farbmetrisches Drucker-Reflektiv-System FRS09_92, L*=09_92 für relativen CIELAB-Buntton $h^* = lab^*h^* = h_{ab}/360 = 0.747$ $u^*_d = g75b$

Daten für jede Farbe: *lab*ch** und *lab*icu**
Buntton: $u^*_d = c50v$ $u^*_e = g97b$
Kontrastreduzierungsfaktor: $c_g = 1.0$
Dreiecks-Helligkeit t^*

Daten für Maximalfarbe (Ma): $LAB^*LAB^*_{Ma}$: 39 −1 −42 $LAB^*LCH^*_{Ma}$: 39 42 269 $lab^*olv^*_{Ma}$: 0.0 0.5 1.0 $lab^*rgb^*_{Ma}$: 0.0 0.05 1.0

Ein und Ausgabe: Farbmetrisches Drucker-Reflektiv-System FRS09_92, L*=09_92 für relativen CIELAB-Buntton $h^* = lab^*h^* = h_{ab}/360 = 0.862$ $u^*_d = b00r$

Daten für jede Farbe: *lab*ch** und *lab*icu**
Buntton: $u^*_d = v00m$ $u^*_e = b34r$
Kontrastreduzierungsfaktor: $c_g = 1.0$
Dreiecks-Helligkeit t^*

Daten für Maximalfarbe (Ma): $LAB^*LAB^*_{Ma}$: 14 50 −59 $LAB^*LCH^*_{Ma}$: 14 78 310 $lab^*olv^*_{Ma}$: 0.0 0.0 1.0 $lab^*rgb^*_{Ma}$: 0.68 0.0 1.0

Ein und Ausgabe: Farbmetrisches Drucker-Reflektiv-System FRS09_92, L*=09_92 für relativen CIELAB-Buntton $h^* = lab^*h^* = h_{ab}/360 = 0.899$ $u^*_d = b25r$

Daten für jede Farbe: *lab*ch** und *lab*icu**
Buntton: $u^*_d = v50m$ $u^*_e = b45r$
Kontrastreduzierungsfaktor: $c_g = 1.0$
Dreiecks-Helligkeit t^*

Daten für Maximalfarbe (Ma): $LAB^*LAB^*_{Ma}$: 25 64 −47 $LAB^*LCH^*_{Ma}$: 25 79 323 $lab^*olv^*_{Ma}$: 0.5 0.0 1.0 $lab^*rgb^*_{Ma}$: 0.91 0.0 1.0

Ein und Ausgabe: Farbmetrisches Drucker-Reflektiv-System FRS09_92, L*=09_92 für relativen CIELAB-Buntton $h^* = lab^*h^* = h_{ab}/360 = 0.936$ $u^*_d = b50r$

Daten für jede Farbe: *lab*ch** und *lab*icu**
Buntton: $u^*_d = m00a$ $u^*_e = b57r$
Kontrastreduzierungsfaktor: $c_g = 1.0$
Dreiecks-Helligkeit t^*

Daten für Maximalfarbe (Ma): $LAB^*LAB^*_{Ma}$: 37 79 −34 $LAB^*LCH^*_{Ma}$: 37 85 336 $lab^*olv^*_{Ma}$: 1.0 0.0 1.0 $lab^*rgb^*_{Ma}$: 1.0 0.0 0.85

Ein und Ausgabe: Farbmetrisches Drucker-Reflektiv-System FRS09_92, L*=09_92 für relativen CIELAB-Buntton $h^* = lab^*h^* = h_{ab}/360 = 0.018$ $u^*_d = b75r$

Daten für jede Farbe: *lab*ch** und *lab*icu**
Buntton: $u^*_d = m50o$ $u^*_e = b83r$
Kontrastreduzierungsfaktor: $c_g = 1.0$
Dreiecks-Helligkeit t^*

Daten für Maximalfarbe (Ma): $LAB^*LAB^*_{Ma}$: 36 69 8 $LAB^*LCH^*_{Ma}$: 36 69 6 $lab^*olv^*_{Ma}$: 1.0 0.0 0.5 $lab^*rgb^*_{Ma}$: 1.0 0.0 0.33

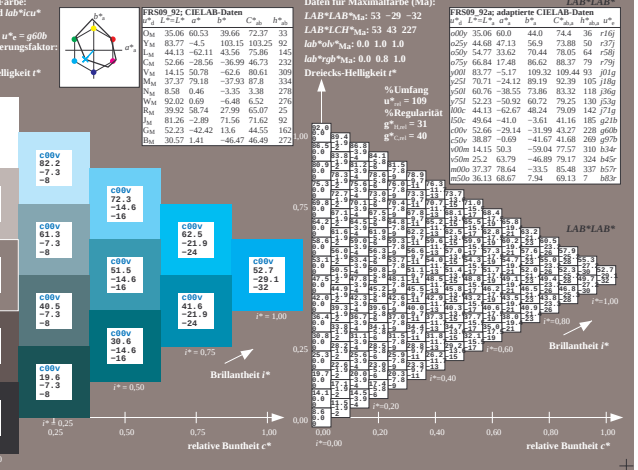

Ein und Ausgabe: Farbmetrisches Drucker-Reflektiv-System FRS09_92, L*=09_92 für relativen CIELAB-Buntton $h^* = lab^*h^* = h_{ab}/360 = 0.396$ $u^*_d = g00b$ lab^*ov^{**}

Daten für jede Farbe: *lab*ch* und lab*icu**
Buntton: $u^*_d = l00c$ $u^*_e = j71g$
Kontrastreduzierungsfaktor: $c^*_R = 1.0$
Dreiecks-Helligkeit t^*

Daten für Maximalfarbe (Ma):
$LAB^*LAB^*_{Ma}$: 44 −63 48
$LAB^*LCH^*_{Ma}$: 44 79 142
$lab^*ov^*_{Ma}$: 0.0 1.0 0.0
$lab^*rgb^*_{Ma}$: 0.28 1.0 0.0

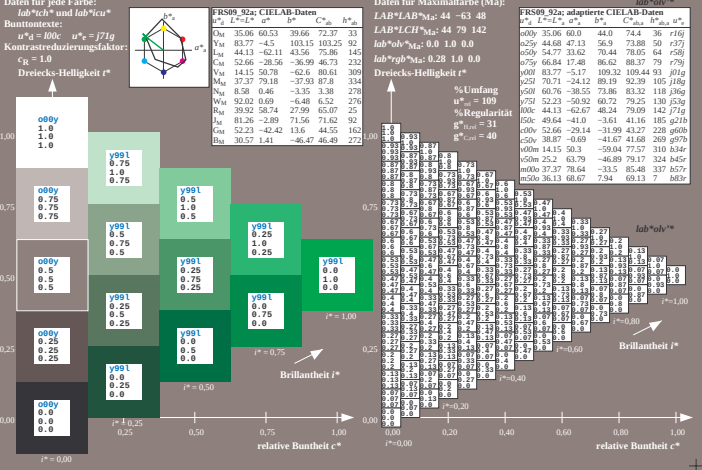

Ein und Ausgabe: Farbmetrisches Drucker-Reflektiv-System FRS09_92, L*=09_92 für relativen CIELAB-Buntton $h^* = lab^*h^* = h_{ab}/360 = 0.514$ $u^*_d = g25b$ lab^*ov^{**}

Daten für jede Farbe: *lab*ch* und lab*icu**
Buntton: $u^*_d = l50c$ $u^*_e = g21b$
Kontrastreduzierungsfaktor: $c^*_R = 1.0$
Dreiecks-Helligkeit t^*

Daten für Maximalfarbe (Ma):
$LAB^*LAB^*_{Ma}$: 50 −41 −4
$LAB^*LCH^*_{Ma}$: 50 41 185
$lab^*ov^*_{Ma}$: 0.0 1.0 0.5
$lab^*rgb^*_{Ma}$: 0.0 1.0 0.42

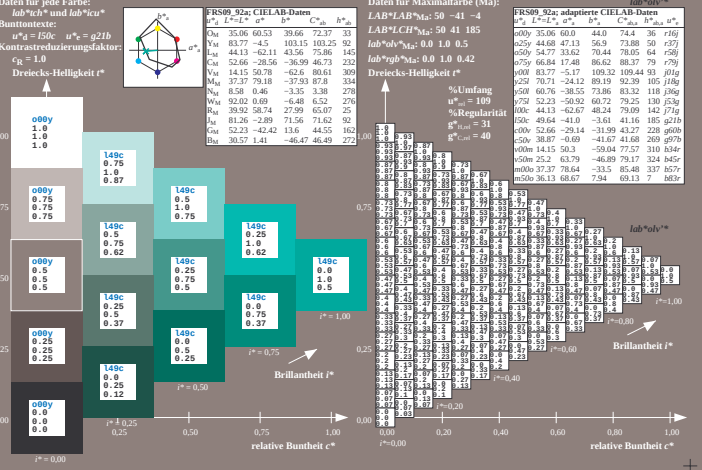

Ein und Ausgabe: Farbmetrisches Drucker-Reflektiv-System FRS09_92, L*=09_92 für relativen CIELAB-Buntton $h^* = lab^*h^* = h_{ab}/360 = 0.632$ $u^*_d = g50b$ lab^*ov^{**}

Daten für jede Farbe: *lab*ch* und lab*icu**
Buntton: $u^*_d = c00v$ $u^*_e = g60b$
Kontrastreduzierungsfaktor: $c^*_R = 1.0$
Dreiecks-Helligkeit t^*

Daten für Maximalfarbe (Ma):
$LAB^*LAB^*_{Ma}$: 53 −29 −32
$LAB^*LCH^*_{Ma}$: 53 43 227
$lab^*ov^*_{Ma}$: 0.0 1.0 1.0
$lab^*rgb^*_{Ma}$: 0.0 0.8 1.0

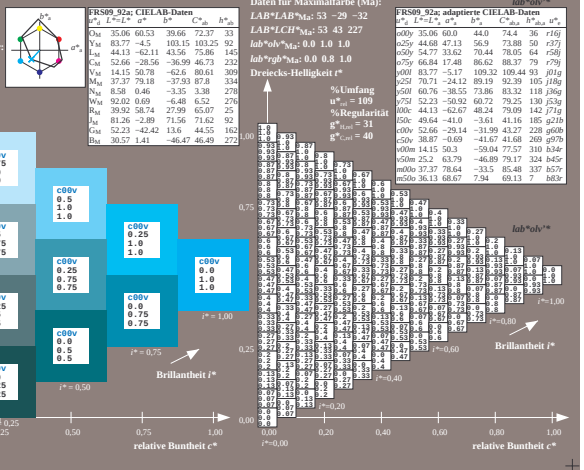

Ein und Ausgabe: Farbmetrisches Drucker-Reflektiv-System FRS09_92, L*=09_92 für relativen CIELAB-Buntton $h^* = lab^*h^* = h_{ab}/360 = 0.747$ $u^*_d = g75b$ lab^*ov^{**}

Daten für jede Farbe: *lab*ch* und lab*icu**
Buntton: $u^*_d = c50v$ $u^*_e = g97b$
Kontrastreduzierungsfaktor: $c^*_R = 1.0$
Dreiecks-Helligkeit t^*

Daten für Maximalfarbe (Ma):
$LAB^*LAB^*_{Ma}$: 39 −1 −42
$LAB^*LCH^*_{Ma}$: 39 42 269
$lab^*ov^*_{Ma}$: 0.0 0.5 1.0
$lab^*rgb^*_{Ma}$: 0.0 0.05 1.0

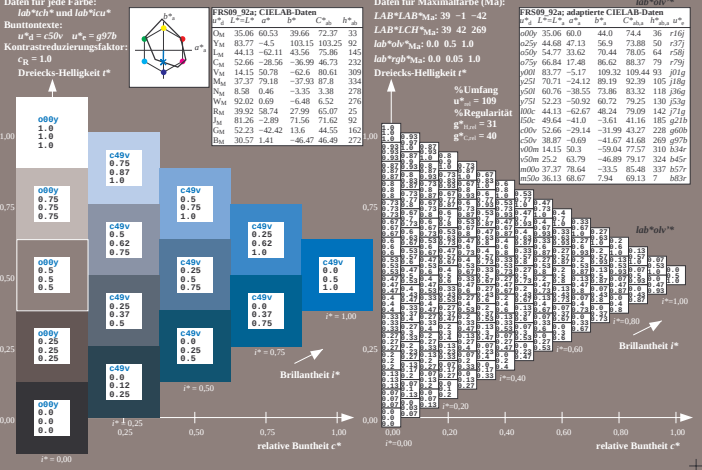

Ein und Ausgabe: Farbmetrisches Drucker-Reflektiv-System FRS09_92, L*=09_92 für relativen CIELAB-Buntton $h^* = lab^*h^* = h_{ab}/360 = 0.862$ $u^*_d = b00r$ lab^*ov^{**}

Daten für jede Farbe: *lab*ch* und lab*icu**
Buntton: $u^*_d = v00m$ $u^*_e = b34r$
Kontrastreduzierungsfaktor: $c^*_R = 1.0$
Dreiecks-Helligkeit t^*

Daten für Maximalfarbe (Ma):
$LAB^*LAB^*_{Ma}$: 14 50 −59
$LAB^*LCH^*_{Ma}$: 14 78 310
$lab^*ov^*_{Ma}$: 0.0 0.0 1.0
$lab^*rgb^*_{Ma}$: 0.68 0.0 1.4

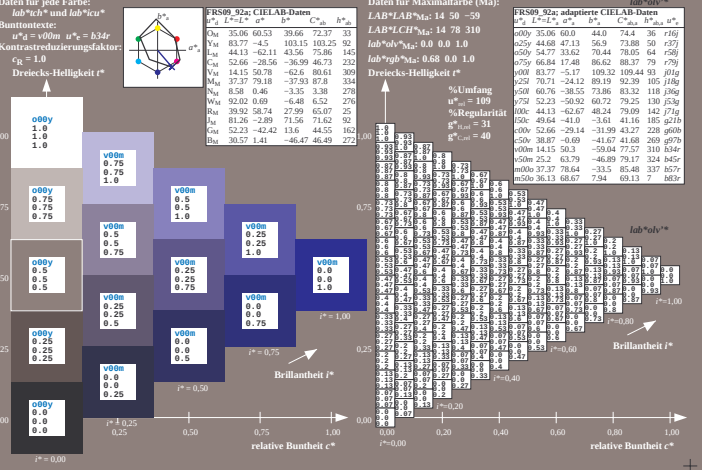

Ein und Ausgabe: Farbmetrisches Drucker-Reflektiv-System FRS09_92, L*=09_92 für relativen CIELAB-Buntton $h^* = lab^*h^* = h_{ab}/360 = 0.899$ $u^*_d = b25r$ lab^*ov^{**}

Daten für jede Farbe: *lab*ch* und lab*icu**
Buntton: $u^*_d = v50m$ $u^*_e = b45r$
Kontrastreduzierungsfaktor: $c^*_R = 1.0$
Dreiecks-Helligkeit t^*

Daten für Maximalfarbe (Ma):
$LAB^*LAB^*_{Ma}$: 25 64 −47
$LAB^*LCH^*_{Ma}$: 25 79 323
$lab^*ov^*_{Ma}$: 0.5 0.0 1.0
$lab^*rgb^*_{Ma}$: 0.91 0.0 1.0

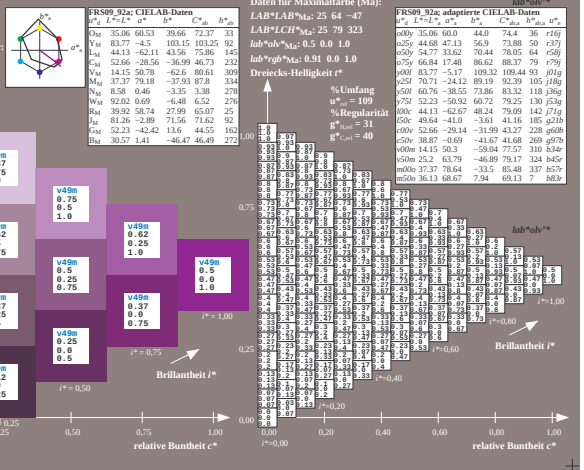

Ein und Ausgabe: Farbmetrisches Drucker-Reflektiv-System FRS09_92, L*=09_92 für relativen CIELAB-Buntton $h^* = lab^*h^* = h_{ab}/360 = 0.936$ $u^*_d = b50r$ lab^*ov^{**}

Daten für jede Farbe: *lab*ch* und lab*icu**
Buntton: $u^*_d = m00o$ $u^*_e = b57r$
Kontrastreduzierungsfaktor: $c^*_R = 1.0$
Dreiecks-Helligkeit t^*

Daten für Maximalfarbe (Ma):
$LAB^*LAB^*_{Ma}$: 37 79 −34
$LAB^*LCH^*_{Ma}$: 37 85 336
$lab^*ov^*_{Ma}$: 1.0 0.0 1.0
$lab^*rgb^*_{Ma}$: 1.0 0.0 0.85

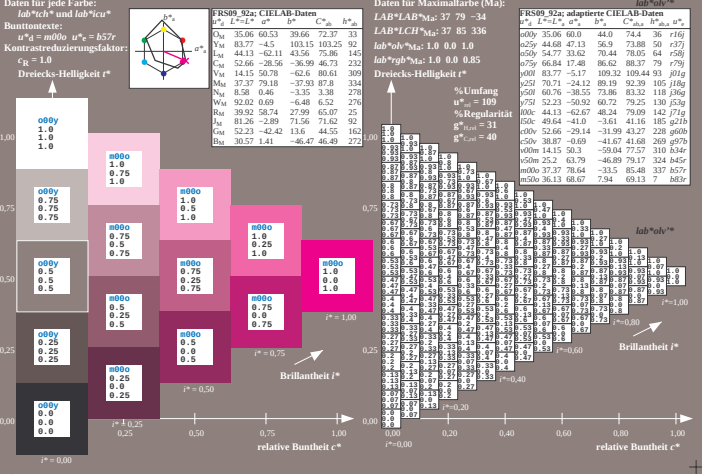

Ein und Ausgabe: Farbmetrisches Drucker-Reflektiv-System FRS09_92, L*=09_92 für relativen CIELAB-Buntton $h^* = lab^*h^* = h_{ab}/360 = 0.018$ $u^*_d = b75r$ lab^*ov^{**}

Daten für jede Farbe: *lab*ch* und lab*icu**
Buntton: $u^*_d = m50o$ $u^*_e = b83r$
Kontrastreduzierungsfaktor: $c^*_R = 1.0$
Dreiecks-Helligkeit t^*

Daten für Maximalfarbe (Ma):
$LAB^*LAB^*_{Ma}$: 36 69 8
$LAB^*LCH^*_{Ma}$: 36 69 6
$lab^*ov^*_{Ma}$: 1.0 0.0 0.5
$lab^*rgb^*_{Ma}$: 1.0 0.0 0.33

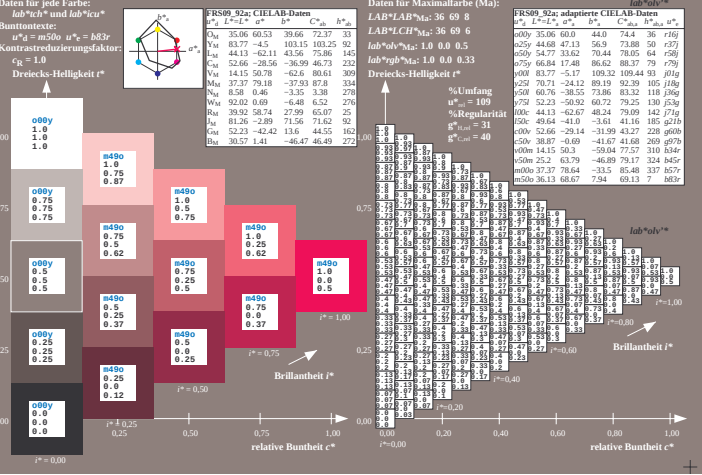

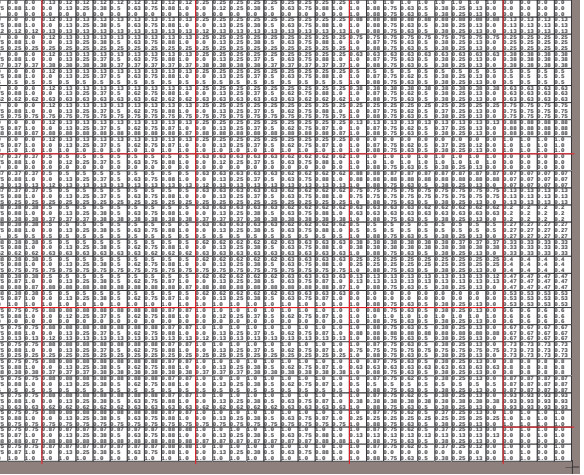

Ein und Ausgabe: Farbmetrisches Drucker-Reflektiv-System FRS09_92, L*=09_92 für relativen CIELAB-Buntton $h^* = lab^*h^* = h_{ab}/360 = 0.396$ $u^*_d = g00b$

Daten für jede Farbe:
*lab*ch** und *lab*icu**
Buntton texte:
$u^*_d = l00c$ $u^*_e = j71g$
Kontrastreduzierungsfaktor:
$c_R = 1.0$
Dreiecks-Helligkeit t^*

Daten für Maximalfarbe (Ma):
$LAB^*LAB^*_{Ma}$: 44 −63 48
$LAB^*LCH^*_{Ma}$: 44 79 142
$lab^*olv^*_{Ma}$: 0.0 1.0 0.0
$lab^*rgb^*_{Ma}$: 0.28 1.0 0.0
Dreiecks-Helligkeit t^*

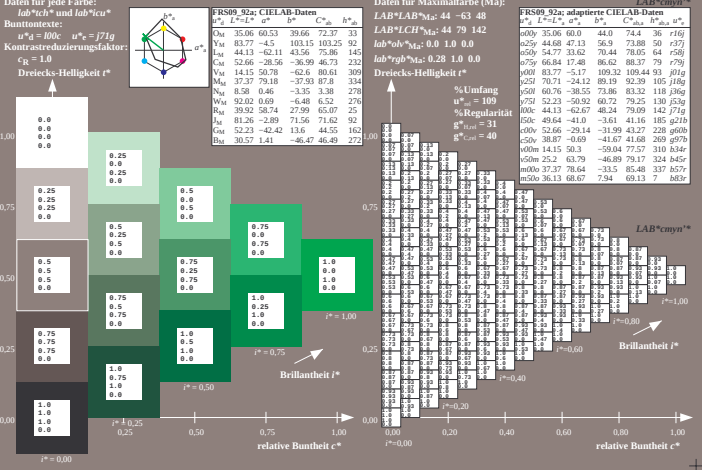

FRS09_92a: CIELAB-Daten

	$L^*=L^*$	a^*	b^*	C^*_{ab}	h^*_{ab}
O_{bj}	35.06	60.53	39.66	72.37	33
Y_{bl}	83.77	−4.5	103.15	103.25	92
L_{bl}	44.13	−62.11	43.56	75.86	145
C_{bl}	52.66	−28.56	−36.99	46.73	232
V_{bl}	14.15	50.78	−62.6	80.61	309
M_{bl}	37.37	79.18	−37.93	87.8	334
N_{bl}	8.58	0.46	−3.35	3.38	278
W_{bl}	92.02	0.69	−6.48	6.52	276
R_{bl}	39.92	58.74	27.99	65.07	25
J_{bl}	81.26	−2.89	71.56	71.62	92
G_{bl}	52.23	−42.42	13.6	44.55	162
B_{bl}	30.57	1.41	−46.47	46.49	272

FRS09_92a; adaptierte CIELAB-Daten

	a^*_d	$L^*=L^*$	a^*	b^*	$C^*_{ab,a}$	$h^*_{ab,a}$	u^*_e
O_{bj}	35.06	60.53	39.66	72.37	33		
Y_{bl}	83.77	−4.5	103.15	103.25	92		
L_{bl}	44.13	−62.11	43.56	75.86	145		
C_{bl}	52.66	−28.56	−36.99	46.73	232		
V_{bl}	14.15	50.78	−62.6	80.61	309		
M_{bl}	37.37	79.18	−37.93	87.8	334		
N_{bl}	8.58	0.46	−3.35	3.38	278		
W_{bl}	92.02	0.69	−6.48	6.52	276		
R_{bl}	39.92	58.74	27.99	65.07	25		
J_{bl}	81.26	−2.89	71.56	71.62	92		
G_{bl}	52.23	−42.42	13.6	44.55	162		
B_{bl}	30.57	1.41	−46.47	46.49	272		
c_{00y}	35.06	60.0	44.0	74.4	36	$r16j$	
$o25y$	44.68	47.13	56.9	73.88	50	$r37j$	
$o50y$	54.77	33.62	70.44	78.05	64	$r58j$	
$o75y$	66.84	17.48	86.62	88.37	79	$r79j$	
$y00l$	83.77	−5.17	109.32	109.44	93	$j01g$	
$y25l$	70.71	−24.12	89.19	92.39	105	$j18g$	
$y50l$	60.76	−38.55	73.86	83.32	118	$j36g$	
$y75l$	52.23	−50.92	60.72	79.25	130	$j53g$	
$l00c$	44.13	−62.67	48.24	79.09	142	$j71g$	
$l50c$	49.64	−41.0	−3.61	41.16	185	$g21b$	
$c00c$	52.66	−29.14	−31.99	43.27	228	$g60b$	
$c50v$	38.87	−0.69	−41.67	41.68	269	$g97b$	
$v00m$	14.15	50.3	−59.04	77.57	310	$b34r$	
$v50m$	25.2	63.79	−46.89	79.17	324	$b45r$	
$m00o$	37.37	78.64	−33.5	85.48	337	$b57r$	
$m50o$	36.13	68.67	7.94	69.13	7	$b83r$	

Ein und Ausgabe: Farbmetrisches Drucker-Reflektiv-System FRS09_92, L*=09_92 für relativen CIELAB-Buntton $h^* = lab^*h^* = h_{ab}/360 = 0.514$ $u^*_d = g25b$

Daten für jede Farbe:
*lab*ch** und *lab*icu**
Buntton texte:
$u^*_d = l50c$ $u^*_e = g21b$
Kontrastreduzierungsfaktor:
$c_R = 1.0$
Dreiecks-Helligkeit t^*

Daten für Maximalfarbe (Ma):
$LAB^*LAB^*_{Ma}$: 50 −41 −4
$LAB^*LCH^*_{Ma}$: 50 41 185
$lab^*olv^*_{Ma}$: 0.0 1.0 0.5
$lab^*rgb^*_{Ma}$: 0.0 1.0 0.42
Dreiecks-Helligkeit t^*

FRS09_92a: CIELAB-Daten

	$L^*=L^*$	a^*	b^*	C^*_{ab}	h^*_{ab}
O_{bj}	35.06	60.53	39.66	72.37	33
Y_{bl}	83.77	−4.5	103.15	103.25	92
L_{bl}	44.13	−62.11	43.56	75.86	145
C_{bl}	52.66	−28.56	−36.99	46.73	232
V_{bl}	14.15	50.78	−62.6	80.61	309
M_{bl}	37.37	79.18	−37.93	87.8	334
N_{bl}	8.58	0.46	−3.35	3.38	278
W_{bl}	92.02	0.69	−6.48	6.52	276
R_{bl}	39.92	58.74	27.99	65.07	25
J_{bl}	81.26	−2.89	71.56	71.62	92
G_{bl}	52.23	−42.42	13.6	44.55	162
B_{bl}	30.57	1.41	−46.47	46.49	272

FRS09_92a; adaptierte CIELAB-Daten

	a^*_d	$L^*=L^*$	a^*	b^*	$C^*_{ab,a}$	$h^*_{ab,a}$	u^*_e
O_{bj}	35.06	60.53	39.66	72.37	33		
Y_{bl}	83.77	−4.5	103.15	103.25	92		
L_{bl}	44.13	−62.11	43.56	75.86	145		
C_{bl}	52.66	−28.56	−36.99	46.73	232		
V_{bl}	14.15	50.78	−62.6	80.61	309		
M_{bl}	37.37	79.18	−37.93	87.8	334		
N_{bl}	8.58	0.46	−3.35	3.38	278		
W_{bl}	92.02	0.69	−6.48	6.52	276		
R_{bl}	39.92	58.74	27.99	65.07	25		
J_{bl}	81.26	−2.89	71.56	71.62	92		
G_{bl}	52.23	−42.42	13.6	44.55	162		
B_{bl}	30.57	1.41	−46.47	46.49	272		
$c00y$	35.06	60.0	44.0	74.4	36	$r16j$	
$o25y$	44.68	47.13	56.9	73.88	50	$r37j$	
$o50y$	54.77	33.62	70.44	78.05	64	$r58j$	
$o75y$	66.84	17.48	86.62	88.37	79	$r79j$	
$y00l$	83.77	−5.17	109.32	109.44	93	$j01g$	
$y25l$	70.71	−24.12	89.19	92.39	105	$j18g$	
$y50l$	60.76	−38.55	73.86	83.32	118	$j36g$	
$y75l$	52.23	−50.92	60.72	79.25	130	$j53g$	
$l00c$	44.13	−62.67	48.24	79.09	142	$j71g$	
$l50c$	49.64	−41.0	−3.61	41.16	185	$g21b$	
$c00c$	52.66	−29.14	−31.99	43.27	228	$g60b$	
$c50v$	38.87	−0.69	−41.67	41.68	269	$g97b$	
$v00m$	14.15	50.3	−59.04	77.57	310	$b34r$	
$v50m$	25.2	63.79	−46.89	79.17	324	$b45r$	
$m00o$	37.37	78.64	−33.5	85.48	337	$b57r$	
$m50o$	36.13	68.67	7.94	69.13	7	$b83r$	

Ein und Ausgabe: Farbmetrisches Drucker-Reflektiv-System FRS09_92, L*=09_92 für relativen CIELAB-Buntton $h^* = lab^*h^* = h_{ab}/360 = 0.632$ $u^*_d = g50b$

Daten für jede Farbe:
*lab*ch** und *lab*icu**
Buntton texte:
$u^*_d = c00v$ $u^*_e = g60b$
Kontrastreduzierungsfaktor:
$c_R = 1.0$
Dreiecks-Helligkeit t^*

Daten für Maximalfarbe (Ma):
$LAB^*LAB^*_{Ma}$: 53 −29 −32
$LAB^*LCH^*_{Ma}$: 53 43 227
$lab^*olv^*_{Ma}$: 0.0 1.0 1.0
$lab^*rgb^*_{Ma}$: 0.0 0.8 1.0
Dreiecks-Helligkeit t^*

FRS09_92a: CIELAB-Daten

	$L^*=L^*$	a^*	b^*	C^*_{ab}	h^*_{ab}
O_{bj}	35.06	60.53	39.66	72.37	33
Y_{bl}	83.77	−4.5	103.15	103.25	92
L_{bl}	44.13	−62.11	43.56	75.86	145
C_{bl}	52.66	−28.56	−36.99	46.73	232
V_{bl}	14.15	50.78	−62.6	80.61	309
M_{bl}	37.37	79.18	−37.93	87.8	334
N_{bl}	8.58	0.46	−3.35	3.38	278
W_{bl}	92.02	0.69	−6.48	6.52	276
R_{bl}	39.92	58.74	27.99	65.07	25
J_{bl}	81.26	−2.89	71.56	71.62	92
G_{bl}	52.23	−42.42	13.6	44.55	162
B_{bl}	30.57	1.41	−46.47	46.49	272

FRS09_92a; adaptierte CIELAB-Daten

	a^*_d	$L^*=L^*$	a^*	b^*	$C^*_{ab,a}$	$h^*_{ab,a}$	u^*_e
O_{bj}	35.06	60.53	39.66	72.37	33		
Y_{bl}	83.77	−4.5	103.15	103.25	92		
L_{bl}	44.13	−62.11	43.56	75.86	145		
C_{bl}	52.66	−28.56	−36.99	46.73	232		
V_{bl}	14.15	50.78	−62.6	80.61	309		
M_{bl}	37.37	79.18	−37.93	87.8	334		
N_{bl}	8.58	0.46	−3.35	3.38	278		
W_{bl}	92.02	0.69	−6.48	6.52	276		
R_{bl}	39.92	58.74	27.99	65.07	25		
J_{bl}	81.26	−2.89	71.56	71.62	92		
G_{bl}	52.23	−42.42	13.6	44.55	162		
B_{bl}	30.57	1.41	−46.47	46.49	272		
$c00y$	35.06	60.0	44.0	74.4	36	$r16j$	
$o25y$	44.68	47.13	56.9	73.88	50	$r37j$	
$o50y$	54.77	33.62	70.44	78.05	64	$r58j$	
$o75y$	66.84	17.48	86.62	88.37	79	$r79j$	
$y00l$	83.77	−5.17	109.32	109.44	93	$j01g$	
$y25l$	70.71	−24.12	89.19	92.39	105	$j18g$	
$y50l$	60.76	−38.55	73.86	83.32	118	$j36g$	
$y75l$	52.23	−50.92	60.72	79.25	130	$j53g$	
$l00c$	44.13	−62.67	48.24	79.09	142	$j71g$	
$l50c$	49.64	−41.0	−3.61	41.16	185	$g21b$	
$c00c$	52.66	−29.14	−31.99	43.27	228	$g60b$	
$c50v$	38.87	−0.69	−41.67	41.68	269	$g97b$	
$v00m$	14.15	50.3	−59.04	77.57	310	$b34r$	
$v50m$	25.2	63.79	−46.89	79.17	324	$b45r$	
$m00o$	37.37	78.64	−33.5	85.48	337	$b57r$	
$m50o$	36.13	68.67	7.94	69.13	7	$b83r$	

Ein und Ausgabe: Farbmetrisches Drucker-Reflektiv-System FRS09_92, L*=09_92 für relativen CIELAB-Buntton $h^* = lab^*h^* = h_{ab}/360 = 0.747$ $u^*_d = g75b$

Daten für jede Farbe:
*lab*ch** und *lab*icu**
Buntton texte:
$u^*_d = c50v$ $u^*_e = g97b$
Kontrastreduzierungsfaktor:
$c_R = 1.0$
Dreiecks-Helligkeit t^*

Daten für Maximalfarbe (Ma):
$LAB^*LAB^*_{Ma}$: 39 −1 −42
$LAB^*LCH^*_{Ma}$: 39 42 269
$lab^*olv^*_{Ma}$: 0.0 0.5 1.0
$lab^*rgb^*_{Ma}$: 0.0 0.05 1.0
Dreiecks-Helligkeit t^*

FRS09_92a: CIELAB-Daten

	$L^*=L^*$	a^*	b^*	C^*_{ab}	h^*_{ab}
O_{bj}	35.06	60.53	39.66	72.37	33
Y_{bl}	83.77	−4.5	103.15	103.25	92
L_{bl}	44.13	−62.11	43.56	75.86	145
C_{bl}	52.66	−28.56	−36.99	46.73	232
V_{bl}	14.15	50.78	−62.6	80.61	309
M_{bl}	37.37	79.18	−37.93	87.8	334
N_{bl}	8.58	0.46	−3.35	3.38	278
W_{bl}	92.02	0.69	−6.48	6.52	276
R_{bl}	39.92	58.74	27.99	65.07	25
J_{bl}	81.26	−2.89	71.56	71.62	92
G_{bl}	52.23	−42.42	13.6	44.55	162
B_{bl}	30.57	1.41	−46.47	46.49	272

FRS09_92a; adaptierte CIELAB-Daten

	a^*_d	$L^*=L^*$	a^*	b^*	$C^*_{ab,a}$	$h^*_{ab,a}$	u^*_e
O_{bj}	35.06	60.53	39.66	72.37	33		
Y_{bl}	83.77	−4.5	103.15	103.25	92		
L_{bl}	44.13	−62.11	43.56	75.86	145		
C_{bl}	52.66	−28.56	−36.99	46.73	232		
V_{bl}	14.15	50.78	−62.6	80.61	309		
M_{bl}	37.37	79.18	−37.93	87.8	334		
N_{bl}	8.58	0.46	−3.35	3.38	278		
W_{bl}	92.02	0.69	−6.48	6.52	276		
R_{bl}	39.92	58.74	27.99	65.07	25		
J_{bl}	81.26	−2.89	71.56	71.62	92		
G_{bl}	52.23	−42.42	13.6	44.55	162		
B_{bl}	30.57	1.41	−46.47	46.49	272		
$c00y$	35.06	60.0	44.0	74.4	36	$r16j$	
$o25y$	44.68	47.13	56.9	73.88	50	$r37j$	
$o50y$	54.77	33.62	70.44	78.05	64	$r58j$	
$o75y$	66.84	17.48	86.62	88.37	79	$r79j$	
$y00l$	83.77	−5.17	109.32	109.44	93	$j01g$	
$y25l$	70.71	−24.12	89.19	92.39	105	$j18g$	
$y50l$	60.76	−38.55	73.86	83.32	118	$j36g$	
$y75l$	52.23	−50.92	60.72	79.25	130	$j53g$	
$l00c$	44.13	−62.67	48.24	79.09	142	$j71g$	
$l50c$	49.64	−41.0	−3.61	41.16	185	$g21b$	
$c00c$	52.66	−29.14	−31.99	43.27	228	$g60b$	
$c50v$	38.87	−0.69	−41.67	41.68	269	$g97b$	
$v00m$	14.15	50.3	−59.04	77.57	310	$b34r$	
$v50m$	25.2	63.79	−46.89	79.17	324	$b45r$	
$m00o$	37.37	78.64	−33.5	85.48	337	$b57r$	
$m50o$	36.13	68.67	7.94	69.13	7	$b83r$	

Ein und Ausgabe: Farbmetrisches Drucker-Reflektiv-System FRS09_92, L*=09_92 für relativen CIELAB-Buntton $h^* = lab^*h^* = h_{ab}/360 = 0.862$ $u^*_d = b00r$

Daten für jede Farbe:
*lab*ch** und *lab*icu**
Buntton texte:
$u^*_d = v00m$ $u^*_e = b34r$
Kontrastreduzierungsfaktor:
$c_R = 1.0$
Dreiecks-Helligkeit t^*

Daten für Maximalfarbe (Ma):
$LAB^*LAB^*_{Ma}$: 14 50 −59
$LAB^*LCH^*_{Ma}$: 14 78 310
$lab^*olv^*_{Ma}$: 0.0 0.0 1.0
$lab^*rgb^*_{Ma}$: 0.68 0.0 1.0
Dreiecks-Helligkeit t^*

FRS09_92a: CIELAB-Daten

	$L^*=L^*$	a^*	b^*	C^*_{ab}	h^*_{ab}
O_{bj}	35.06	60.53	39.66	72.37	33
Y_{bl}	83.77	−4.5	103.15	103.25	92
L_{bl}	44.13	−62.11	43.56	75.86	145
C_{bl}	52.66	−28.56	−36.99	46.73	232
V_{bl}	14.15	50.78	−62.6	80.61	309
M_{bl}	37.37	79.18	−37.93	87.8	334
N_{bl}	8.58	0.46	−3.35	3.38	278
W_{bl}	92.02	0.69	−6.48	6.52	276
R_{bl}	39.92	58.74	27.99	65.07	25
J_{bl}	81.26	−2.89	71.56	71.62	92
G_{bl}	52.23	−42.42	13.6	44.55	162
B_{bl}	30.57	1.41	−46.47	46.49	272

FRS09_92a; adaptierte CIELAB-Daten

	a^*_d	$L^*=L^*$	a^*	b^*	$C^*_{ab,a}$	$h^*_{ab,a}$	u^*_e
O_{bj}	35.06	60.53	39.66	72.37	33		
Y_{bl}	83.77	−4.5	103.15	103.25	92		
L_{bl}	44.13	−62.11	43.56	75.86	145		
C_{bl}	52.66	−28.56	−36.99	46.73	232		
V_{bl}	14.15	50.78	−62.6	80.61	309		
M_{bl}	37.37	79.18	−37.93	87.8	334		
N_{bl}	8.58	0.46	−3.35	3.38	278		
W_{bl}	92.02	0.69	−6.48	6.52	276		
R_{bl}	39.92	58.74	27.99	65.07	25		
J_{bl}	81.26	−2.89	71.56	71.62	92		
G_{bl}	52.23	−42.42	13.6	44.55	162		
B_{bl}	30.57	1.41	−46.47	46.49	272		
$c00y$	35.06	60.0	44.0	74.4	36	$r16j$	
$o25y$	44.68	47.13	56.9	73.88	50	$r37j$	
$o50y$	54.77	33.62	70.44	78.05	64	$r58j$	
$o75y$	66.84	17.48	86.62	88.37	79	$r79j$	
$y00l$	83.77	−5.17	109.32	109.44	93	$j01g$	
$y25l$	70.71	−24.12	89.19	92.39	105	$j18g$	
$y50l$	60.76	−38.55	73.86	83.32	118	$j36g$	
$y75l$	52.23	−50.92	60.72	79.25	130	$j53g$	
$l00c$	44.13	−62.67	48.24	79.09	142	$j71g$	
$l50c$	49.64	−41.0	−3.61	41.16	185	$g21b$	
$c00c$	52.66	−29.14	−31.99	43.27	228	$g60b$	
$c50v$	38.87	−0.69	−41.67	41.68	269	$g97b$	
$v00m$	14.15	50.3	−59.04	77.57	310	$b34r$	
$v50m$	25.2	63.79	−46.89	79.17	324	$b45r$	
$m00o$	37.37	78.64	−33.5	85.48	337	$b57r$	
$m50o$	36.13	68.67	7.94	69.13	7	$b83r$	

Ein und Ausgabe: Farbmetrisches Drucker-Reflektiv-System FRS09_92, L*=09_92 für relativen CIELAB-Buntton $h^* = lab^*h^* = h_{ab}/360 = 0.899$ $u^*_d = b25r$

Daten für jede Farbe:
*lab*ch** und *lab*icu**
Buntton texte:
$u^*_d = v50m$ $u^*_e = b45r$
Kontrastreduzierungsfaktor:
$c_R = 1.0$
Dreiecks-Helligkeit t^*

Daten für Maximalfarbe (Ma):
$LAB^*LAB^*_{Ma}$: 25 64 −47
$LAB^*LCH^*_{Ma}$: 25 79 323
$lab^*olv^*_{Ma}$: 0.5 0.0 1.0
$lab^*rgb^*_{Ma}$: 0.91 0.0 1.0
Dreiecks-Helligkeit t^*

FRS09_92a: CIELAB-Daten

	$L^*=L^*$	a^*	b^*	C^*_{ab}	h^*_{ab}
O_{bj}	35.06	60.53	39.66	72.37	33
Y_{bl}	83.77	−4.5	103.15	103.25	92
L_{bl}	44.13	−62.11	43.56	75.86	145
C_{bl}	52.66	−28.56	−36.99	46.73	232
V_{bl}	14.15	50.78	−62.6	80.61	309
M_{bl}	37.37	79.18	−37.93	87.8	334
N_{bl}	8.58	0.46	−3.35	3.38	278
W_{bl}	92.02	0.69	−6.48	6.52	276
R_{bl}	39.92	58.74	27.99	65.07	25
J_{bl}	81.26	−2.89	71.56	71.62	92
G_{bl}	52.23	−42.42	13.6	44.55	162
B_{bl}	30.57	1.41	−46.47	46.49	272

FRS09_92a; adaptierte CIELAB-Daten

	a^*_d	$L^*=L^*$	a^*	b^*	$C^*_{ab,a}$	$h^*_{ab,a}$	u^*_e
O_{bj}	35.06	60.53	39.66	72.37	33		
Y_{bl}	83.77	−4.5	103.15	103.25	92		
L_{bl}	44.13	−62.11	43.56	75.86	145		
C_{bl}	52.66	−28.56	−36.99	46.73	232		
V_{bl}	14.15	50.78	−62.6	80.61	309		
M_{bl}	37.37	79.18	−37.93	87.8	334		
N_{bl}	8.58	0.46	−3.35	3.38	278		
W_{bl}	92.02	0.69	−6.48	6.52	276		
R_{bl}	39.92	58.74	27.99	65.07	25		
J_{bl}	81.26	−2.89	71.56	71.62	92		
G_{bl}	52.23	−42.42	13.6	44.55	162		
B_{bl}	30.57	1.41	−46.47	46.49	272		
$c00y$	35.06	60.0	44.0	74.4	36	$r16j$	
$o25y$	44.68	47.13	56.9	73.88	50	$r37j$	
$o50y$	54.77	33.62	70.44	78.05	64	$r58j$	
$o75y$	66.84	17.48	86.62	88.37	79	$r79j$	
$y00l$	83.77	−5.17	109.32	109.44	93	$j01g$	
$y25l$	70.71	−24.12	89.19	92.39	105	$j18g$	
$y50l$	60.76	−38.55	73.86	83.32	118	$j36g$	
$y75l$	52.23	−50.92	60.72	79.25	130	$j53g$	
$l00c$	44.13	−62.67	48.24	79.09	142	$j71g$	
$l50c$	49.64	−41.0	−3.61	41.16	185	$g21b$	
$c00c$	52.66	−29.14	−31.99	43.27	228	$g60b$	
$c50v$	38.87	−0.69	−41.67	41.68	269	$g97b$	
$v00m$	14.15	50.3	−59.04	77.57	310	$b34r$	
$v50m$	25.2	63.79	−46.89	79.17	324	$b45r$	
$m00o$	37.37	78.64	−33.5	85.48	337	$b57r$	
$m50o$	36.13	68.67	7.94	69.13	7	$b83r$	

Ein und Ausgabe: Farbmetrisches Drucker-Reflektiv-System FRS09_92, L*=09_92 für relativen CIELAB-Buntton $h^* = lab^*h^* = h_{ab}/360 = 0.936$ $u^*_d = b50r$

Daten für jede Farbe:
lab